

Monographien zur Geologie und Palaeontologie

herausgegeben von
Professor Dr. W. Soergel

Serie I Heft 4

Die fossile Reptil-Ordnung Saurischia, ihre Entwicklung und Geschichte

von

Friedrich Frhr. v. Huene

Teil II

56 Tafeln nebst Erklärungen

Leipzig

Verlag von Gebrüder Borntraeger

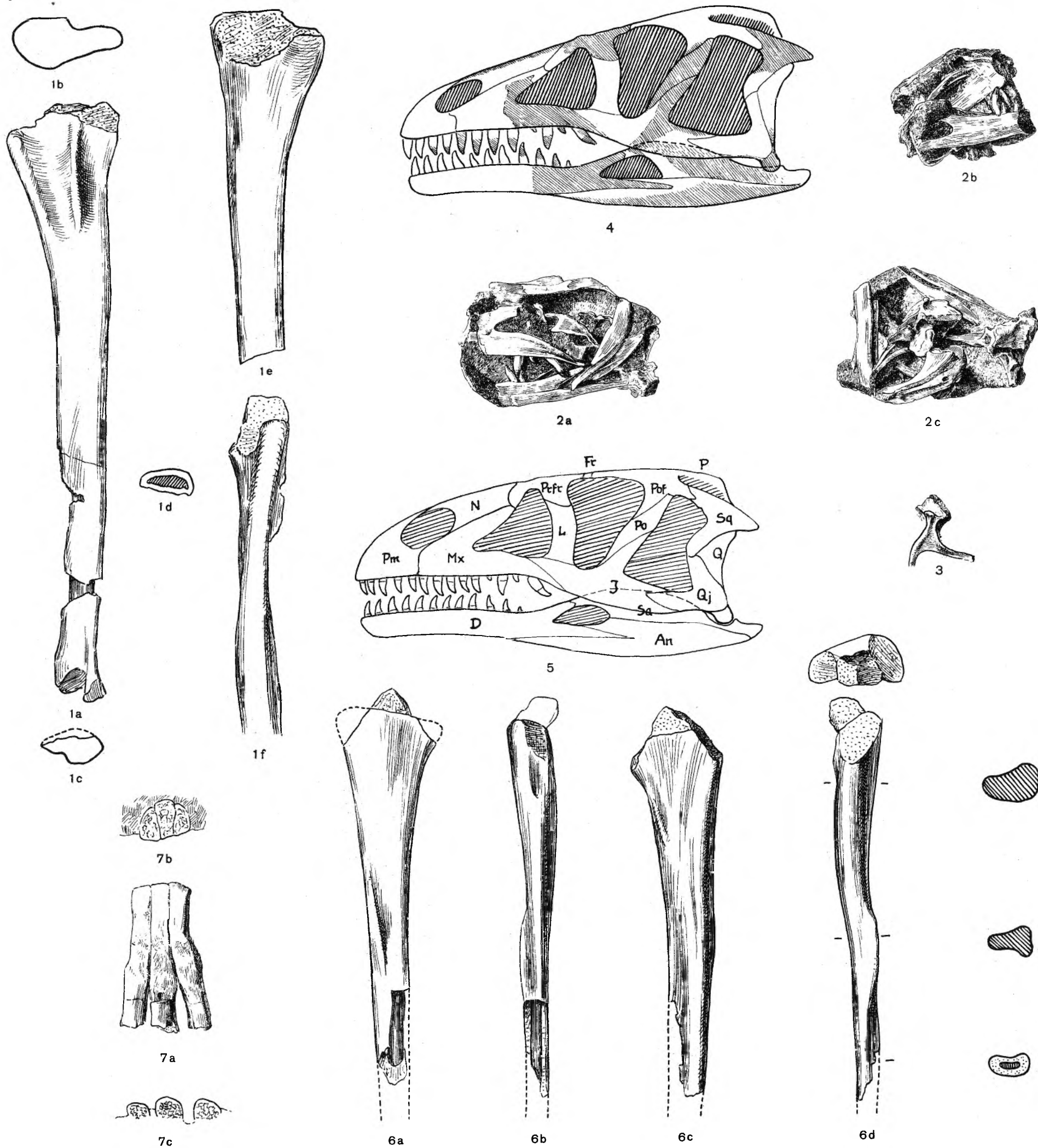
C 1 Roßstraße 5/7

1932

Erklärung der Tafel 1

Alle Abbildungen 1:2 nat. Größe, außer Fig. 7

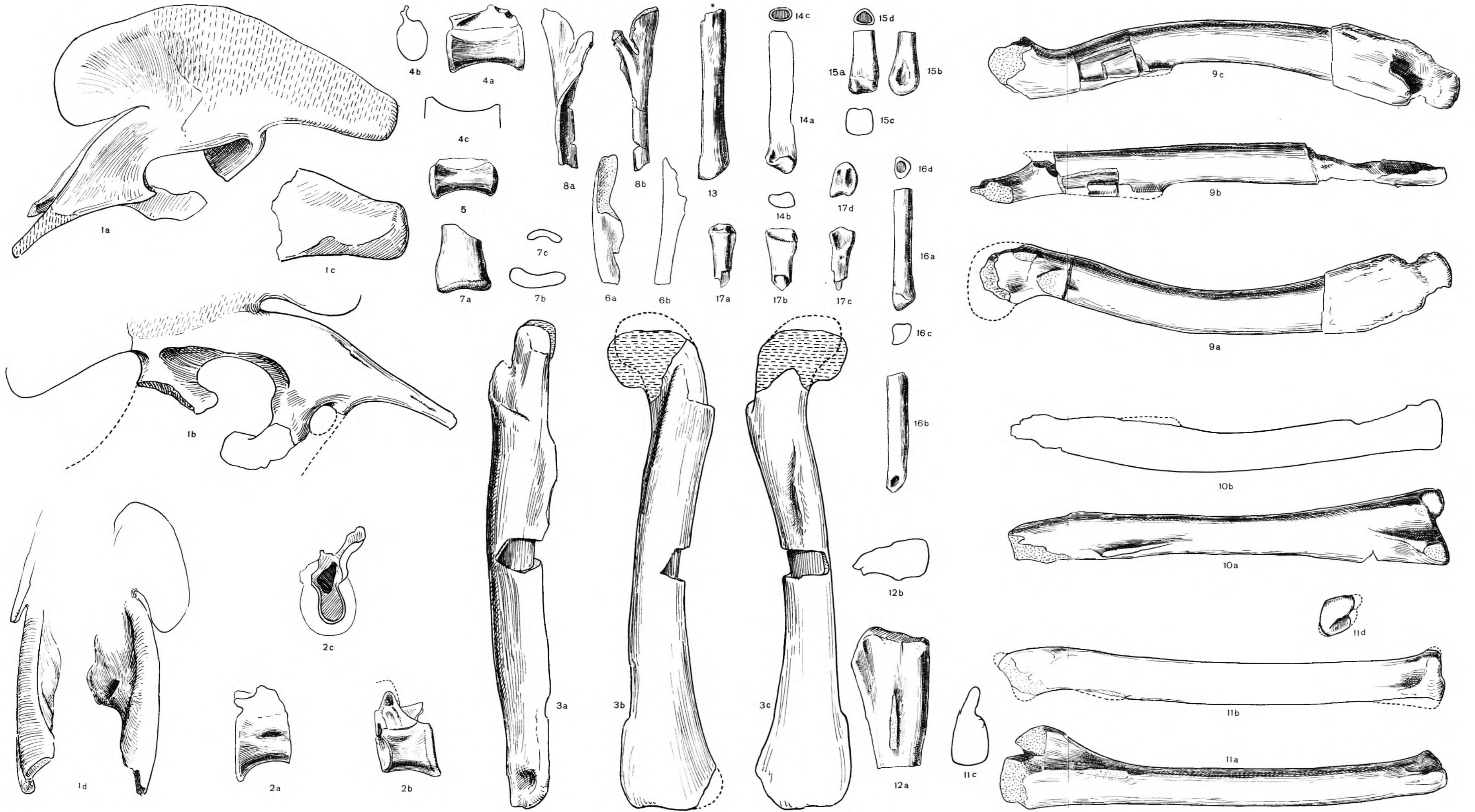
- Fig. 1. *Dolichosuchus cristatus* n. g. n. sp. aus dem Stubensandstein von Kaltental bei Stuttgart. Linke Tibia (38058 im Brit. Mus. N. H., London), *a* von lateral, *b* von oben, *c* von distal, *d* Querschnitt, *e* von medial, *f* von vorn. S. 31.
- Fig. 2. Cf. *Halticosaurus orbitoangulatus* n. sp. aus dem Stubensandstein von Pfaffenhofen, Württemberg. Teil eines macerierten Schädels (12353b in der Naturaliensammlung Stuttgart) in drei Ansichten, *a*—*c*. S. 42.
- Fig. 3. Derselbe. Gleicher Fund. Linkes Pterygoid.
- Fig. 4. Derselbe. Versuch einer Rekonstruktion des Schädels; die vorhandenen Teile (Fig. 2) schraffiert. S. 46.
- Fig. 5. Derselbe. Anderer Rekonstruktionsversuch.
- Fig. 6. *Velocipes gürichi* n. g. n. sp. aus der Lissauer Breccie von Kotzuren bei Guttenberg, Oberschlesien. Proximale Hälfte einer linken Fibula (im geologischen Staats-Institut, Hamburg), *a* von lateral, *b* von hinten, *c* von medial, *d* von vorn mit Querschnitten und Oberansicht. S. 33.
- Fig. 7. *Avipes dillstedtianus* n. sp. aus dem Grenzdolomit des unteren Keupers von Dillstedt, Thüringen. Die drei mittleren Metatarsalia in nat. Größe (in der Preußischen geologischen Landesanstalt, Berlin) mit oberer und unterer Bruchfläche. S. 47.



Erklärung der Tafel 2

Alle Abbildungen 1 : 2 nat. Größe

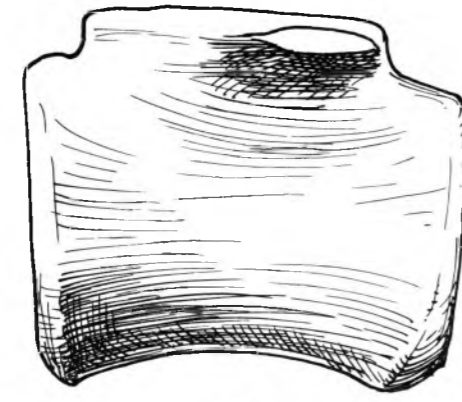
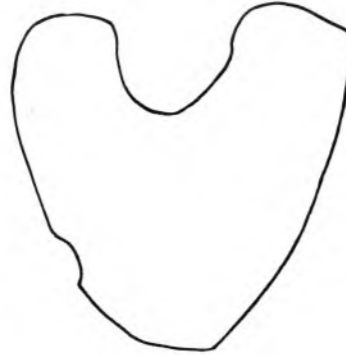
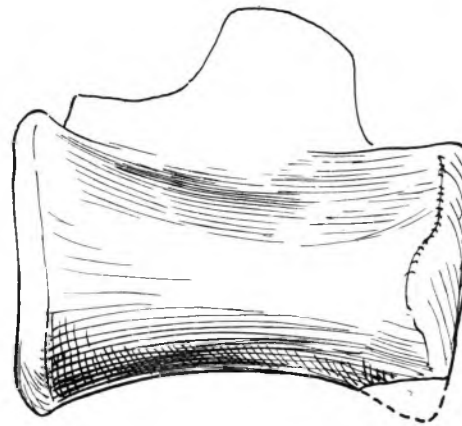
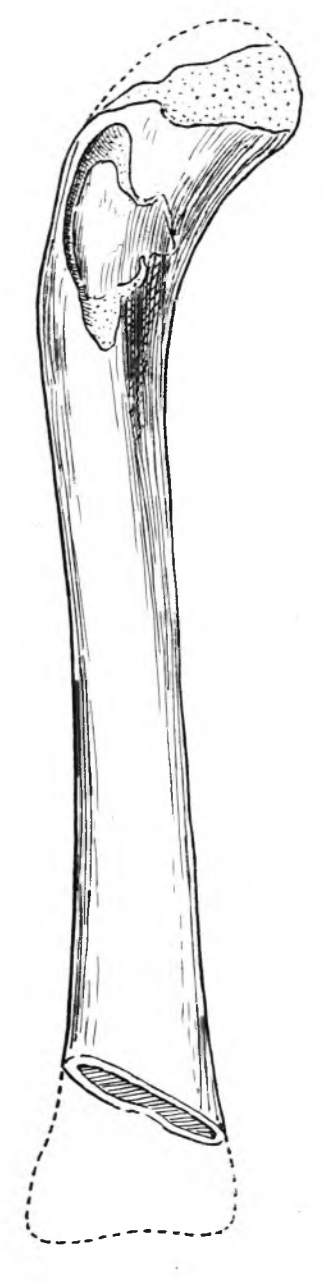
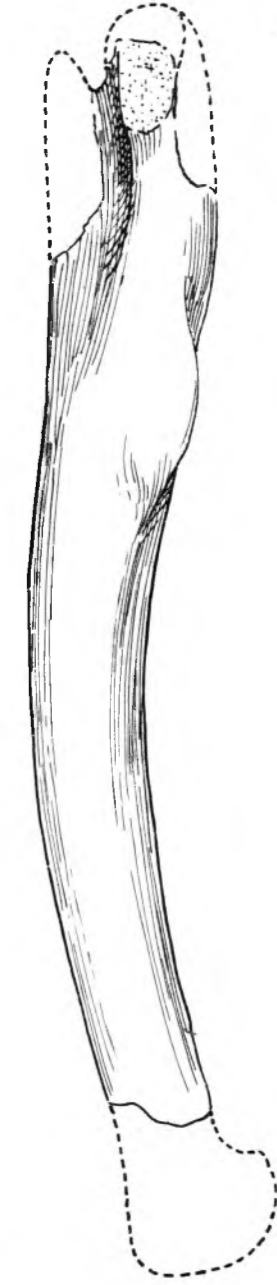
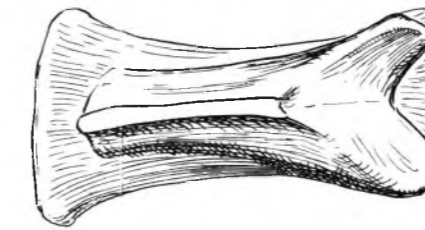
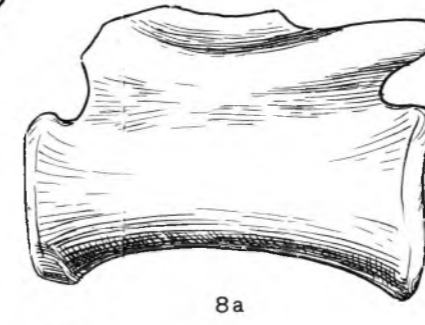
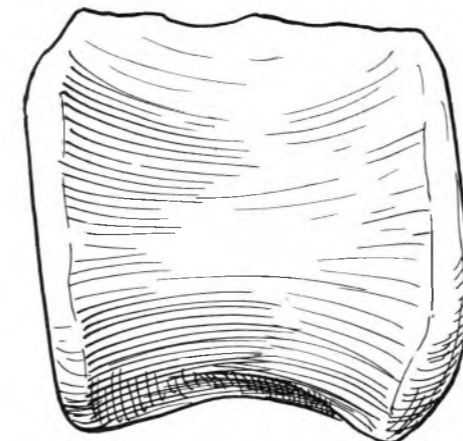
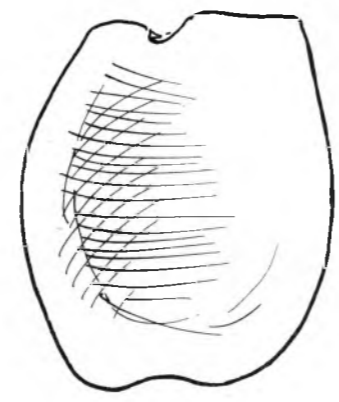
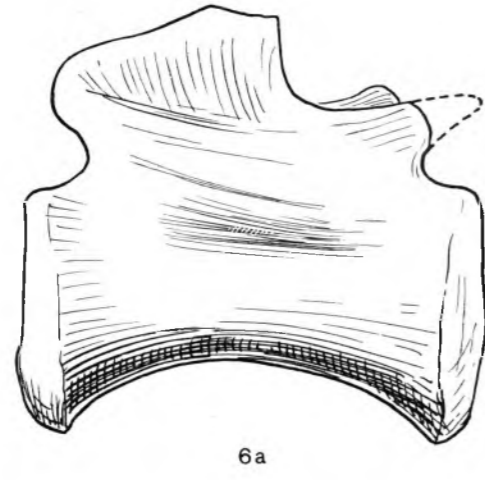
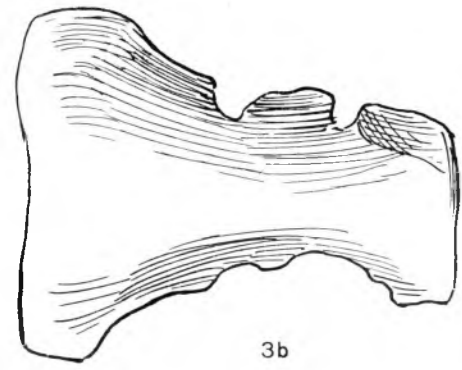
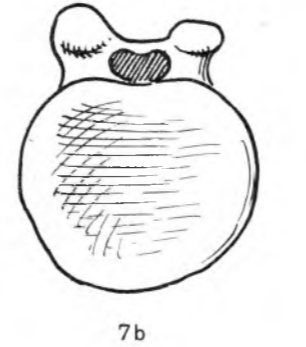
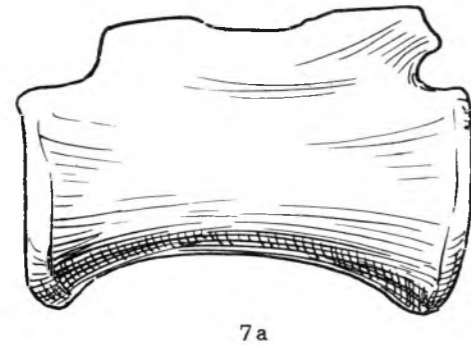
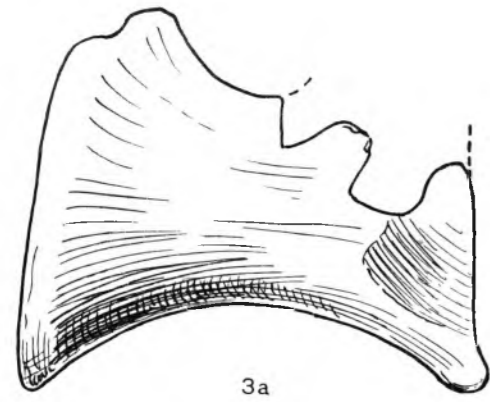
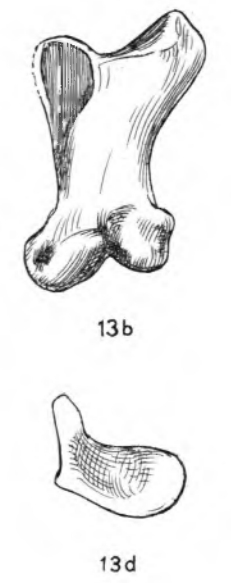
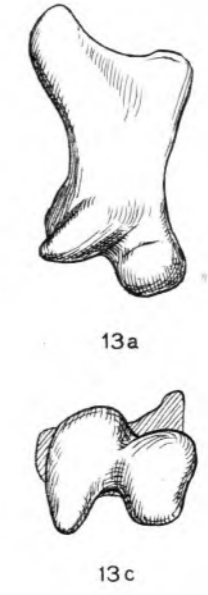
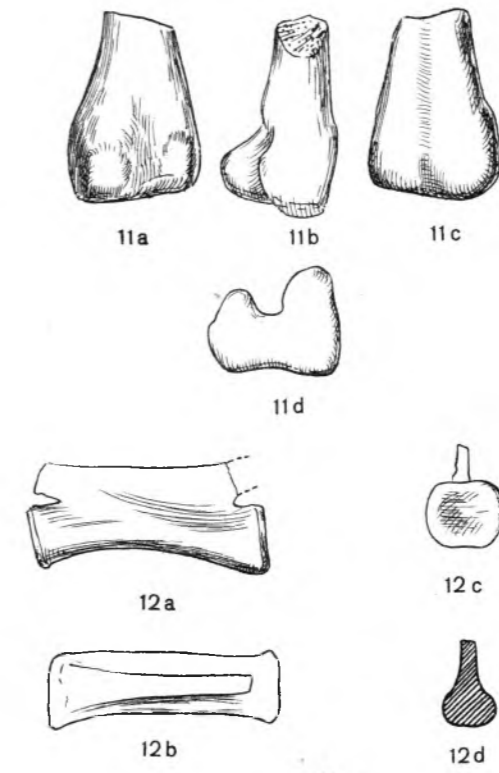
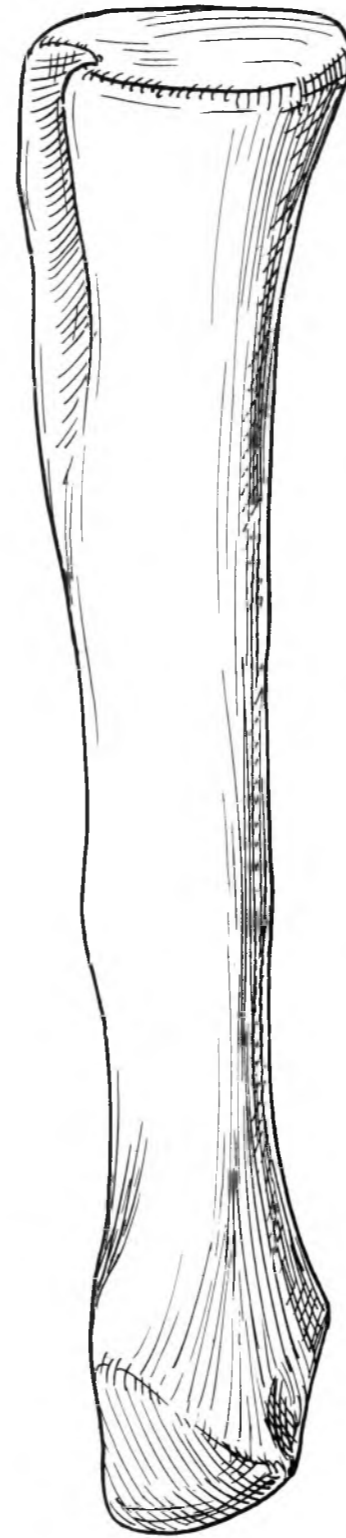
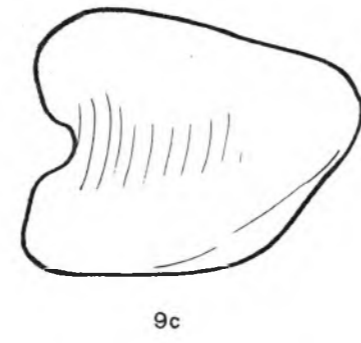
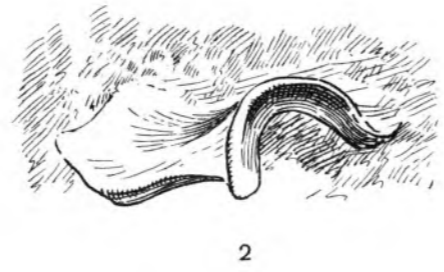
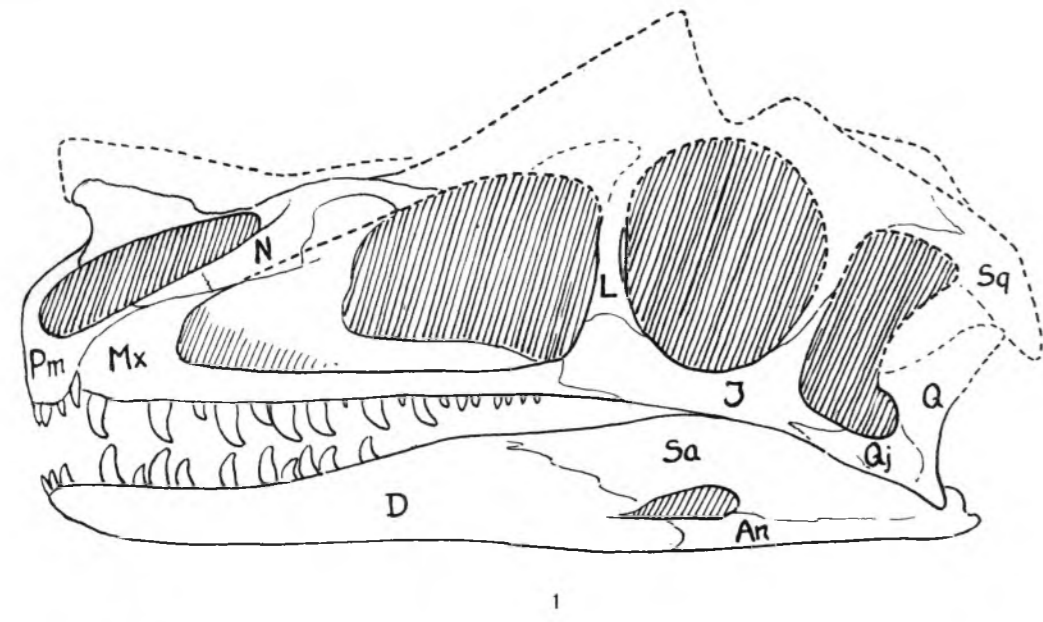
- Fig. 1. *Sarcosaurus woodi* ANDREWS (das Original; 4840 im Britischen Museum N.H., London) aus der Bucklandi-Zone des unteren Lias von Barrow-on-Soar, Leicestershire. Becken, *a* linkes Ilium und Pubis, *b* rechtes Ilium und Pubis, *c* Hinterende des rechten Ilium, *d* beide Iliä und Pubes von vorn. S. 49.
- Fig. 2. Derselbe. Daher. Rückenwirbel in drei Ansichten.
- Fig. 3. Derselbe. Daher. Linkes Femur, *a* von lateral, *b* von vorn, *c* von hinten. Die Ergänzung des Proximalendes durch ANDREWS ist schraffiert, die neue in punktiertem Umriß.
- Fig. 4. Derselbe. von Wilmcote, Warwickshire (im Museum zu Warwick). Rückenwirbel, *a* von lateral, *b* von vorn, *c* Längsprofil. S. 49.
- Fig. 5. Wie Fig. 4. Rückenwirbelkörper von der Seite.
- Fig. 6. Wie Fig. 4. Proximaler Teil des linken Pubis.
- Fig. 7. Wie Fig. 4. Distaler Teil des linken Pubis.
- Fig. 8. Wie Fig. 4. Proximaler Teil des rechten Pubis.
- Fig. 9. Wie Fig. 4. Linkes Femur, *a* von vorn, *b* von medial, *c* von hinten.
- Fig. 10. Wie Fig. 4. Rechtes Femur, *a* von hinten, *b* von medial.
- Fig. 11. Wie Fig. 4. Rechte Tibia, *a* von lateral, *b* von vorn, *c* von oben, *d* von unten.
- Fig. 12. Wie Fig. 4. Proximaler Teil der linken Tibia mit Oberansicht.
- Fig. 13. Wie Fig. 4. Distale Hälfte einer Fibula.
- Fig. 14. Wie Fig. 4. Linkes Metatarsale II.
- Fig. 15. Wie Fig. 4. Linkes Metatarsale III.
- Fig. 16. Wie Fig. 4. Linkes Metatarsale IV.
- Fig. 17. Wie Fig. 4. Proximale Hälfte der Phalange der 1. Fußzehe, *a* von vorn, *b* von medial, *c* von hinten, *d* von proximal.



Erklärung der Tafel 3

Alle Abbildungen 1:2 nat. Größe

- Fig. 1. *Proceratosaurus bradleyi* A. S. WOODWARD aus dem Great Oolite von Minchinhampton, Gloucestershire. Neue ergänzte Darstellung des Schädels auf Grund der Beobachtung an beiden Schädelseiten. S. 55.
- Fig. 2. *Iliosuchus incognitus* n. g. n. sp. aus dem Great Oolite von Stonesfield (R. 83 im Britischen Museum N. H., London). Unvollständiges rechtes Ilium in lateraler Ansicht. S. 52.
- Fig. 3—9. *Dryptosaurus aquilunguis* COPE aus dem Cenoman von Barresboro, New Jersey. Nach Abgüssen im Britischen Museum N. H., London. S. 62.
- Fig. 3. Sacralwirbelkörper, *a* von lateral, *b* von unten, *c* Querschnitt.
- Fig. 4—8. Schwanzwirbel.
- Fig. 9. Metatarsale IV, links, *a* von vorn, *b* von lateral.
- Fig. 10. *Betasuchus* (n. g.) *bredai* SEELEY aus dem Obersenon von Maestricht (42997 im Britischen Museum N. H., London). Femur in drei Ansichten. S. 70.
- Fig. 11. *Fulgurotherium australe* n. g. n. sp. aus dem oberkretacischen opalführenden Sandstein der Lightning Ridge bei Walgett in New South Wales (R. 3719 im Britischen Museum N. H., London). Distalende eines rechten Femurs in mehreren Ansichten. S. 69.
- Fig. 12. *Walgettosuchus woodwardi* n. g. n. sp. gleicher Herkunft wie Fig. 11 (R. 3717 im Britischen Museum N. H., London). Distaler Schwanzwirbel, *a* von der Seite, *b* von oben, *c* von hinten, *d* Querschnitt in der Mitte. S. 69.
- Fig. 13. *Rapator ornitholestoides* n. g. n. sp. gleicher Herkunft wie Fig. 11 (R. 3718 im Brit. Mus. N. H., London). Rechtes Metacarpale I, *a* von vorn, *b* von hinten, *c* von unten, *d* von oben S. 70.

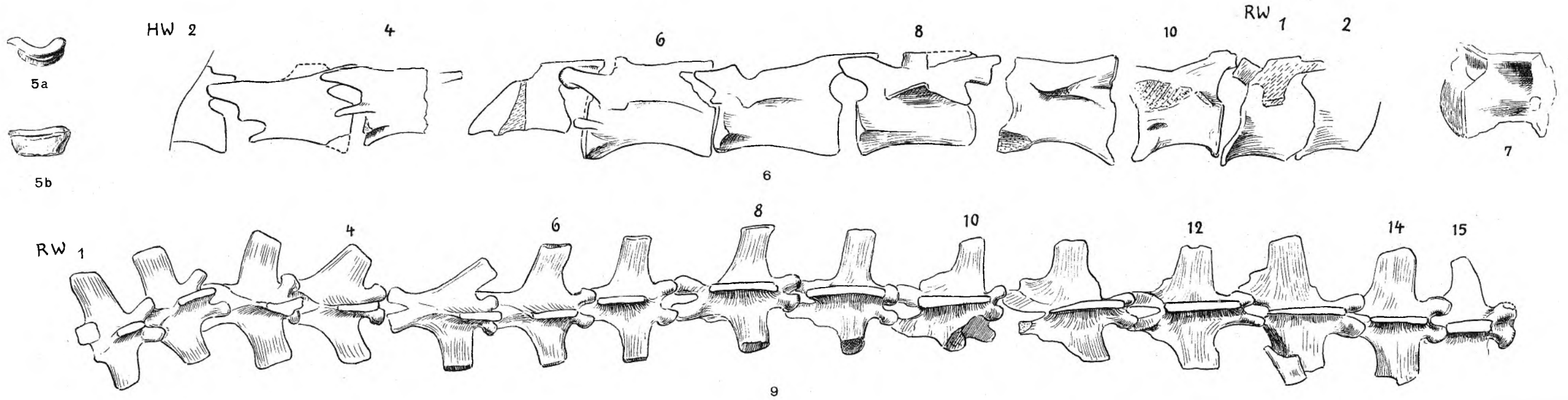
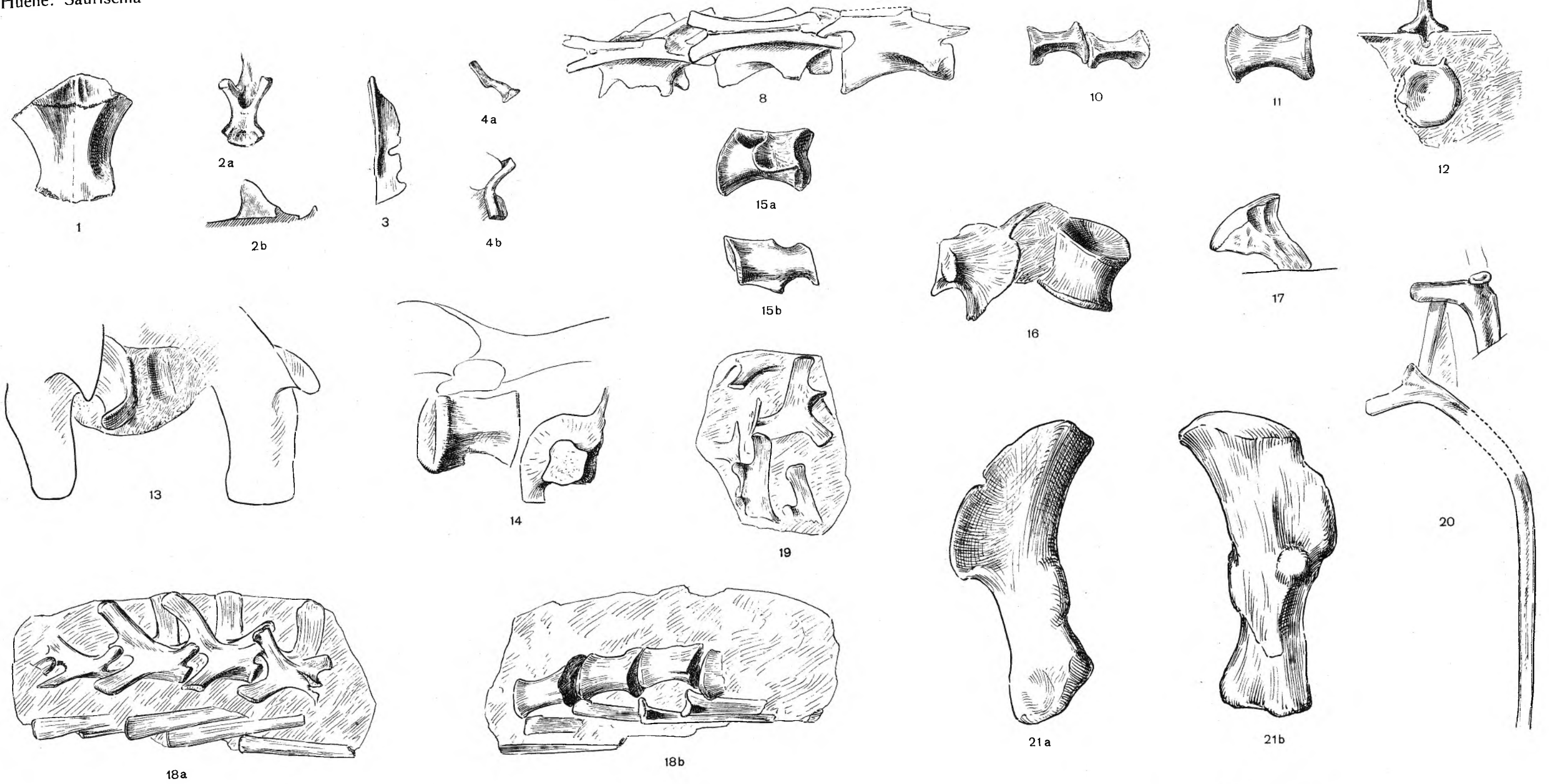


Erklärung der Tafel 4

Alle Abbildungen 1:2 nat. Größe.

(?) *Paleosaurus diagnosticus* n. sp. aus dem Stubensandstein von Pfaffenhofen, Württemberg. (12667 in der Naturaliensammlung Stuttgart.) Zusammenhängendes Skelett. S. 73.

- Fig. 1. Parietalia.
- Fig. 2. Basisphenoid, *a* von ventral, *b* Längsschnitt (schraffiert) und Basipterygoidfortsatz.
- Fig. 3. Rechtes Quadratum.
- Fig. 4. Rechtes Transversum, *a* von dorsal mit Jugale-Contact unten, *b* von ventral mit Medialende unten.
- Fig. 5. Intercentrum des Atlas in zwei Ansichten.
- Fig. 6. Linke Ansicht von Halswirbel 2—10 und Rückenwirbel 1—2.
- Fig. 7. Halswirbel 10 von rechts.
- Fig. 8. Halswirbel 6—8 von rechts.
- Fig. 9. Rückenwirbel 1—15 von oben.
- Fig. 10. Rückenwirbel 1 (rechts) und 2 (links) von unten.
- Fig. 11. Rückenwirbel 8 von unten.
- Fig. 12. Rückenwirbel 15 von hinten.
- Fig. 13. Sacralwirbel I und beide Iliä von vorn.
- Fig. 14. Sacralwirbel I von unten mit linkem Ilium und linker Sacralrippe II.
- Fig. 15. Sacralwirbel II, *a* von rechts, *b* von unten.
- Fig. 16. Sacralwirbel III halb von unten und rechte Sacralrippe II.
- Fig. 17. Sacralrippe III.
- Fig. 18. Vier vordere Schwanzwirbel mit Haemapophysen, *a* von rechts, *b* von unten.
- Fig. 19. Neuralbogen mehrerer Schwanzwirbel.
- Fig. 20. Proximalende der rechten Dorsalrippe 2 und ganze rechte Dorsalrippe 3.
- Fig. 21. Rechter Humerus, pathologisch verdickt, *a* von vorn, *b* von hinten.

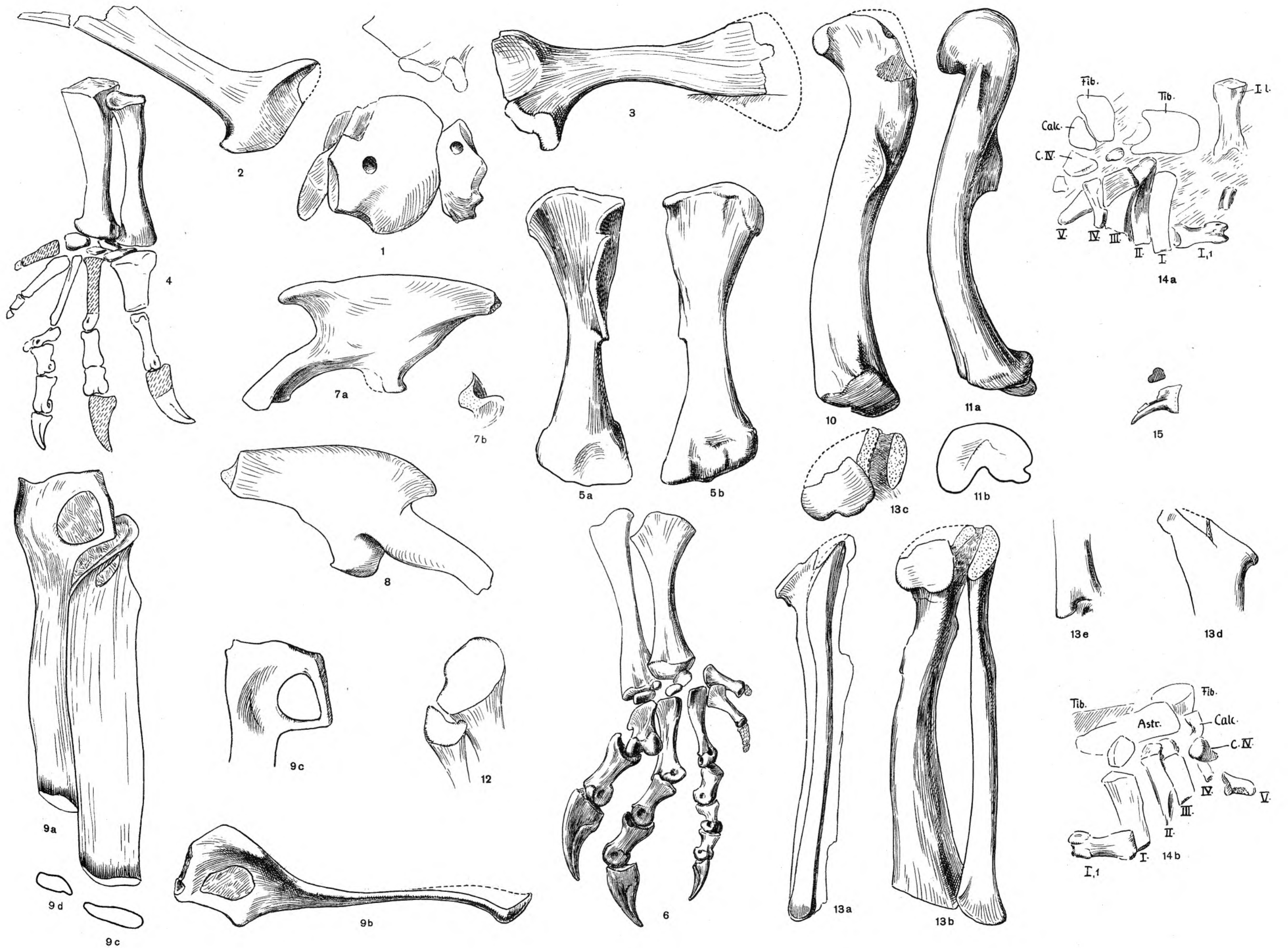


Erklärung der Tafel 5

Alle Abbildungen 1:2 nat. Größe

Gleicher Fund wie Taf. 4

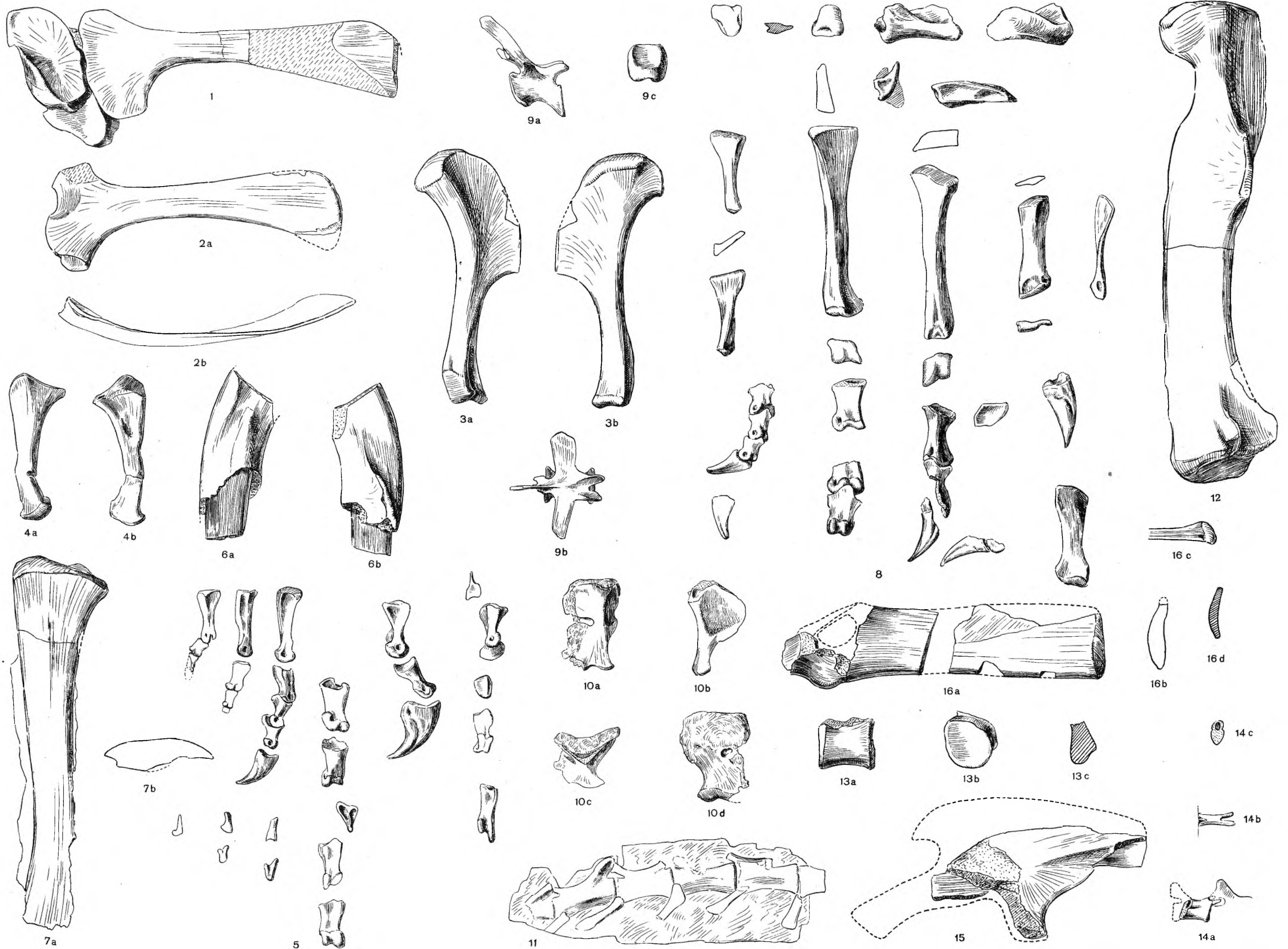
- Fig. 1. Beide Coracoide von vorn (linkes stark verkürzt).
- Fig. 2. Rechte Scapula von lateral.
- Fig. 3. Linke Scapula von lateral.
- Fig. 4. Rechte Hand mit Unterarm.
- Fig. 5. Linker Humerus, *a* von vorn, *b* von hinten.
- Fig. 6. Linke Hand mit Unterarm.
- Fig. 7. Linkes Ilium, *a* von lateral, *b* Oberrand von hinten gesehen.
- Fig. 8. Rechtes Ilium von lateral.
- Fig. 9. *a* Beide Pubes von ventral mit Umrissen der Distalenden, *b* rechtes Pubis von lateral, *c* proximaler Teil des linken Pubis, so daß der Umriß des Foramen obturatorium unverkürzt bleibt.
- Fig. 10. Rechtes Femur von hinten.
- Fig. 11. Linkes Femur, *a* von lateral, *b* von distal.
- Fig. 12. Proximalende der linken Tibia und Fibula von oben.
- Fig. 13. Rechte Tibia und Fibula, *a* von lateral, *b* von hinten, *c* Proximalende senkrecht von oben, *d* Proximalende der Tibia von medial, *e* Distalende der Tibia von lateral.
- Fig. 14. Rechter Fuß, *a* von oben, *b* von unten.
- Fig. 15. Klaue der 1. Zehe des linken Fußes mit Querschnitt.



Erklärung der Tafel 6

Alle Abbildungen 1:2 nat. Größe

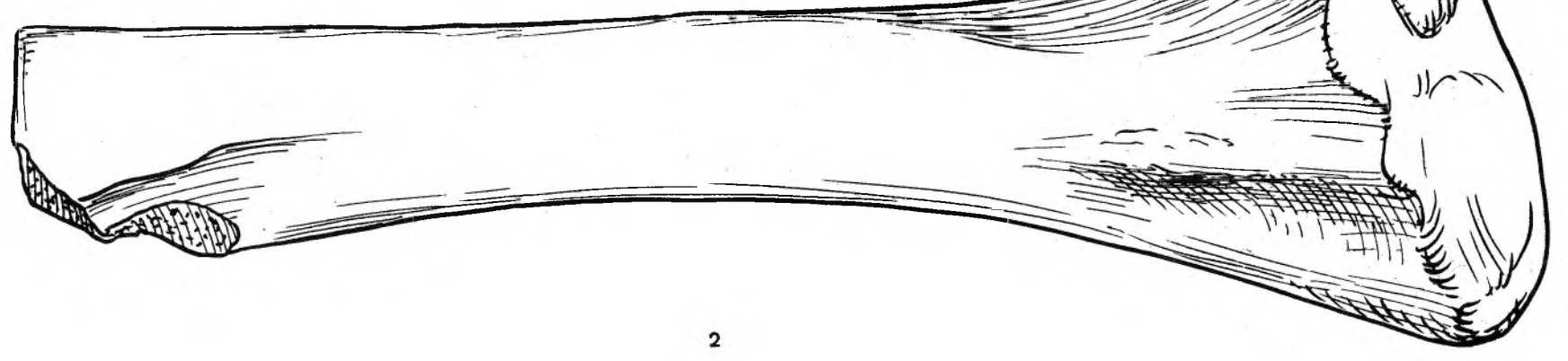
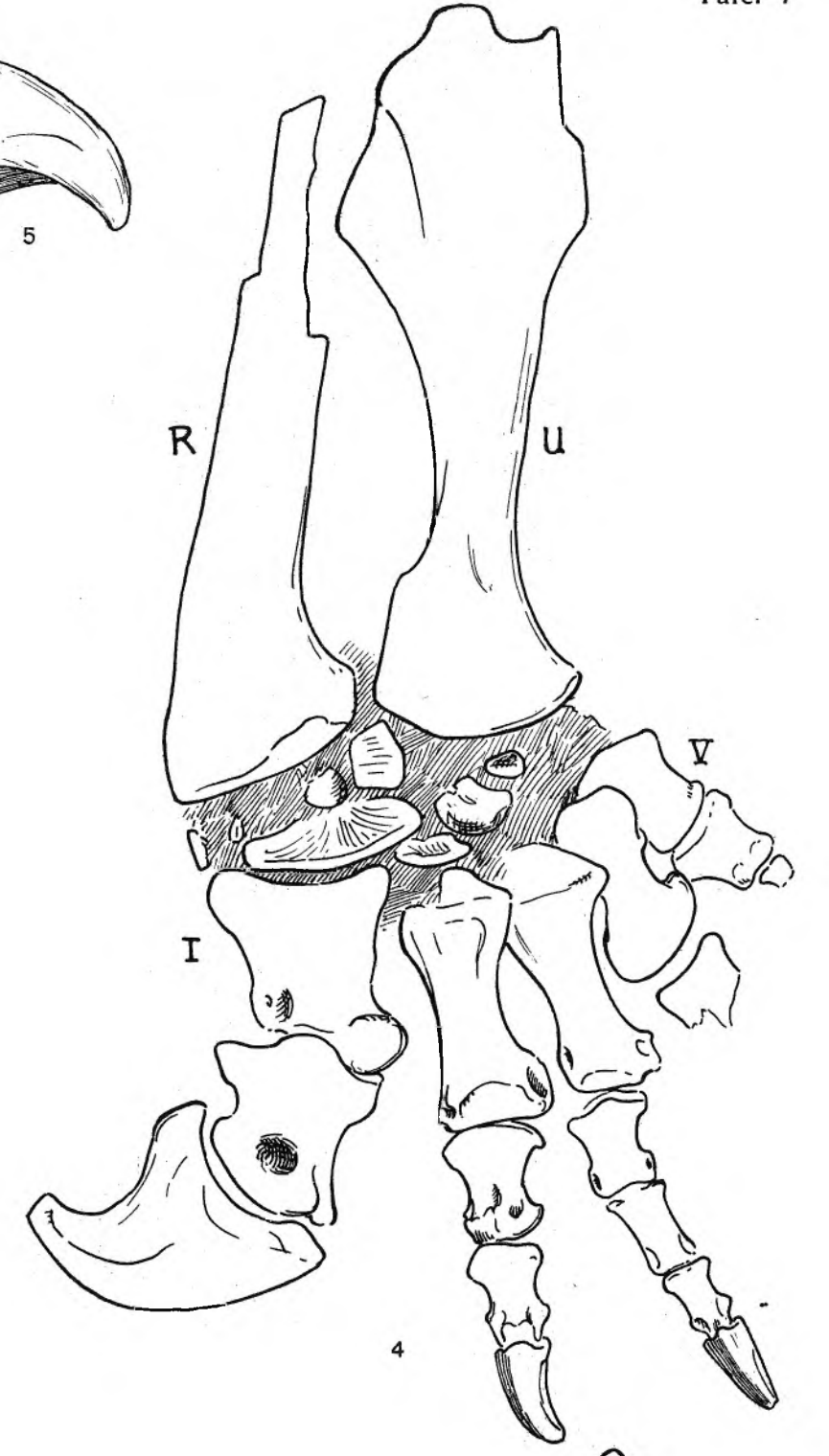
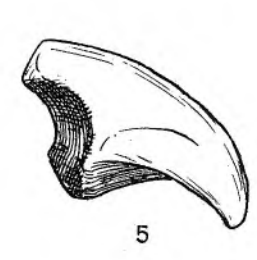
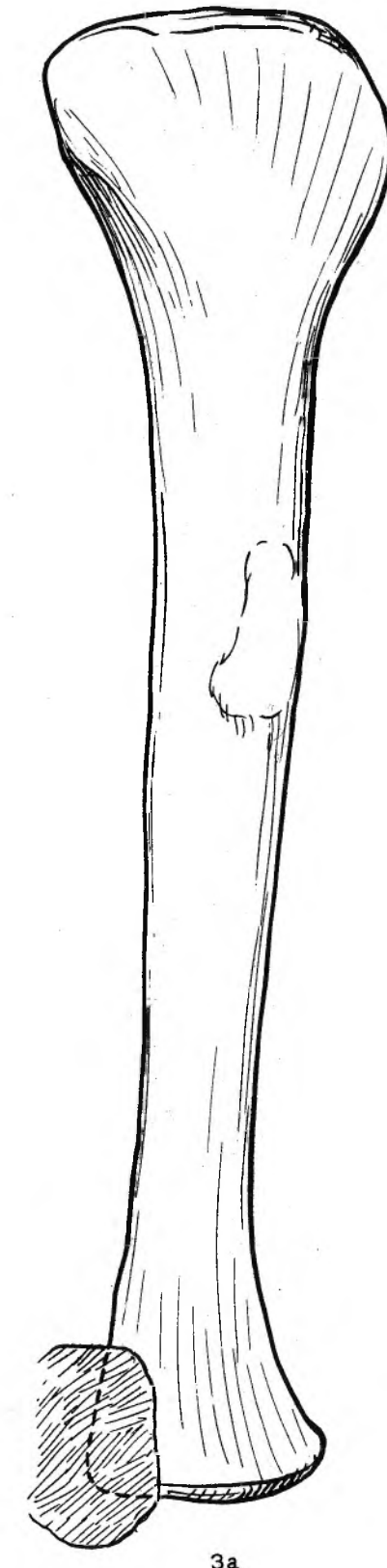
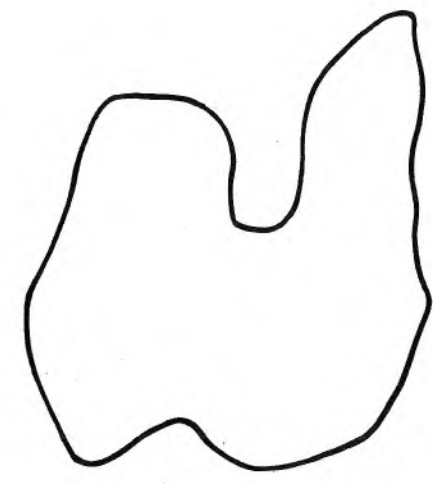
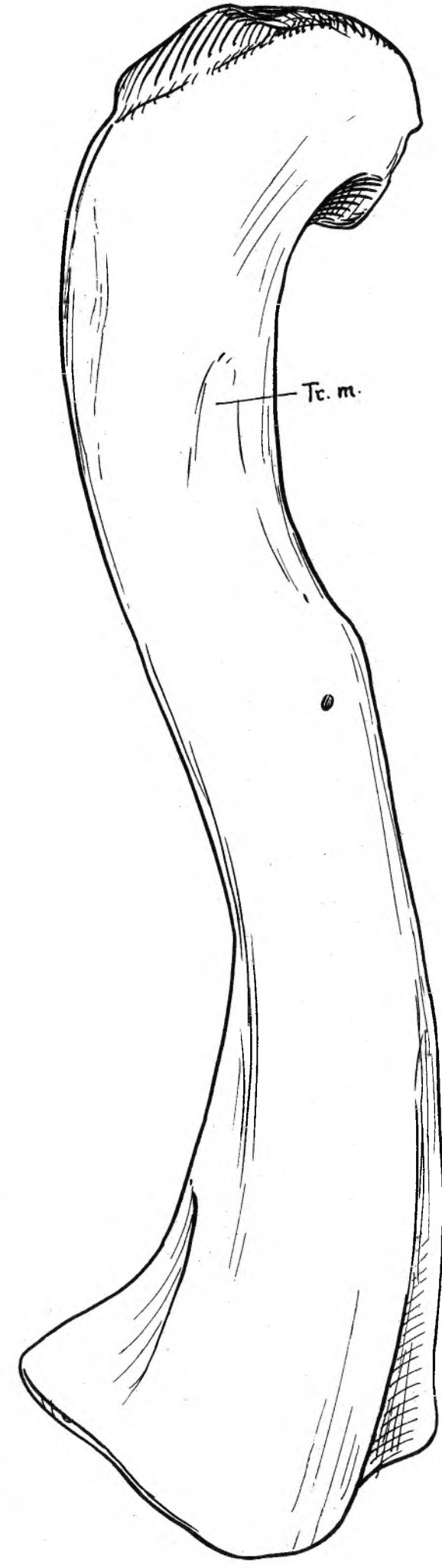
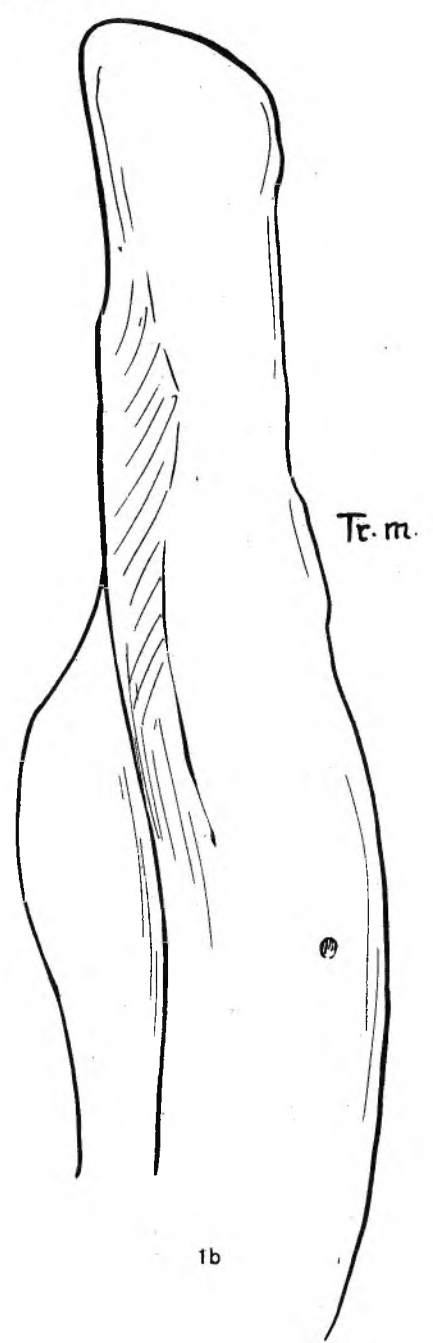
- Fig. 1—9. (?) *Palaeosaurus diagnosticus* aus dem Stubensandstein von Pfaffenhofen, Württemberg (Fund 12668 in der Naturaliensammlung, Stuttgart). S. 83.
- Fig. 1. Rechte Scapula mit Coracoid von medial (Schraffiertes ist Gips).
 - Fig. 2. Linke Scapula, *a* von lateral, *b* von oben.
 - Fig. 3. Linker Humerus, *a* von vorn, *b* von hinten.
 - Fig. 4. Rechte Ulna in zwei Ansichten.
 - Fig. 5. Rechte Hand.
 - Fig. 6. Fragment des rechten Femurs mit Trochanter major.
 - Fig. 7. Rechte Tibia, *a* von medial, *b* Oberansicht.
 - Fig. 8. Rechter Fuß.
 - Fig. 9. Schwanzwirbel, *a* von rechts, *b* von oben, *c* von hinten.
- Fig. 10—12. Gleiche Art und Herkunft wie Fig. 1—9, aber isolierte Funde (ohne Nr. in der Naturaliensammlung, Stuttgart).
- Fig. 10. Linkes Quadratum, *a* von hinten, *b* von medial, *c* von oben, *d* von vorn. S. 74, 86.
 - Fig. 11. Mehrere distale Schwanzwirbel von rechts. S. 86.
 - Fig. 12. Rechtes Femur von hinten.
- Fig. 13—16. Cf. *Palaeosaurus* (?) sp. (aff. *diagnosticus*) aus dem obersten Keuper von Halberstadt (Fund IV). S. 87.
- Fig. 13. Rückenwirbelkörper, *a* von links, *b* von hinten, *c* Querschnitt in der Mitte.
 - Fig. 14. Reste distaler Schwanzwirbel.
 - Fig. 15. Teil des rechten Iliums von medial.
 - Fig. 16. Unvollständiges linkes Pubis, *a* von ventral, *b* und *c* Distalende, *d* Querschnitt im distalen Drittel.



Erklärung der Tafel 7

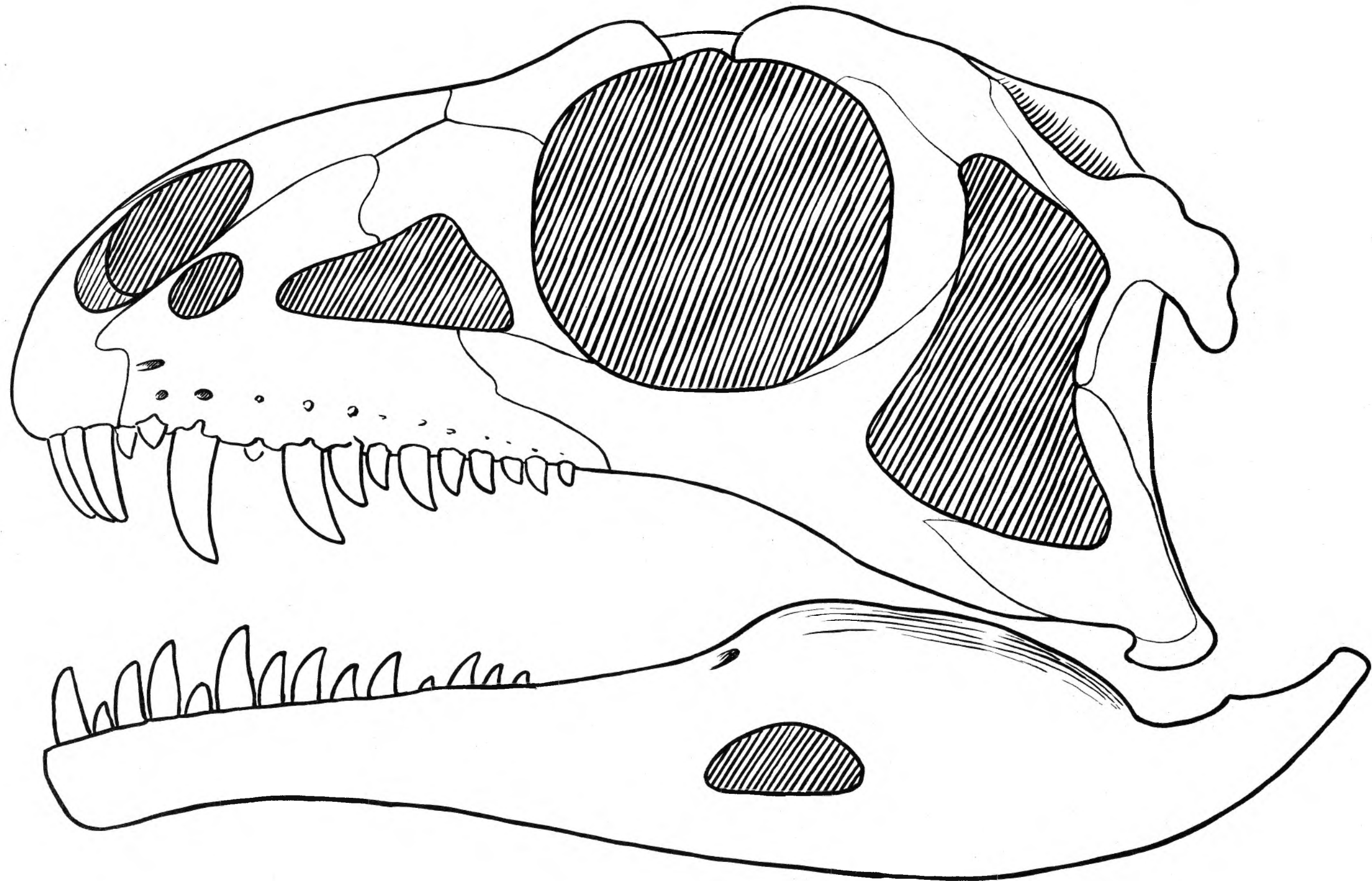
Alle Abbildungen 1:2 nat. Größe

- Fig. 1—4. *Gryponyx africanus* BROOM aus den Red Beds von Fontanie bei Fourisburg, Oranje-Staat (im South African Museum, Kapstadt). S. 88.
- Fig. 1. Rechtes Femur, *a* von vorn, *b* proximaler Teil von lateral, *c* distale Endfläche.
 - Fig. 2. Rechte Tibia von lateral.
 - Fig. 3. Rechte Fibula, *a* von lateral, *b* von vorn.
 - Fig. 4. Linke Hand mit Unterarm.
- Fig. 5. (?) *Gryponyx transvaalensis* BROOM aus dem Bushveld Sandstein von Wiepe 1258 in Transvaal. Fußklaue. S. 91.



Erklärung der Tafel 8

Versuch einer Ergänzung des Schädels von *Teratosaurus suevicus* H. v. MEYER in $\frac{1}{2}$ nat. Größe aus dem Stubensandstein von Kaltental bei Stuttgart. S. 94.



Erklärung der Tafel 9

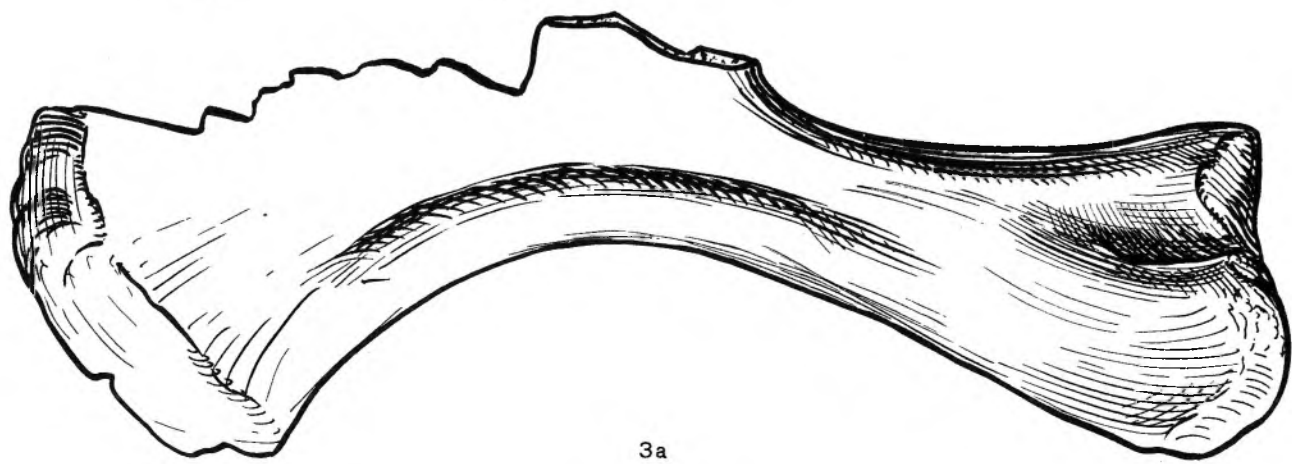
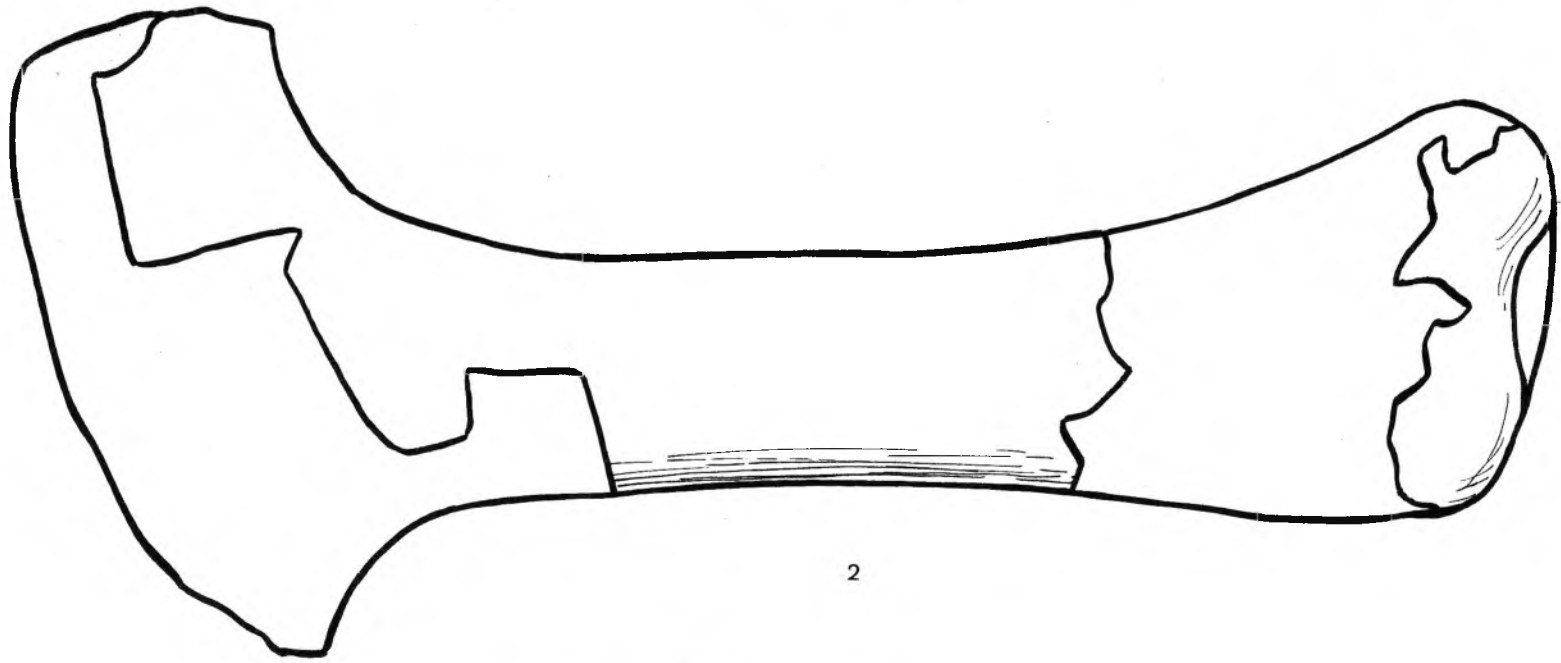
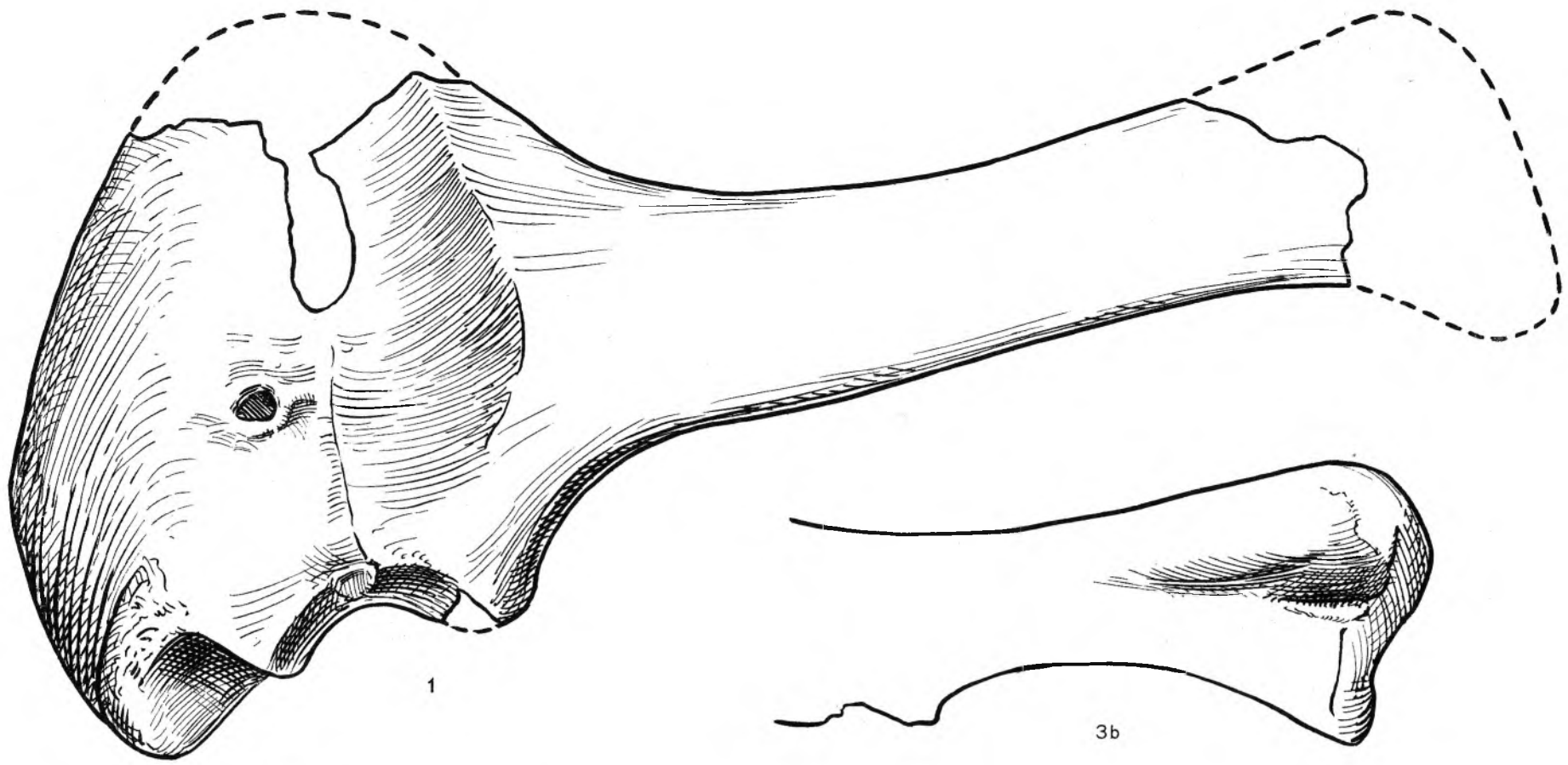
Alle Abbildungen 1:2 nat. Größe

Teratosaurus minor HUENE aus dem Stubensandstein von Pfaffenhofen, Württemberg (12843 in der Naturaliensammlung, Stuttgart). S. 96.

Fig. 1. Linke Scapula mit Coracoid in Seitenansicht.

Fig. 2. Rechte Scapula, Abdruck mit Teilen des Knochens und erhaltenem Oberende.

Fig. 3. Linker Humerus, *a* von vorn, *b* Distalende von hinten.

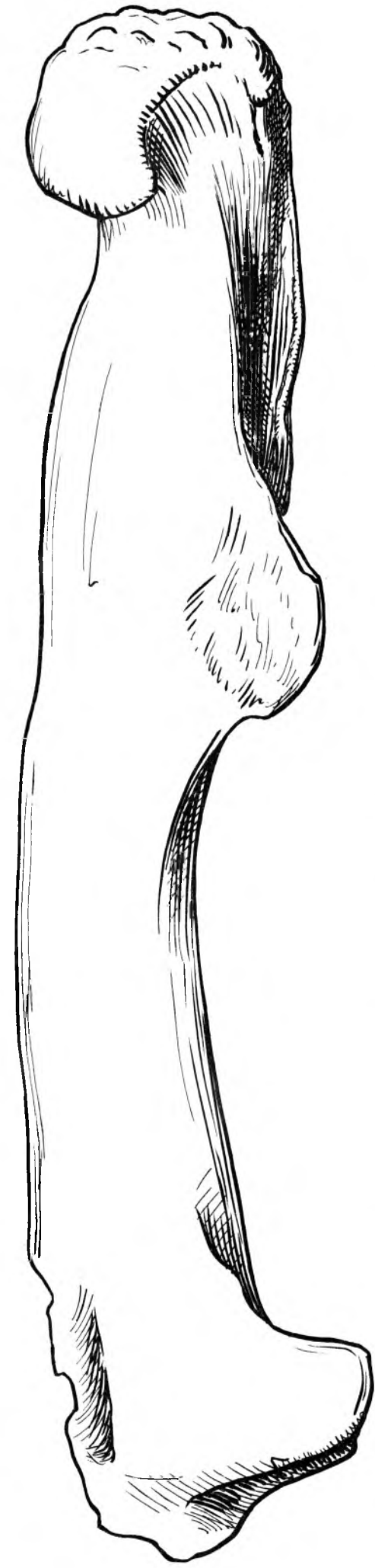


Erklärung der Tafel 10

Alle Abbildungen 1:2 nat. Größe

Gleicher Fund wie Taf. 9

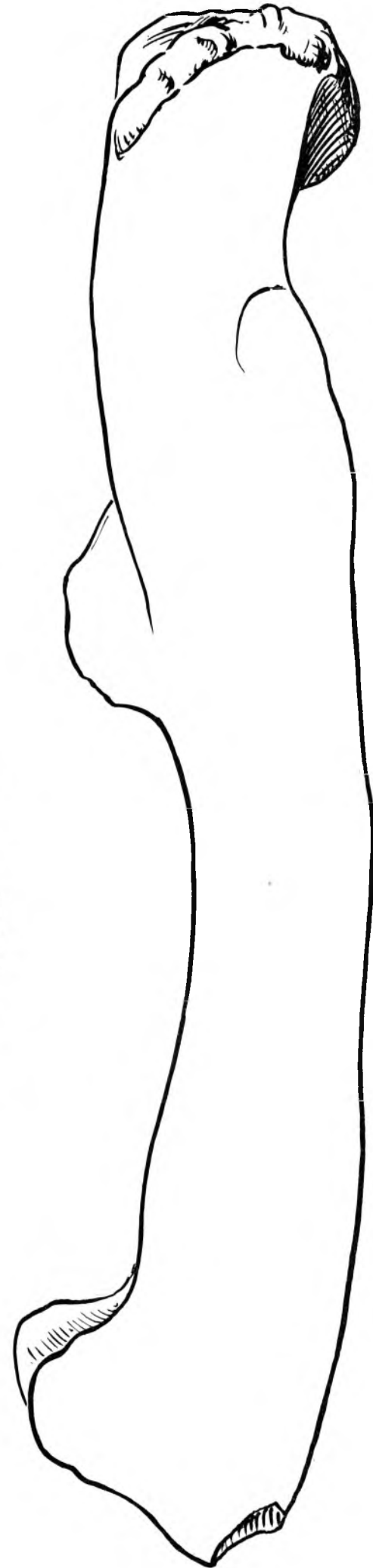
- Fig. 1. Rechtes Femur, *a* von medial, *b* von lateral.
- Fig. 2. Linke Tibia von lateral.
- Fig. 3. Linke Fibula, *a* von lateral mit Ergänzung der Länge, *b* von medial.
- Fig. 4. Linkes Metatarsale II, *a* von vorn (Proximalende beschädigt), *b* Distalende von hinten.
- Fig. 5. Linkes Metatarsale III, Distalende von hinten.
- Fig. 6. Linkes Metatarsale IV von hinten.
- Fig. 7. Ende der linken 2. Zehe von lateral.
- Fig. 8. Phalangen der linken 4. Zehe von dorsal.
- Fig. 9. Rechtes Ilium von lateral.
- Fig. 10. Beide Ischia von links.
- Fig. 11. Rückenwirbel von dorsal.



1a



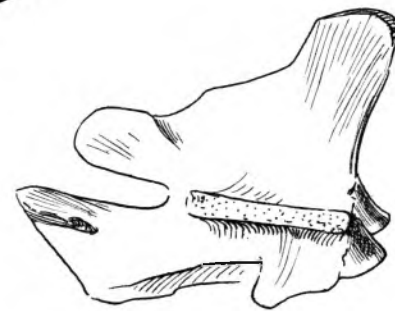
8



1b



2



11



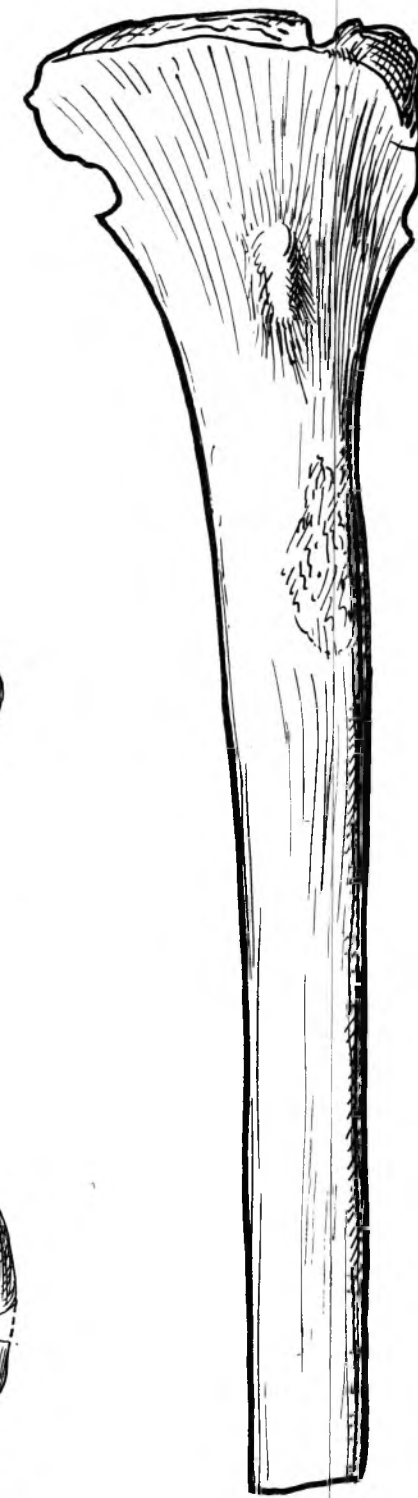
3a



7



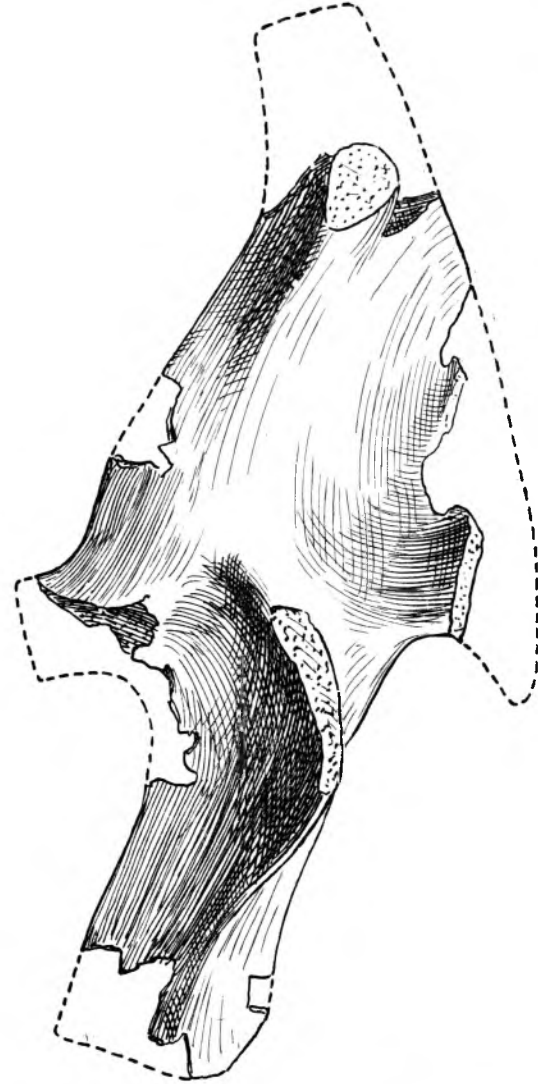
4a



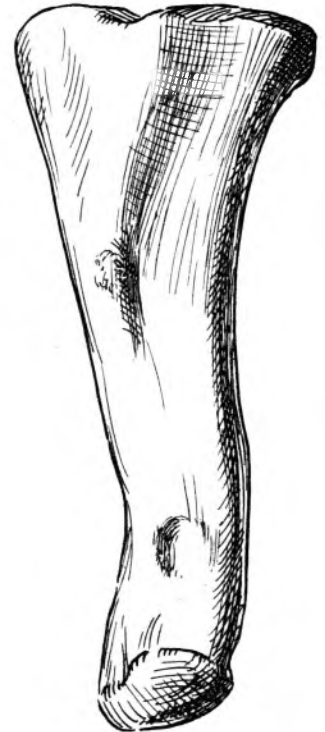
3b



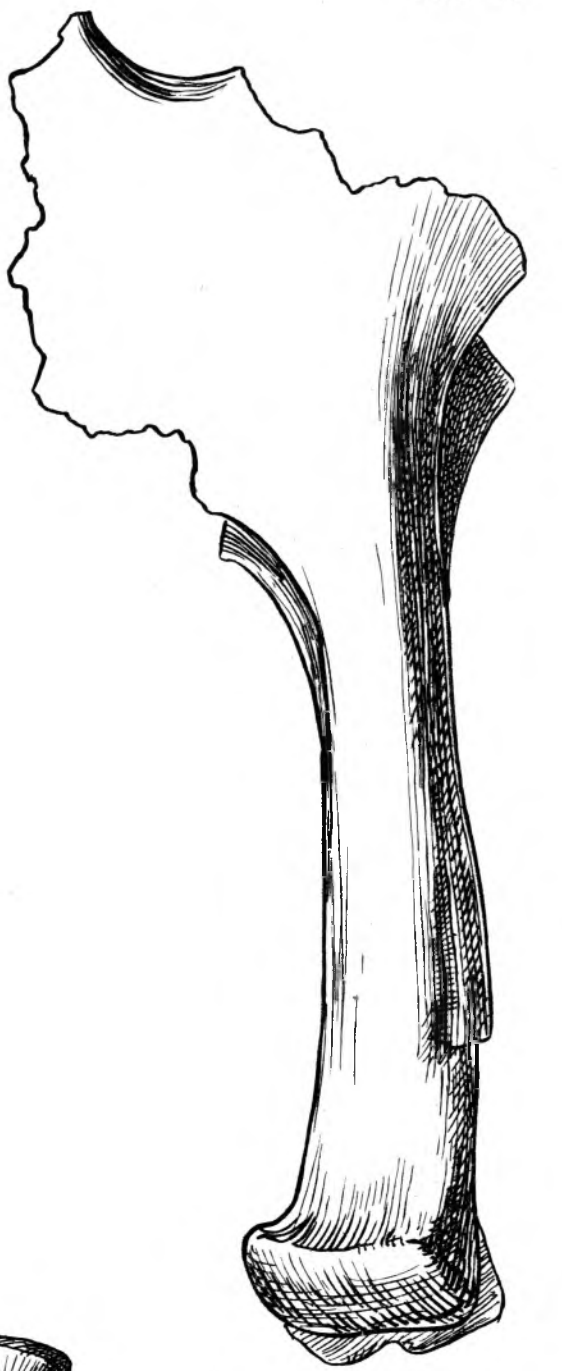
4b



9



6



10

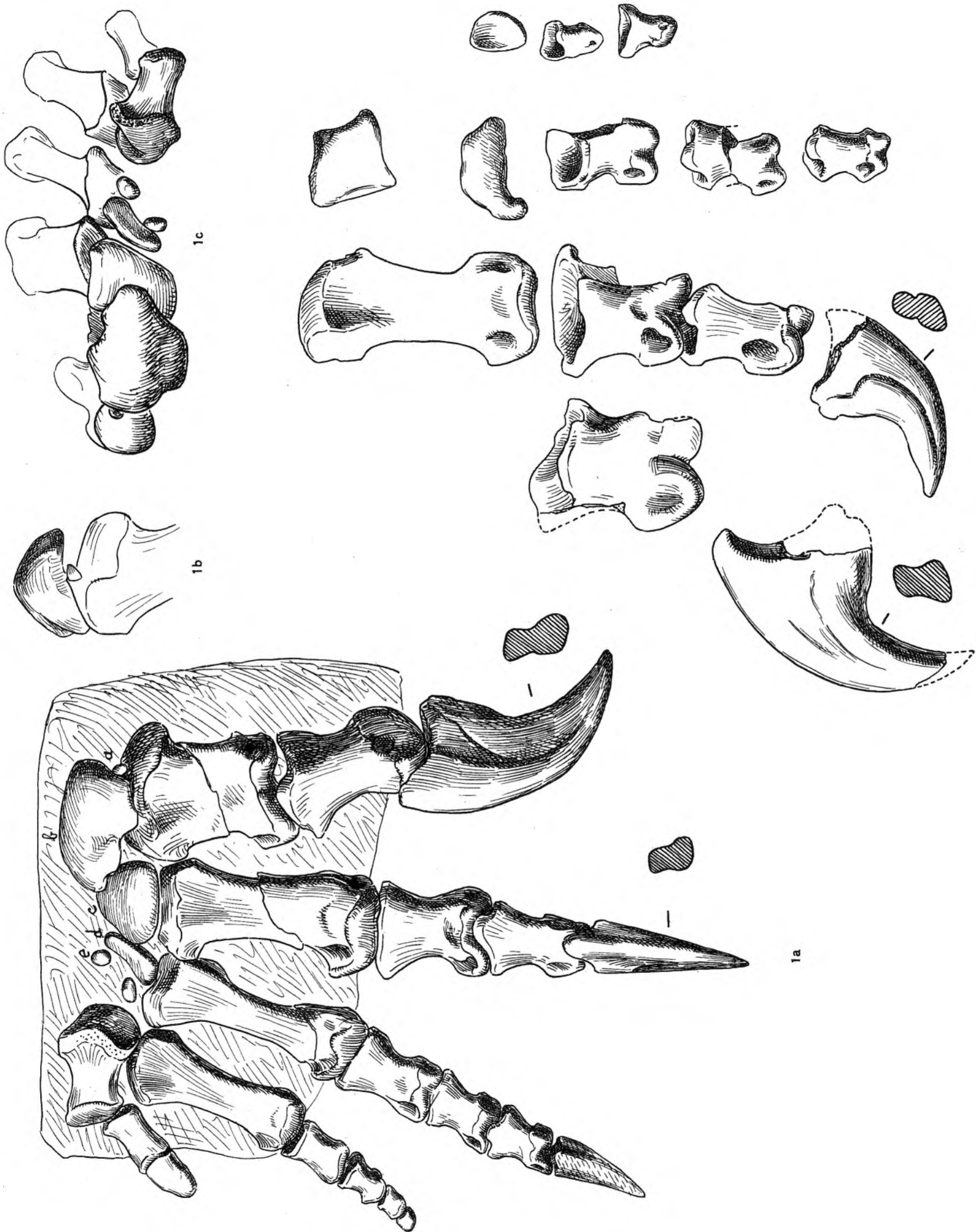


5

Erklärung der Tafel 11

Alle Abbildungen 1:2 nat. Größe

- Fig. 1. Wahrscheinlich *Pachysaurus ajax* HUENE aus dem Knollenmergel der Oberen Mühle von Trossingen. Einzelne rechte Hand (13200k in der Naturaliensammlung, Stuttgart), S. 103. *a* dorsale Ansicht *b* Medialansicht des Oberendes von Metacarpale I mit daraufliegenden Carpalia, *c* Ansicht der Carpalia, und Metacarpalia von proximal.
- Fig. 2. Wahrscheinlich *Pachysaurus* sp., Fundort wie Fig. 1 (13200 „d?“ in der Naturaliensammlung, Stuttgart). Linke Hand.



Erklärung der Tafel 12

Alle Abbildungen 1:4 nat. Größe.

- Fig. 1—10. *Pachysaurus wetzelianus* n. sp. aus den Knollenmergeln der Oberen Mühle von Trossingen (Skelett V, Tübingen). S. 105.
- Fig. 1. Stark beschädigter 10. Rückenwirbel von links.
 - Fig. 2. 6. Schwanzwirbel von links.
 - Fig. 3. Haemapophyse des (hinter dem) 7. Schwanzwirbels von links.
 - Fig. 4. Beide Ischia ohne Proximalenden, zerdrückt.
 - Fig. 5. Beide Pubisplatten (mit Ergänzungen) und einige Abdominalrippen.
 - Fig. 6. Distale Hälfte des linken Humerus von vorn.
 - Fig. 7. Linkes Femur von hinten.
 - Fig. 8. Linke Tibia von lateral.
 - Fig. 9. Linke Fibula von lateral.
 - Fig. 10. Linker Fuß.
- Fig. 11. *Pachysaurus* (?) *giganteus* n. sp. gleichen Fundorts wie Fig. 1 ff. (in Tübingen). S. 111. Metatarsalia II—IV mit 1. Phalange der 2. Zehe.

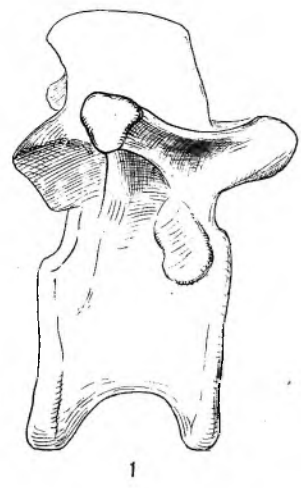


Erklärung der Tafel 13

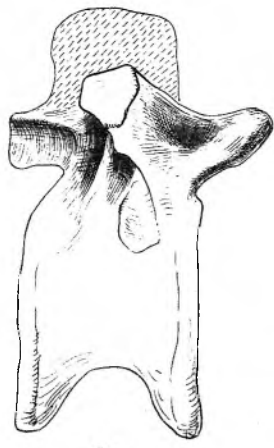
Alle Abbildungen 1 : 4 nat. Größe

Gresslyosaurus ingens RÜETIMYER aus dem oberen Keuper von Halberstadt (Fund 18). S. 113.

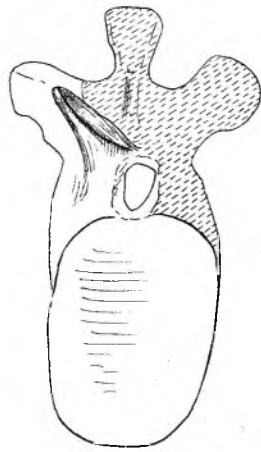
- Fig. 1. Rückenwirbel 6 von rechts.
- Fig. 2. Rückenwirbel 4, *a* von rechts mit Querschnitt in der Mitte der Unterseite, *b* von vorn.
- Fig. 3. Rückenwirbel 2 von rechts mit Querschnitt in der Mitte der Unterseite.
- Fig. 4. Distalende des linken Femurs, *a* von hinten, *b* von unten.
- Fig. 5. Distalende der linken Tibia, *a* von hinten, *b* von unten.
- Fig. 6. Linke Fibula mit Ergänzung in der Mitte, daher Länge unsicher.
- Fig. 7. Mediale Hälfte des linken Astragalus, *a* von vorn, *b* von unten.
- Fig. 8. Linkes Cuneiforme III in drei Ansichten, stark ergänzt.
- Fig. 9. Linkes Metatarsale I, *a* von vorn, *b* von oben, *c* von lateral.
- Fig. 10. Linkes Metatarsale II, *a* von vorn, *b* von oben, *c* von lateral.
- Fig. 11. Linkes Metatarsale III, *a* von vorn, *b* von oben.
- Fig. 12. Linkes Metatarsale IV, *a* von vorn, *b* von oben, *c* von unten.
- Fig. 13. Linkes Metatarsale V, *a* von vorn, *b* von oben.
- Fig. 14. Phalangen der linken 3. Zehe.



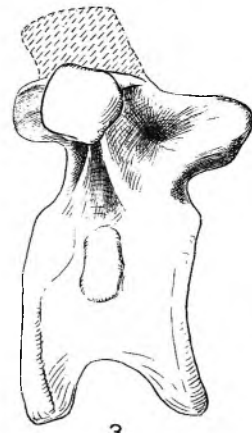
1



2a



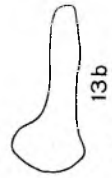
2b



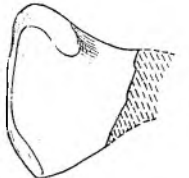
3



12c



13b



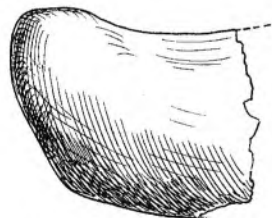
13a



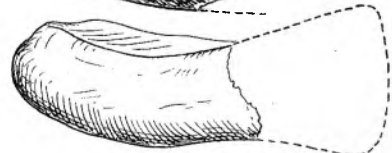
5a



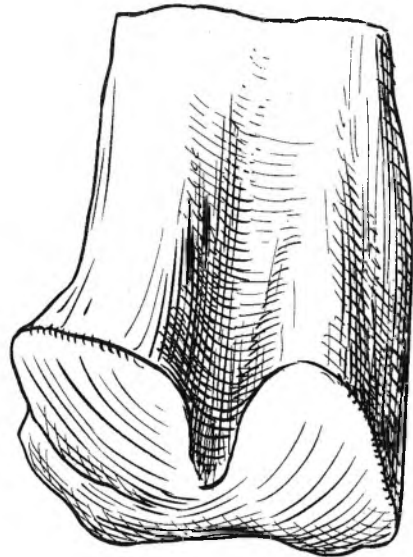
5b



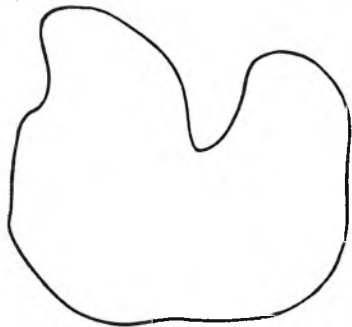
7b



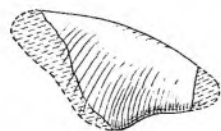
7a



4a



4b



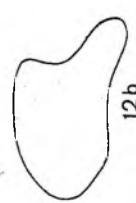
8a



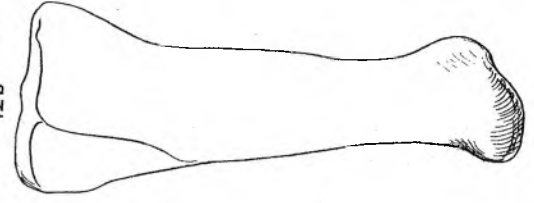
8c



8b



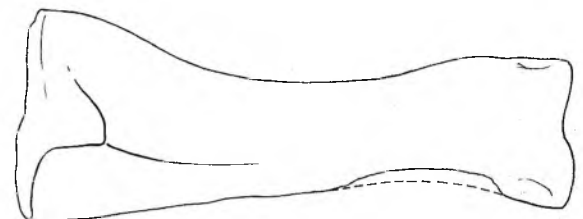
12b



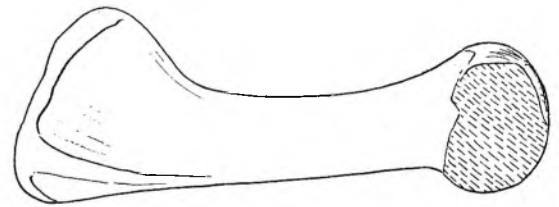
12a



11b



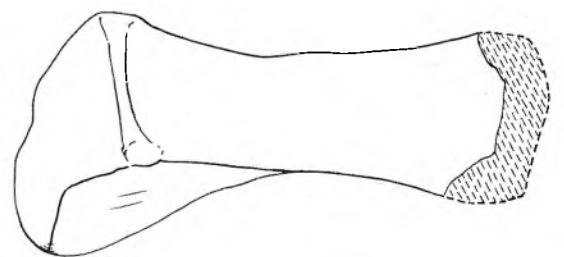
11a



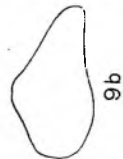
10c



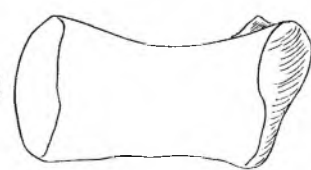
10b



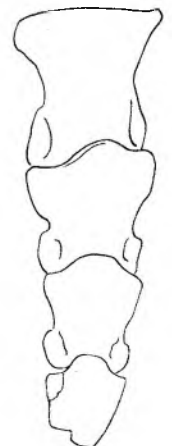
10a



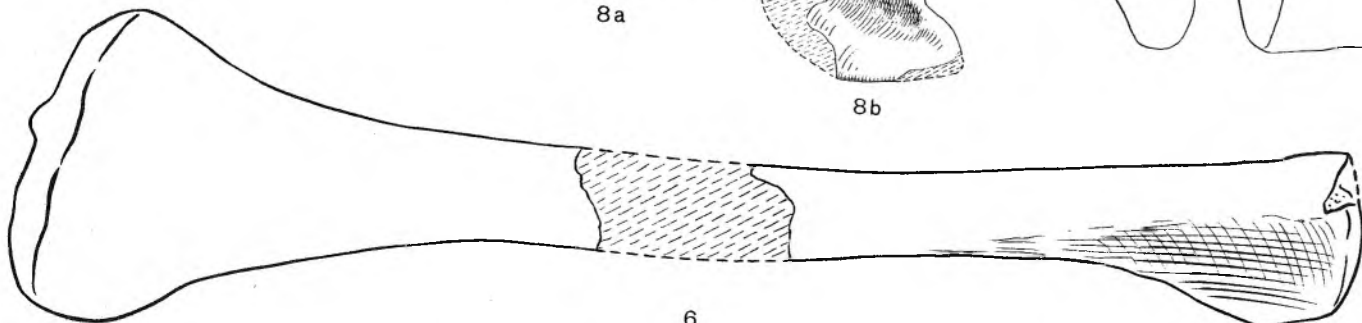
9b



9a



14

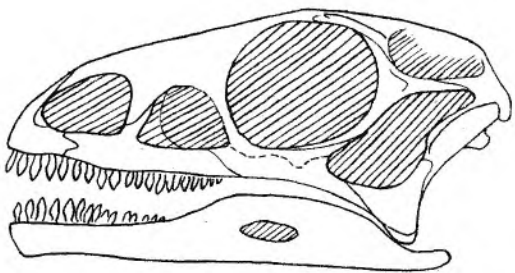


6

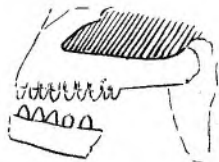
Erklärung der Tafel 14

Alle Abbildungen 1:2 nat. Größe, außer Fig. 2b und 3 und 11b

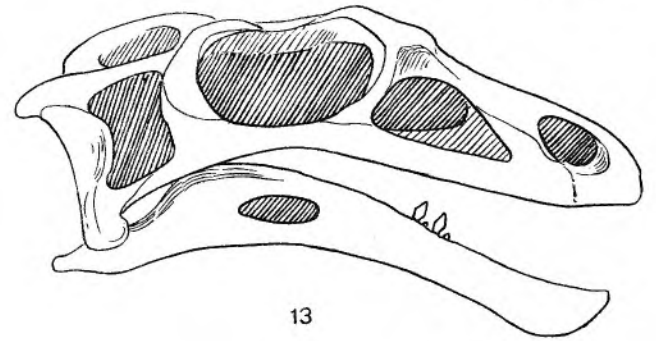
- Fig. 1. *Yaleosaurus* (n. g.) *colurus* MARSH aus der obersten Trias von Connecticut. Neue Rekonstruktion des Schädels. S. 119.
- Fig. 2. *Gyposaurus capensis* BROOM (Original von VAN HOEPENS „*Aristosaurus erectus*“) aus dem untersten Cave Sandstone von Rosendale, Oranje-Staat (im Transvaal-Museum, Pretoria). Fragment von Schädel und Unterkiefer mit Zähnen, daneben Zahnkrone nur wenig verkleinert. S. 123.
- Fig. 3—6. *Thecodontosaurus browni* SEELEY (nach HAUGHTONS *Thecod.* „*minor*“) aus dem Cave Sandstone von Ladybrand, Oranje-Staat (im Nationalmuseum Bloemfontein). S. 118.
- Fig. 3. Zwei Kieferstücke mit Zähnen.
- Fig. 4. Linkes Femur von medial.
- Fig. 5. Rechte Tibia von lateral.
- Fig. 6. Die 3 ersten Fußzehen, nach gegebenen Maßen.
- Fig. 7—9. Gleiche Art (VAN HOEPENS Original von „*Massospondylus*“ *browni* aus den obersten Red Beds der Farm St. Fort bei Bethlehem, Oranje-Staat.
- Fig. 7. Neuralbogen des 1. Rückenwirbels von links.
- Fig. 8. 3. und 4. Rückenwirbel von links.
- Fig. 9. 10. Rückenwirbel von links.
- Fig. 10—14. *Massospondylus harriesi* BROOM aus den Red Beds von Blikana District Herschel, Kapprovinz. S. 125.
- Fig. 10. Reste der rechten Schädelseite und des Unterkiefers, *b* ein Zahn 1:1.
- Fig. 11. Reste des Schädeldaches.
- Fig. 12. Schädelbasis, *a* Ventralansicht, *b* von links.
- Fig. 13. Rekonstruktion des Schädels.
- Fig. 14. Sternum und Rest der rechten Clavicula, Ventralansicht, *b* von links (ventral „oben“), *c* Querprofil der Sternumplatte am distalen Bruch.



1



2



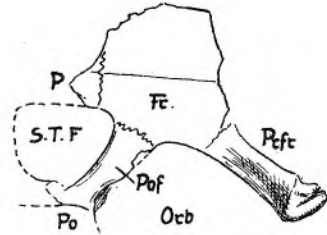
13



3a



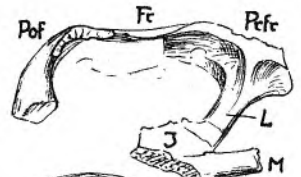
3b



11



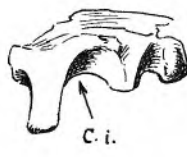
10b



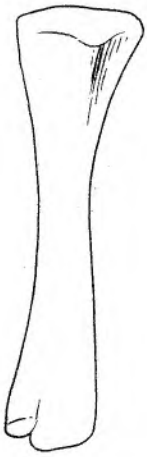
10a



12a



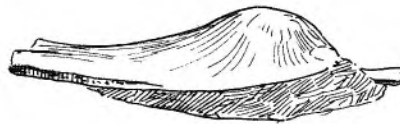
12b



5



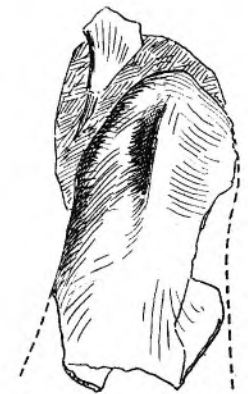
4



14b



14c



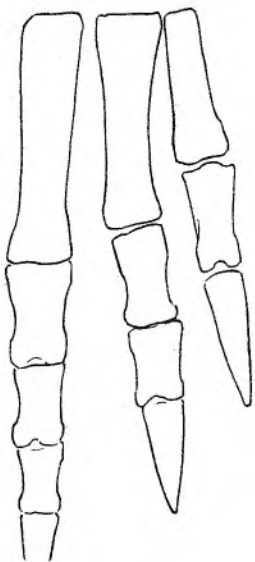
14a



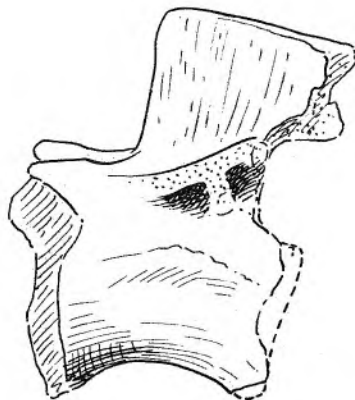
10



7



6



9



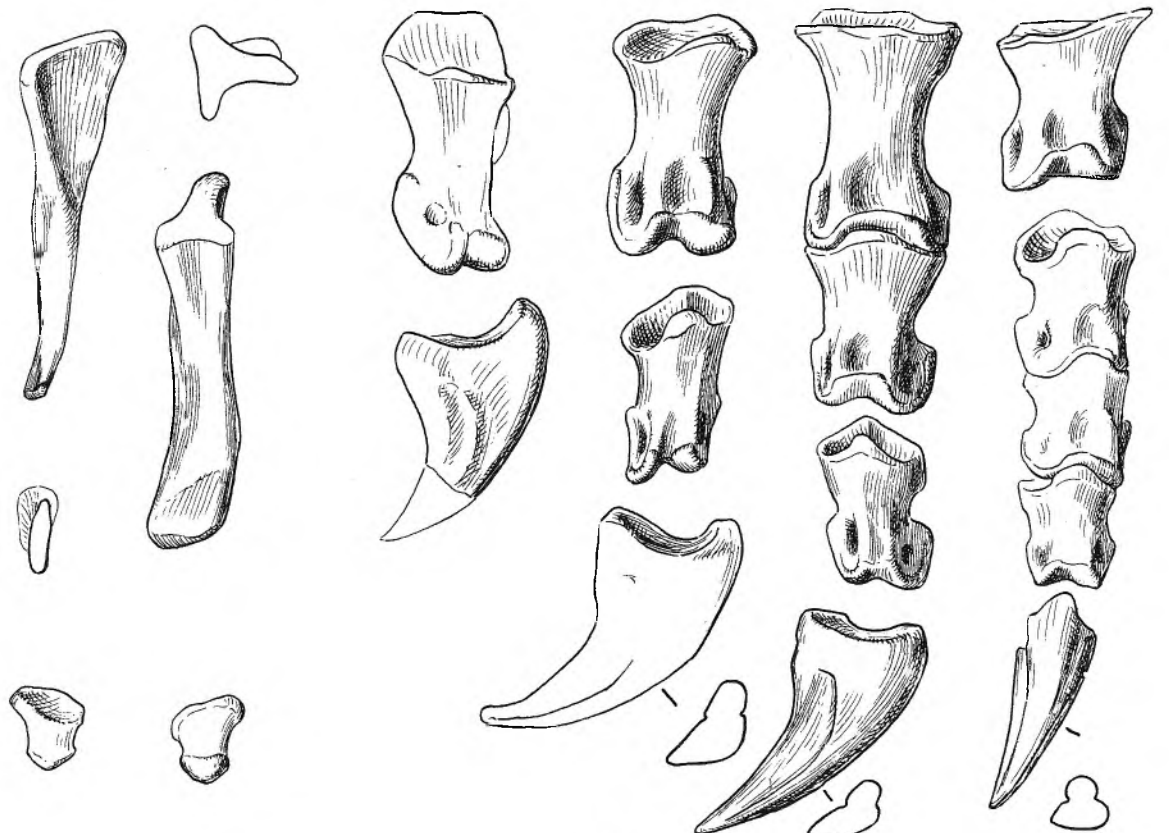
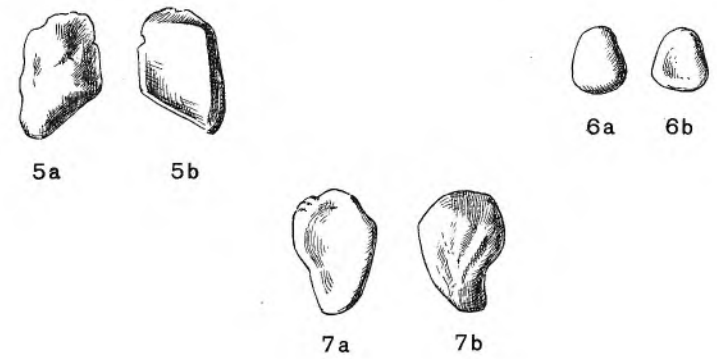
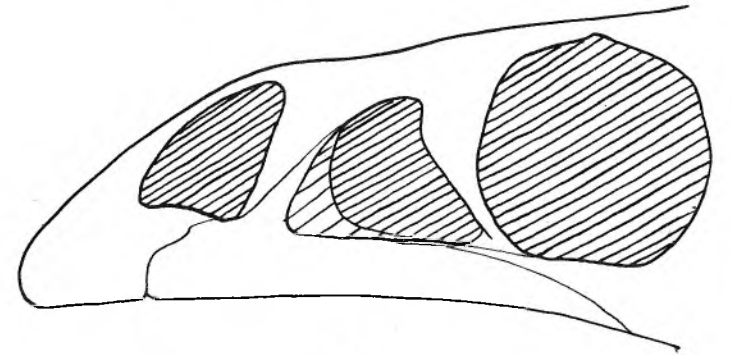
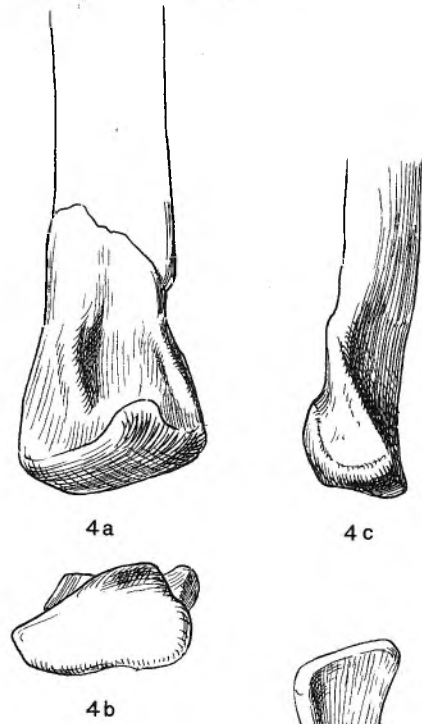
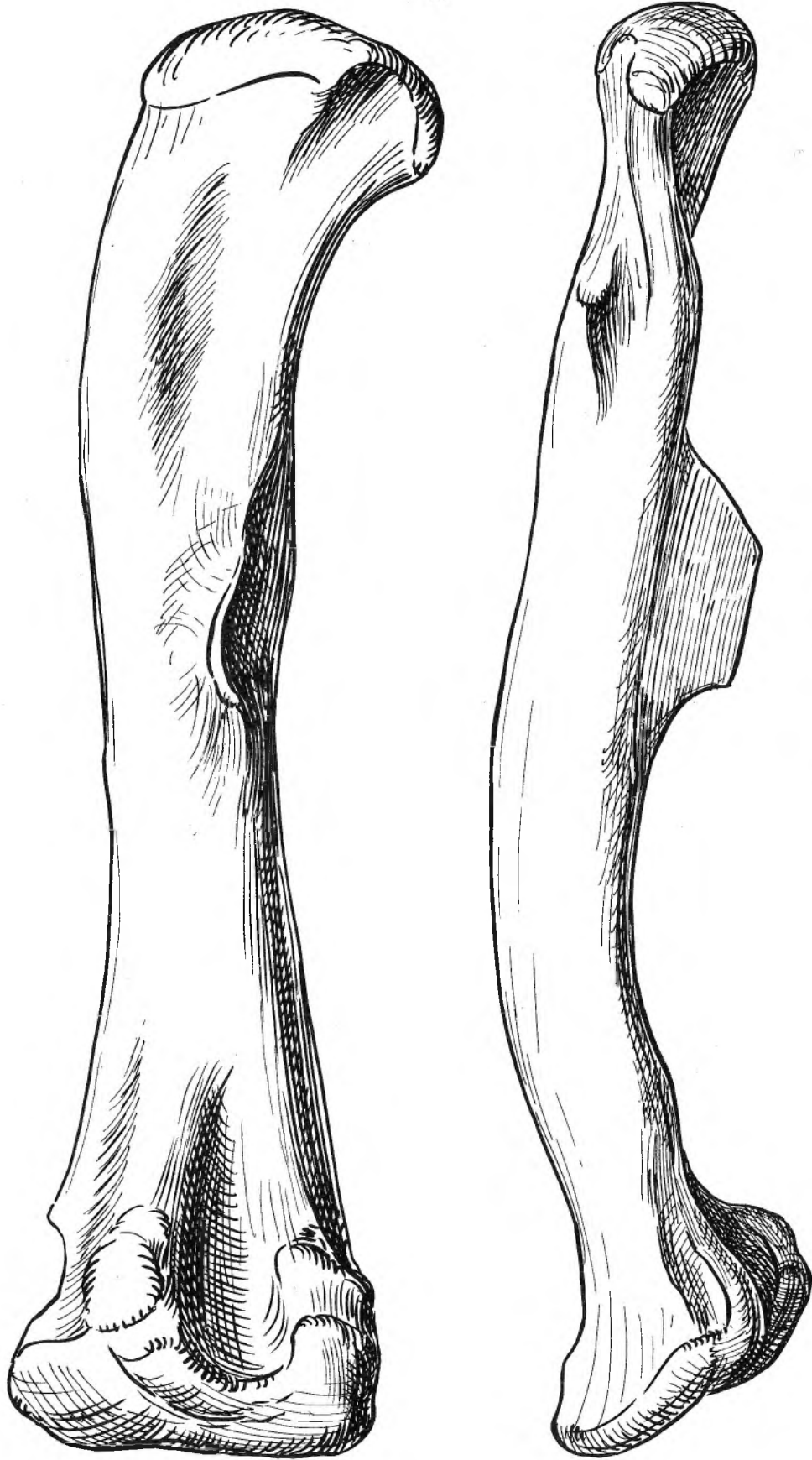
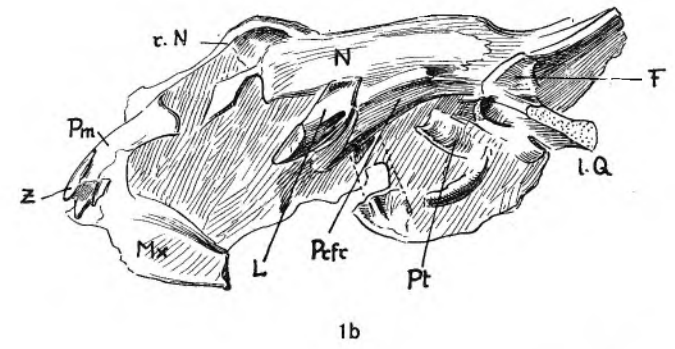
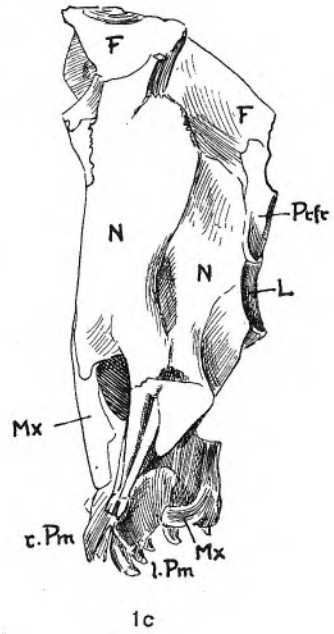
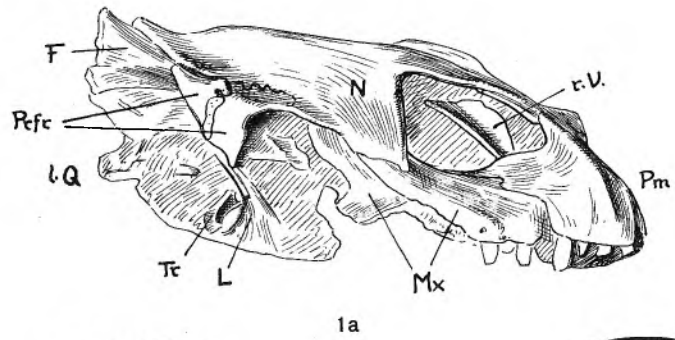
8

Erklärung der Tafel 15

Alle Abbildungen 1:2 nat. Größe

Plateosaurus gracilis HUENE aus dem Stubensandstein von Pfaffenhofen, Württemberg (12216—12222 in der Naturaliensammlung, Stuttgart). S. 129.

- Fig. 1. *a* Schädel von rechts, *b* von links, *c* von oben.
- Fig. 2. Rekonstruktion des Schädels.
- Fig. 3. Linkes Femur, *a* von hinten, *b* von lateral.
- Fig. 4. Distalende der linken Fibula, *a* von medial, *b* von vorn, *c* von unten.
- Fig. 5. Carpale distale II links, *a* von proximal, *b* von distal.
- Fig. 6. Ein Carpale in zwei Ansichten.
- Fig. 7. Wahrscheinlich Cuneiforme III in zwei Ansichten.
- Fig. 8. Linker Fuß mit unvollständigem Metatarsus.



3a

3b

4a

4b

4c

5a

5b

6a

6b

7a

7b

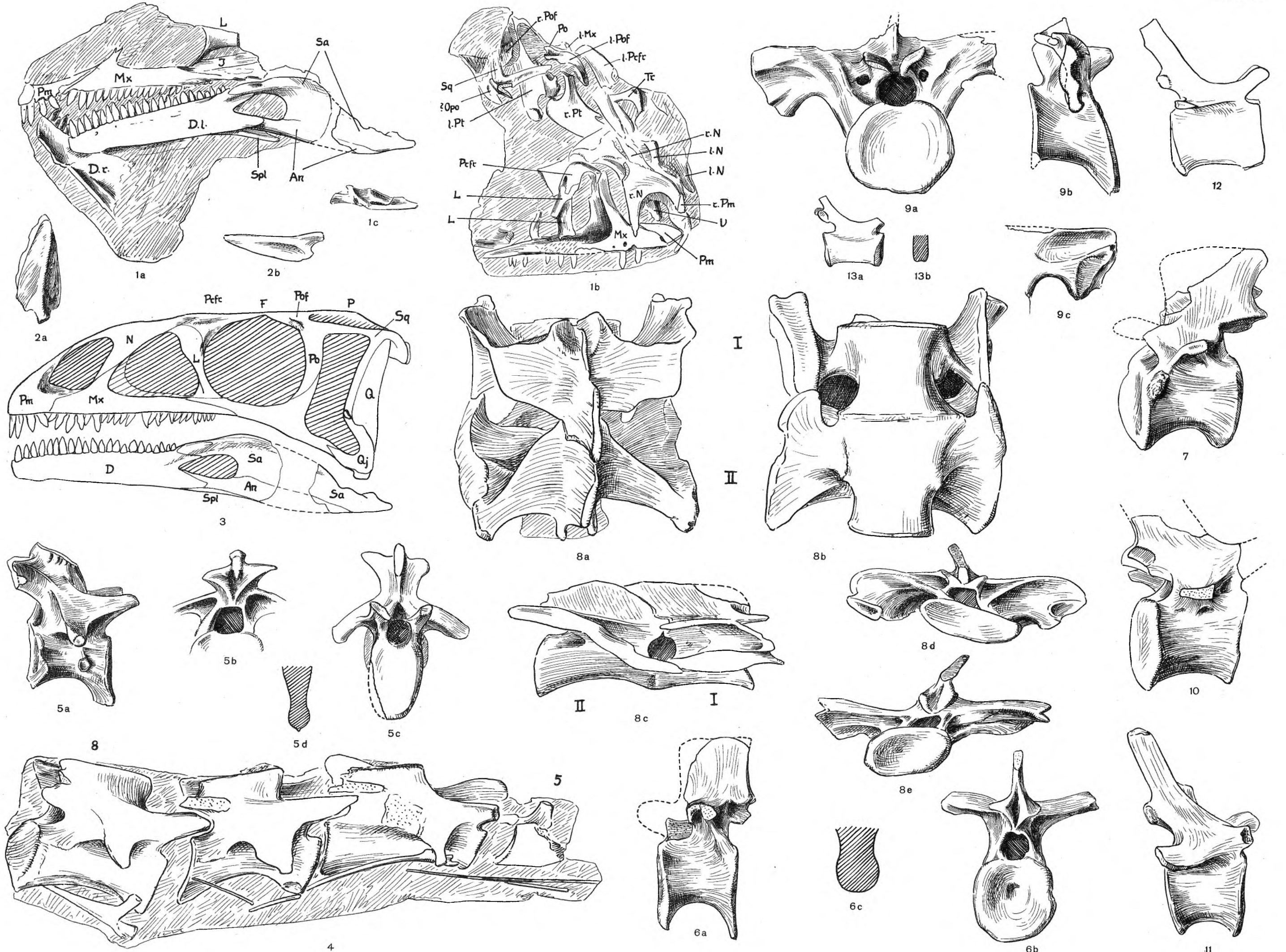
8

Erklärung der Tafel 16

Alle Abbildungen 1 : 2 nat. Größe

Art und Herkunft wie Taf. 15 (Fund 12684 mit Schädel 12669, der dazu gehört, in der Naturaliensammlung, Stuttgart).
S. 129.

- Fig. 1. Schädel von zwei Seiten mit Bezeichnung der Elemente, *c* Articulare + Suprangulare von oben.
- Fig. 2. Rechtes Quadratum, *a* von hinten, *b* von medial.
- Fig. 3. Rekonstruktion dieses Schädels.
- Fig. 4. Halswirbel 5—8 von rechts.
- Fig. 5. Halswirbel 10, *a* von rechts, *b* von hinten, *c* von vorn, *d* Querschnitt des Centrums in der Mitte.
- Fig. 6. Rückenwirbel 14, *a* von links, *b* von hinten, *c* Querschnitt des Centrums in der Mitte.
- Fig. 7. Etwa 10. Rückenwirbel von links.
- Fig. 8. Sacralwirbel I und II, *a* von oben, *b* von unten, *c* von rechts, *d* von vorn, *e* von hinten.
- Fig. 9. Sacralwirbel III, *a* von vorn, *b* von rechts, *c* Sacralrippe von hinten.
- Fig. 10. Vorderer Schwanzwirbel von rechts.
- Fig. 11. Schwanzwirbel von rechts.
- Fig. 12. Mittlerer Schwanzwirbel von rechts.
- Fig. 13. Distaler Schwanzwirbel von rechts mit Querschnitt des Centrums.

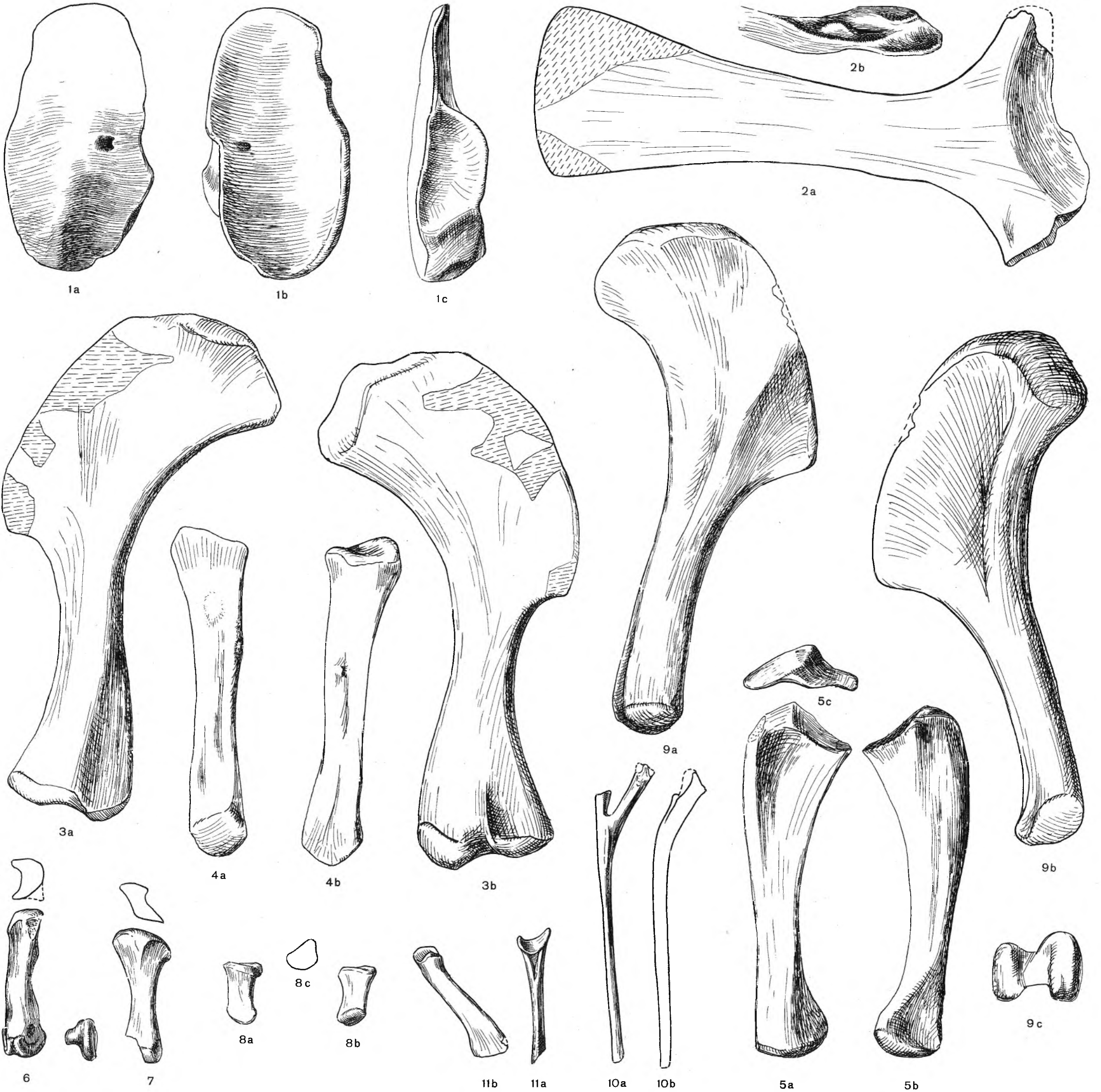


Erklärung der Tafel 17

Alle Abbildungen 1:2 nat. Größe

Gleicher Fund wie Taf. 16

- Fig. 1. Linkes Coracoid, *a* von außen, *b* von medial, *c* von hinten.
- Fig. 2. Rechte Scapula, *a* von lateral, *b* Gelenkrand von vorn.
- Fig. 3. Linker Humerus, *a* von lateral, *b* von medial.
- Fig. 4. Linker Radius in zwei Ansichten.
- Fig. 5. Linke Ulna in drei Ansichten.
- Fig. 6. Linkes Metacarpale II mit Endansicht.
- Fig. 7. Rechtes Metacarpale III mit oberer Fläche.
- Fig. 8. Rechtes Metacarpale V in drei Ansichten.
- Fig. 9. Rechter Humerus, *a* von lateral, *b* von medial, *c* distale Fläche.
- Fig. 10. 10. Halsrippe, *a* von vorn-lateral, *b* von dorsal.
- Fig. 11. Haemapophyse der Schwanzmitte, *a* von links, *b* von hinten.



Erklärung der Tafel 18

Alle Abbildungen 1:2 nat. Größe

Art und Fund wie Taf. 16 und 17.

- Fig. 1. Rechtes Ilium von lateral.
- Fig. 2. Beide Ischia von links.
- Fig. 3. Ende des linken Ischium-Stieles, *a* von lateral, *b* Endfläche.
- Fig. 4. Linke Tibia von medial.
- Fig. 5. Rechte Tibia, *a* von lateral, *b* von oben, *c* von distal.
- Fig. 6. Rechte Fibula, *a* von lateral, *b* von medial, *c* von oben, *d* von unten.
- Fig. 7. Cuneiformia III und IV rechts von oben.
- Fig. 8. Cuneiforme IV rechts, *a* von hinten, *b* von lateral.
- Fig. 9. Cuneiforme III rechts, *a* von medial, *b* von unten.
- Fig. 10. Metatarsale I rechts mit Endansichten.
- Fig. 11. Metatarsale II rechts von medial mit Endansichten.
- Fig. 12. Metatarsale III links mit Endansichten und Lateralansicht des Distalendes.
- Fig. 13. Metatarsale IV rechts mit oberer Endansicht.
- Fig. 14. Metatarsale V rechts mit oberer Endansicht und Querschnitt im distalen Teil.
- Fig. 15. Fuß-Phalange I, 1 rechts, *a* von vorn, *b* von hinten.
- Fig. 16. Phalange II, 1 rechts.
- Fig. 17. Phalange II, 2 rechts.
- Fig. 18. Phalange III, 1 rechts.
- Fig. 19. Phalange IV, 1 (?) links.
- Fig. 20. Klaue II links von lateral.
- Fig. 21. Klaue IV rechts von medial mit Querschnitt.

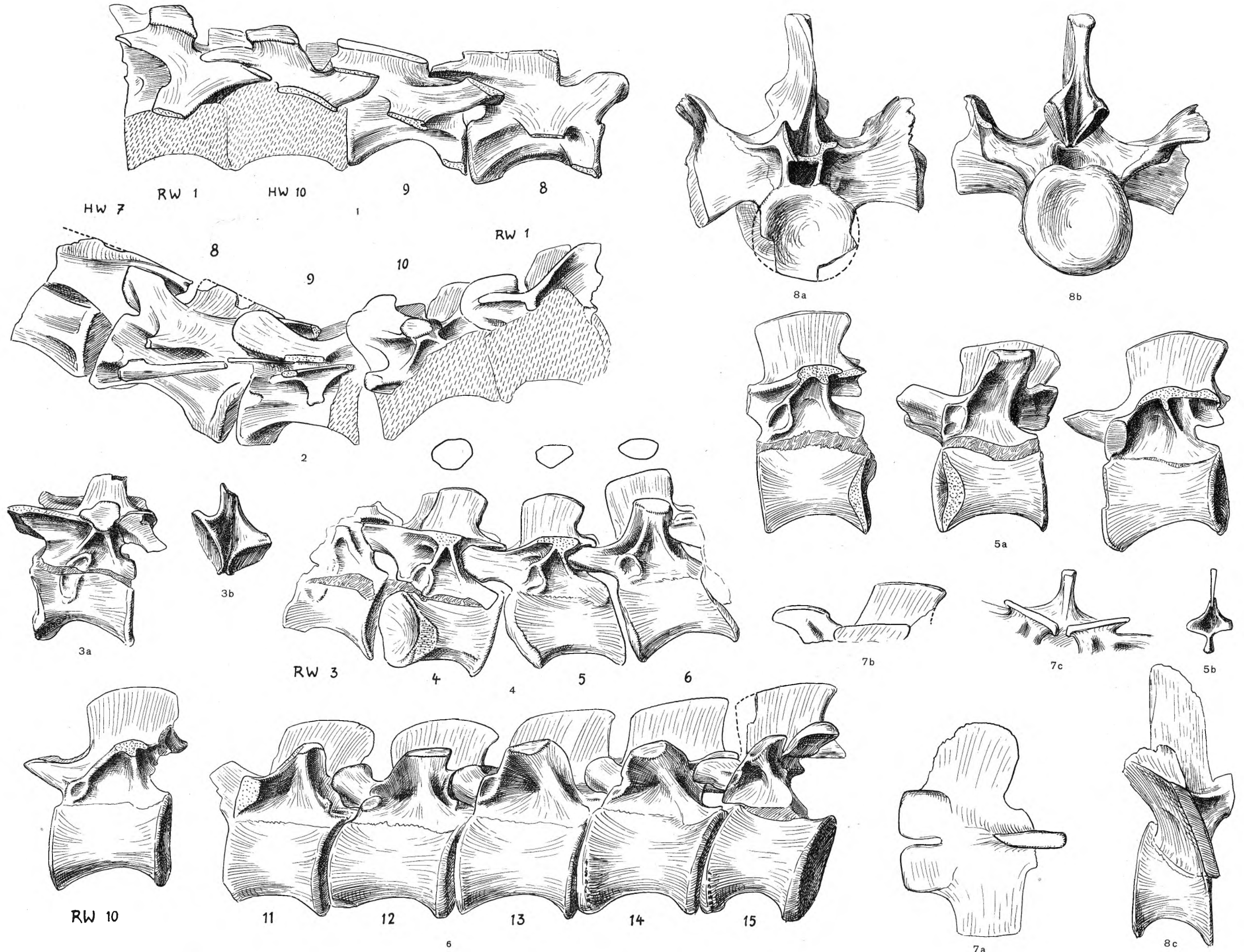


Erklärung der Tafel 19

Alle Abbildungen 1:2 nat. Größe

Art und Herkunft wie Taf. 15 (Fund 12354 in der Naturaliensammlung, Stuttgart). S. 129.

- Fig. 1. Halswirbel 8 bis Rückenwirbel 1 von rechts.
- Fig. 2. Halswirbel 7 bis Rückenwirbel 1 von links.
- Fig. 3. Rückenwirbel 2, *a* von links, *b* Neuralbogen von hinten.
- Fig. 4. Rückenwirbel 3—6 von links mit Endflächen der rechten Diapophysen.
- Fig. 5. Rückenwirbel 7, 8, 9 von links mit Hinteransicht des Neuralbogens des 9. Rückenwirbels.
- Fig. 6. Rückenwirbel 10—15 von links.
- Fig. 7. Neuralbogen von Sacralwirbel I, *a* von vorn, *b* von links, *c* von vorn.
- Fig. 8. Sacralwirbel III, *a* von vorn, *b* von hinten, *c* von rechts.

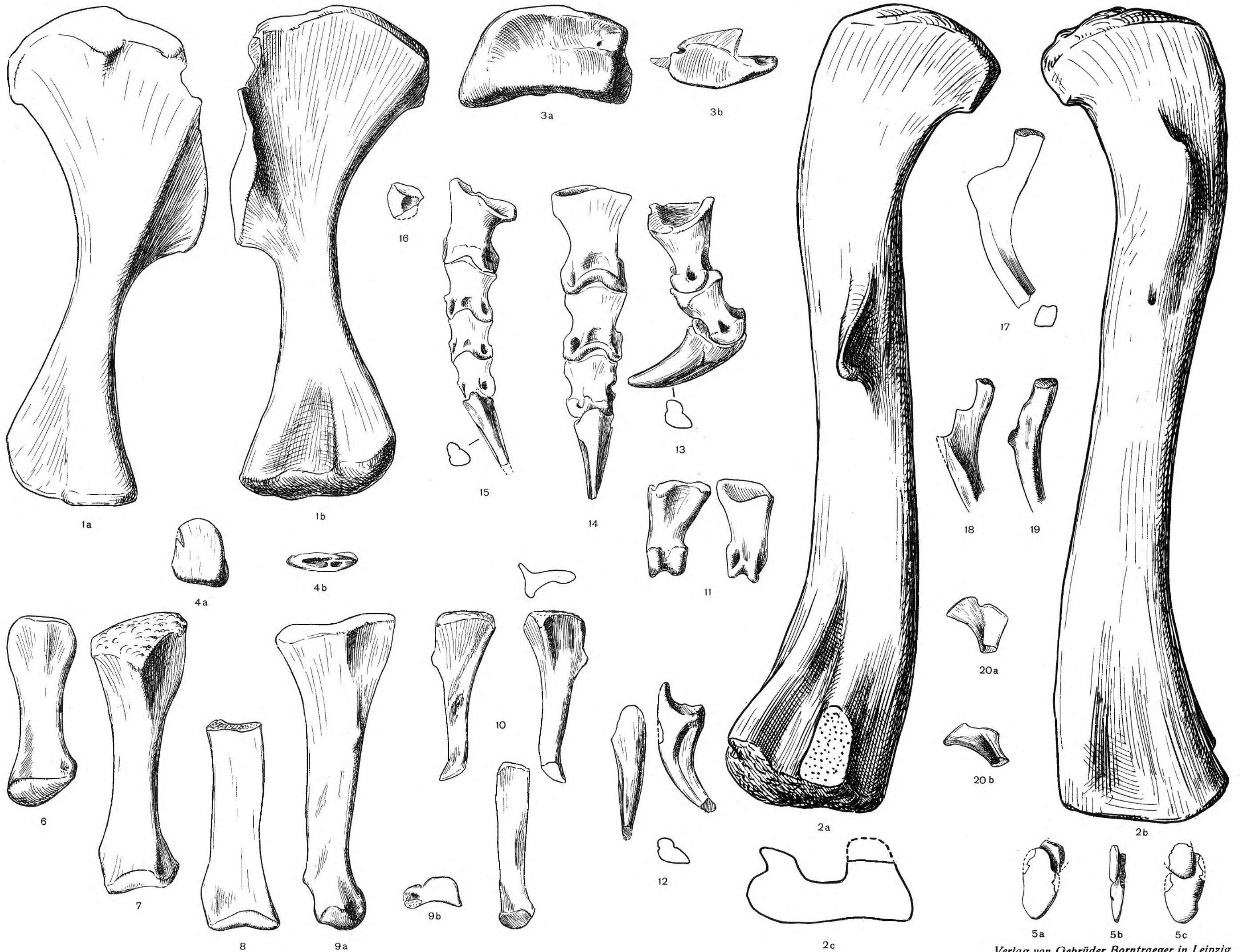


Erklärung der Tafel 20

Alle Abbildungen 1:2 nat. Größe

Gleicher Fund wie Taf. 19 (Fortsetzung)

- Fig. 1. Rechter Humerus, *a* von hinten, *b* von vorn.
- Fig. 2. Linkes Femur, *a* von hinten, *b* von vorn, *c* distale Endfläche.
- Fig. 3. Linker Astragalus, *a* von oben, *b* von lateral.
- Fig. 4. Linker Calcaneus, *a* von unten, *b* lateral.
- Fig. 5. Cuneiforme III und IV links, in drei Ansichten.
- Fig. 6. Metatarsale I rechts.
- Fig. 7. Metatarsale II rechts.
- Fig. 8. Metatarsale III rechts.
- Fig. 9. Metatarsale IV rechts mit distaler Endfläche.
- Fig. 10. Metatarsale V rechts, *a* von vorn, *b* von hinten, *c* von lateral, *d* von oben.
- Fig. 11. Phalange I, 1 rechts von vorn und hinten.
- Fig. 12. Klaue I rechts in mehreren Ansichten.
- Fig. 13. Die Phalangen der 2. Zehe rechts von lateral.
- Fig. 14. Die Phalangen der 3. Zehe rechts.
- Fig. 15. Die Phalangen der 4. Zehe rechts.
- Fig. 16. Phalange V, 1 rechts.
- Fig. 17. Kopf einer rechten mittleren Dorsalrippe (12217) von vorn.
- Fig. 18. Kopf einer rechten vorderen Dorsalrippe (12354) von vorn.
- Fig. 19. Kopf einer rechten hinteren Dorsalrippe (12354) von vorn.
- Fig. 20. Kopf der linken 1. Dorsalrippe (12354), *a* von dorsal, *b* von vorn.



Erklärung der Tafel 21

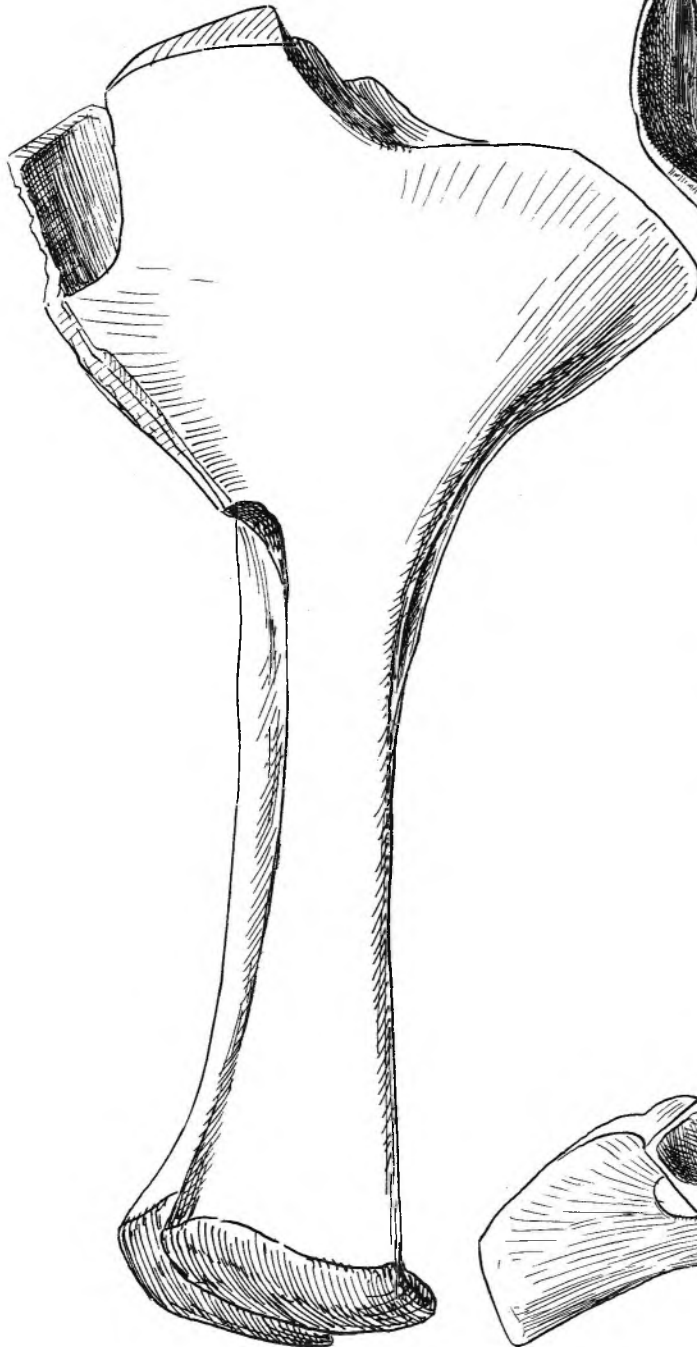
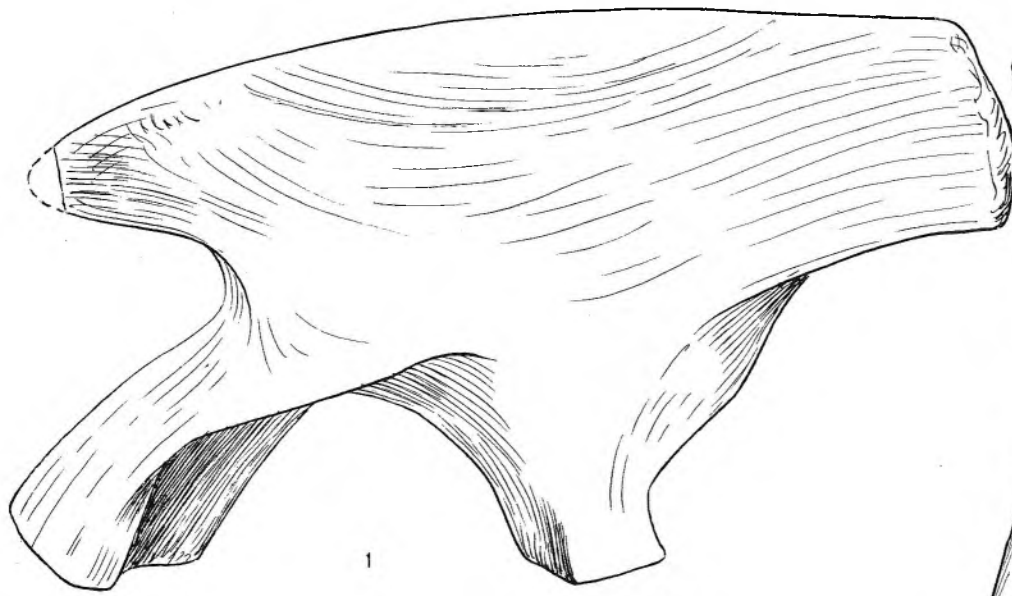
Alle Abbildungen 1:2 nat. Größe

Gleicher Fund wie Taf. 19 und 20 (Fortsetzung)

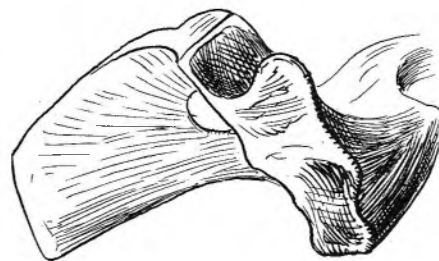
Fig. 1. Linkes Ilium von lateral.

Fig. 2. Beide Ischia von links.

Fig. 3. Linkes Pubis, *a* von dorsal, *b* von lateral, *c* proximaler Teil von medial, *d* proximaler Teil von hinten-oben.



3c



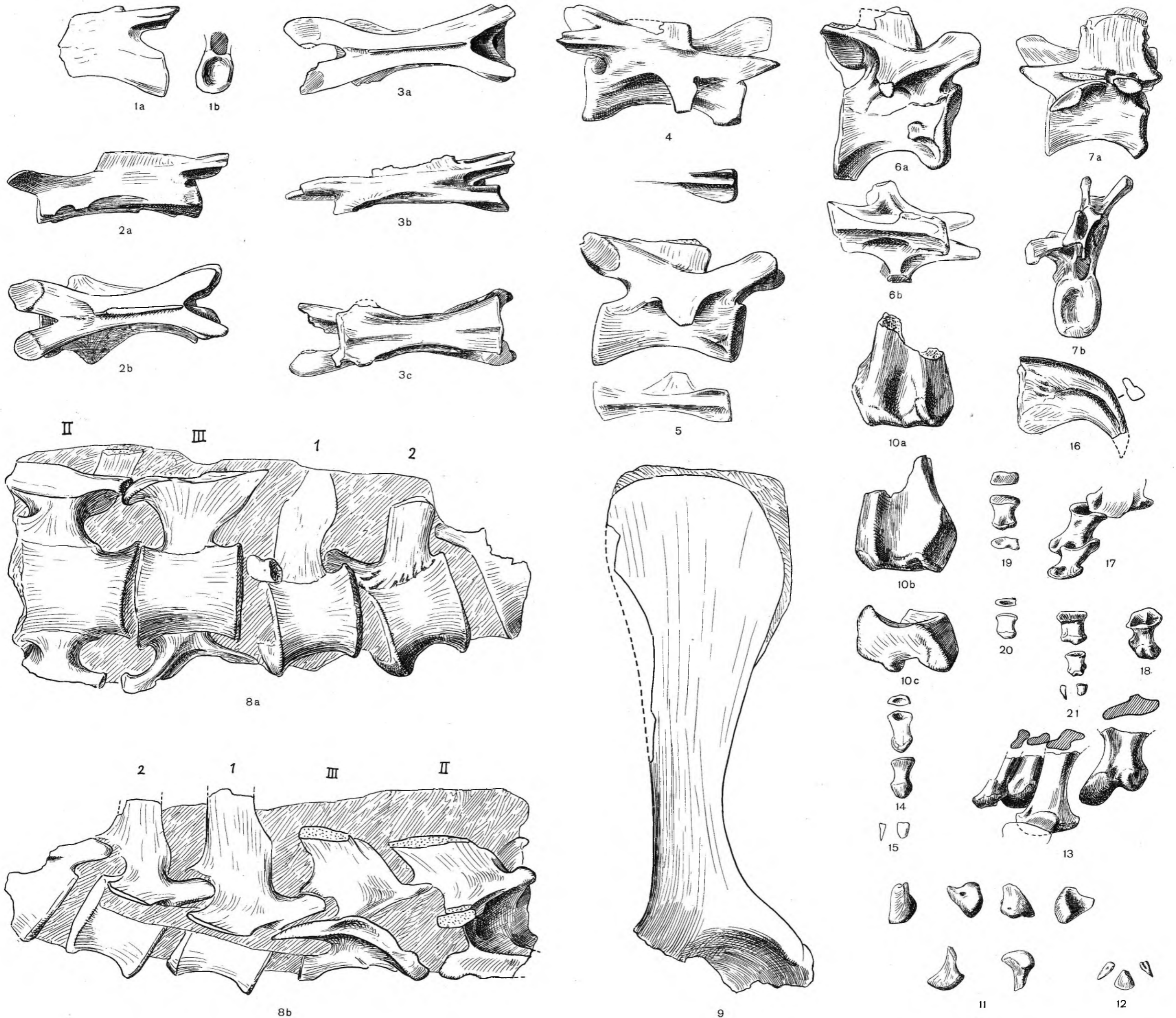
3a

Erklärung der Tafel 22

Alle Abbildungen 1:2 nat. Größe

Art und Herkunft wie Taf. 15ff. (Fund 12685 in der Naturaliensammlung, Stuttgart). S. 129.

- Fig. 1. Etwa 3. Halswirbel von links mit Hinteransicht.
- Fig. 2. Halswirbel 4, *a* von links, *b* von oben.
- Fig. 3. Halswirbel 5, *a* von oben, *b* von links, *c* von unten.
- Fig. 4. Etwa 7. Halswirbel von links mit Unteransicht des Vorderendes.
- Fig. 5. Etwa 8. Halswirbel von links mit Unteransicht.
- Fig. 6. Halswirbel 10 von rechts mit Unteransicht.
- Fig. 7. Rückenwirbel 7, *a* von links, *b* von hinten.
- Fig. 8. Sacralwirbel II und III und Schwanzwirbel 1 und 2, *a* von unten, *b* von rechts.
- Fig. 9. Rechte Scapula von der Seite.
- Fig. 10. Distalende des linken Humerus, *a* von hinten, *b* von vorn, *c* Distalfläche.
- Fig. 11. Carpale der rechten Hand in 6 Ansichten.
- Fig. 12. Carpale der rechten Hand in 3 Ansichten.
- Fig. 13. Die drei ersten Metacarpalia der rechten Hand.
- Fig. 14. Hand-Phalange V, 1 rechts.
- Fig. 15. Phalange V, 3 rechts von der Gegenseite und Endglied mit Seitenansicht.
- Fig. 16. Hand-Klaue I rechts mit Querschnitt.
- Fig. 17. Die Phalangen II, 1 und 2 der rechten Hand.
- Fig. 18. Phalange des 3. Fingers der Hand.
- Fig. 19. Phalange IV, 2 der rechten Hand von unten mit Endfläche.
- Fig. 20. Phalange IV, 3 der rechten Hand von unten mit oberer Endfläche.
- Fig. 21. Die Phalangen IV, 2, 3, 4 der rechten Hand von dorsal mit Seitenansicht des Endgliedes.

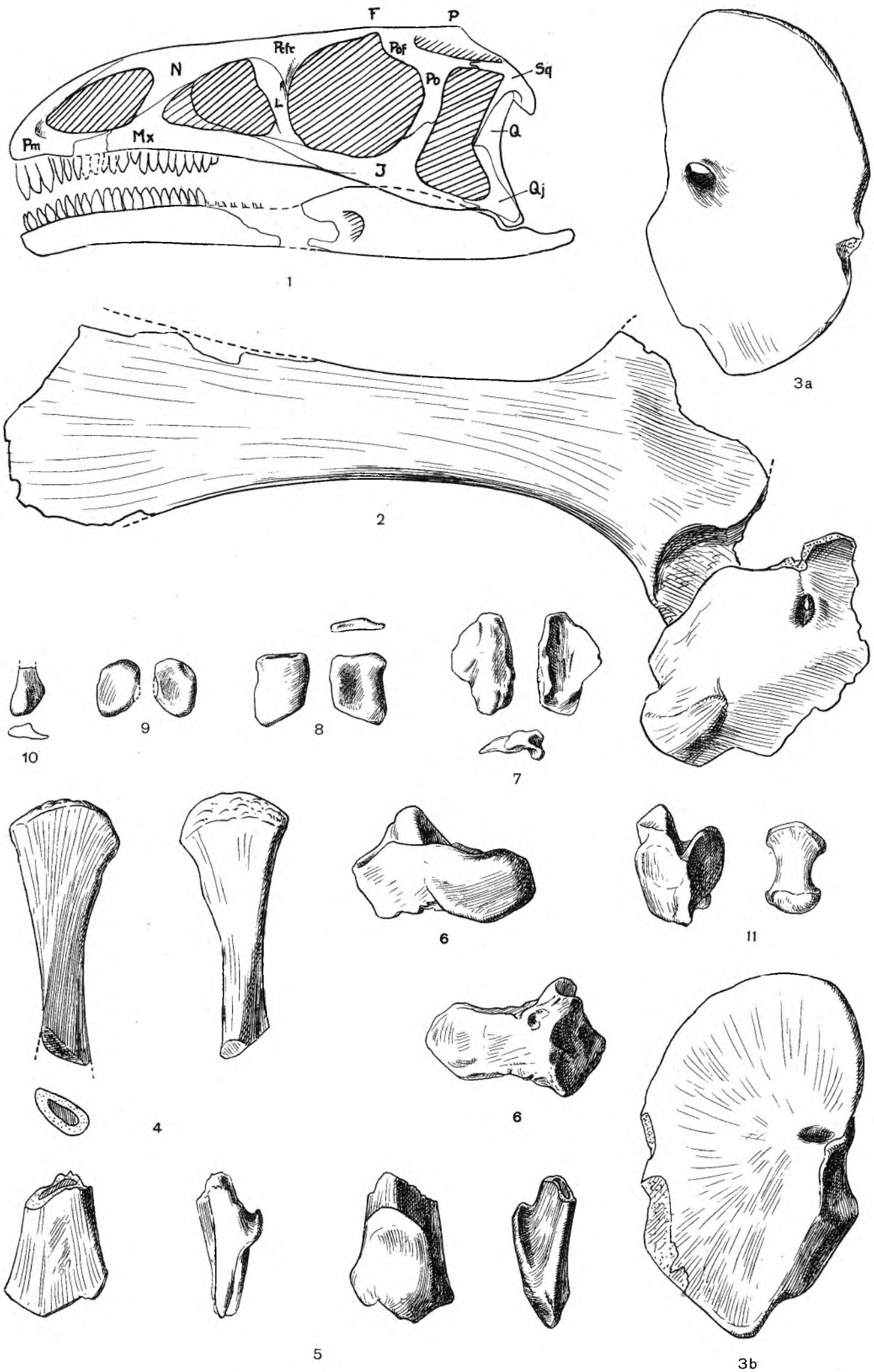


Erklärung der Tafel 23

Alle Abbildungen 1:2 nat. Größe

Art und Fundort wie Taf. 15—22.

- Fig. 1. Rekonstruktion des Schädels 12353, *a* der Naturaliensammlung, Stuttgart. S. 130.
Fig. 2. Linke Scapula und Coracoid von medial, Fund 12191 der Naturaliensammlung, Stuttgart. S. 133.
Fig. 3. Linkes Coracoid 12685 der Naturaliensammlung, Stuttgart, S. 133.
Fig. 4—11. Fund 12208 der Naturaliensammlung, Stuttgart.
 Fig. 4. Proximalende einer Fibula in mehreren Ansichten.
 Fig. 5. Distalende einer Fibula in mehreren Ansichten.
 Fig. 6. Linker Astragalus, *a* von hinten, *b* von vorn, *c* von lateral.
 Fig. 7. Carpalknochen auf Metacarpale I rechts in drei Ansichten.
 Fig. 8. Carpalknochen auf Metacarpale II rechts in drei Ansichten.
 Fig. 9. Lateraler Carpalknochen.
 Fig. 10. Metacarpale V.
 Fig. 11. Metatarsale V.



Erklärung der Tafel 24

Fig. 1. In Tübingen aufgestelltes Skelett (Nr. 1) von *Plateosaurus quenstedti* HUENE aus den Knollenmergeln der Oberen Mühle von Trossingen, Württemberg. Ein zusammenhängendes vollständiges Individuum. Vgl. S. 141.

Darüber Ölbild des Malers G. Biese-Stuttgart: Ein Lebensbild von *Plateosaurus* in Trossingen. Zur Motivierung vgl. „Lebensbild des Saurischier-Vorkommens im obersten Keuper von Trossingen in Württemberg“ von F. v. HUENE, Palaeobiologica I, 1927, S. 103—116 mit Taf. 10 und 11.

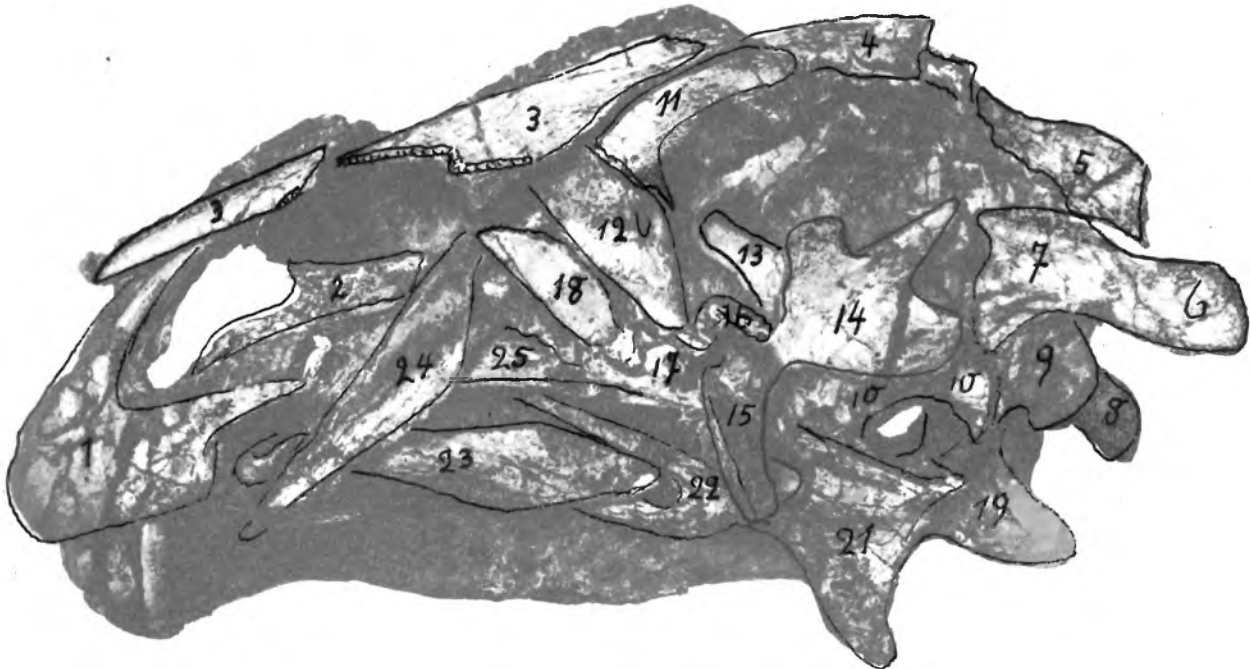
Fig. 2. Schädel des obigen Skeletts ohne Maxilla, Jochbogen, Quadratum usw., namentlich die inneren Teile gut zeigend. Wenig mehr als $\frac{1}{2}$ nat. Größe:

Erklärung der Zahlen des Deckblatts:

- | | |
|---|--|
| 1. linke Praemaxilla | 14. quadratischer Flügel des linken Pterygoids |
| 2. rechte Praemaxilla | 15. Querflügel des linken Pterygoids |
| 3. linkes Nasale (mit Bruchfläche des lateralen Fortsatzes) | 16. linkes Transversum |
| 4. linkes Frontale | 17. linkes Pterygoid, vorderer Teil |
| 5. linkes Parietale | 18. linkes Palatium |
| 6. linkes Opisthoticum | 19. quadratischer Flügel des rechten Pterygoids |
| 7. linkes Prooticum | 20. Gelenk des rechten Pterygoids |
| 8. rechtes Opisthoticum | 21. Querflügel des rechten Pterygoids |
| 9. Basioccipitale | 22. rechtes Palatinum |
| 10. Basisphenoid | 23. rechter Praevomer |
| 11. linkes Praefrontale | 24. linker Praevomer |
| 12. linkes Lacrymale | 25. Vomer („Parasphenoid“) evtl. ethmoidale Verknöcherung. |
| 13. Praesphenoid | |



1



2

Erklärung der Tafel 25

Photographische Aufnahme im „Trossinger Zimmer“ der geologischen Universitäts-Sammlung Tübingen. Das heruntergebückte Skelett ist *Plateosaurus quenstedti* (Skelett I), vgl. Taf. 24.

Das aufrecht marschierende Skelett ist *Plateosaurus erlenbergiensis* (Skelett II), es ist jedoch zusammengesetzt, hauptsächlich aus zwei Individuen dieser Art, aber ein Teil der Rückenwirbel gehört zu einem Fund von *Plateosaurus quenstedti*.

Auf dem die parallelen Staubwehen in den Knollenmergeln Trossingens nachahmenden Boden liegen unvollständige Skeletteile anderer Arten:

in der Ecke vorne links ist ein Hinterbein von *Plateosaurus quenstedti*;

unter dem aufrecht schreitenden Skelett: *Plateosaurus wetzelianus* n. sp. (Skelett V), Rückenwirbel und Becken unter dem Spazierstock, rechtes Hinterbein weit nach rechts gestreckt, Schwanz unter dem Hinterbein des aufrechten Skeletts. Taf. 12, S. 105;

unter dem Schwanz des aufrechten Skeletts ist Hinterbein und Becken von *Plateosaurus robustus* (Skelett III), dessen Schwanz sich bis unter die Vorderextremitäten des gebückten Skeletts I erstreckt. Taf. 41, S. 204.

rechts unter dem Schwanz des gebückten Skeletts I liegen Becken, Schwanzteile und linkes Hinterbein von *Plateosaurus plieningeri* (Skelett IV), Taf. 38, S. 196.

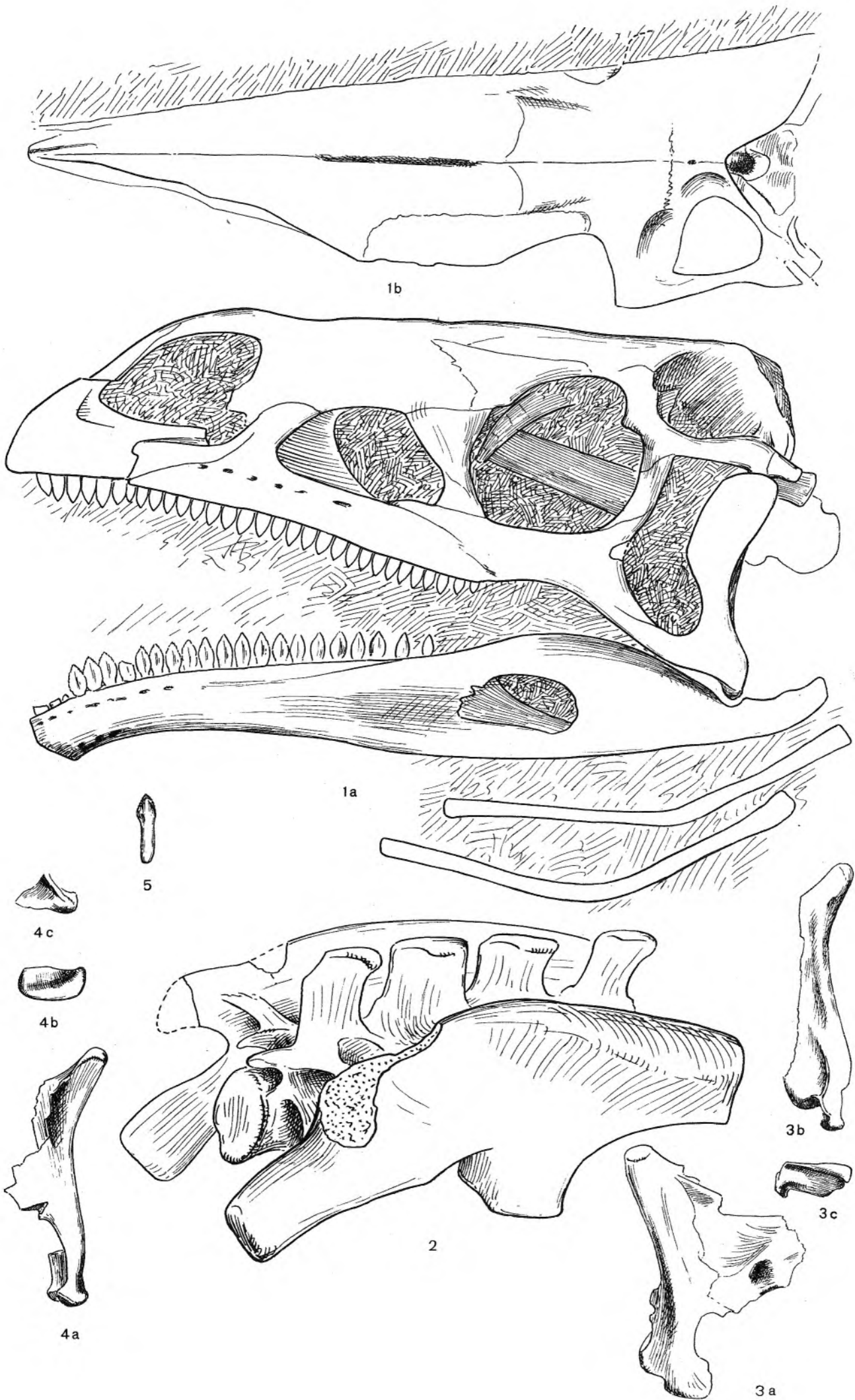


Erklärung der Tafel 26

Plateosaurus quenstedti HUENE aus den Knollenmergeln des oberen Keupers von Halberstadt.

- Fig. 1—2. Fund 24 der JAEKELSchen Grabungen. JAEKELS Original zu *Plateosaurus „longiceps“*. S. 160¹⁾.
Fig. 1. Schädel, *a* von links mit Unterkiefer und Zungenbeinen. 1:2, *b* Dorsalansicht. 1922 gezeichnet, als der Schädel noch im Gestein lag.
Fig. 2. Sacrum und Ilia des gleichen Individuums schräg von links. 1:4.
- Fig. 3—5. Von Fund 25 der JAEKELSchen Grabungen, in Berlin. S. 161.
Fig. 3. Linkes Quadratum 1:2, *a* von medial, *b* von vorn, *c* Gelenkrolle.
Fig. 4. Rechtes Quadratum 1:2, *a* von medial, *b* Gelenkrolle, *c* Gelenkkopf.
Fig. 5. Einzelner Zahn, 1:2.

¹⁾ Dort steht im Text irrtümlich Taf. 24 statt 26.

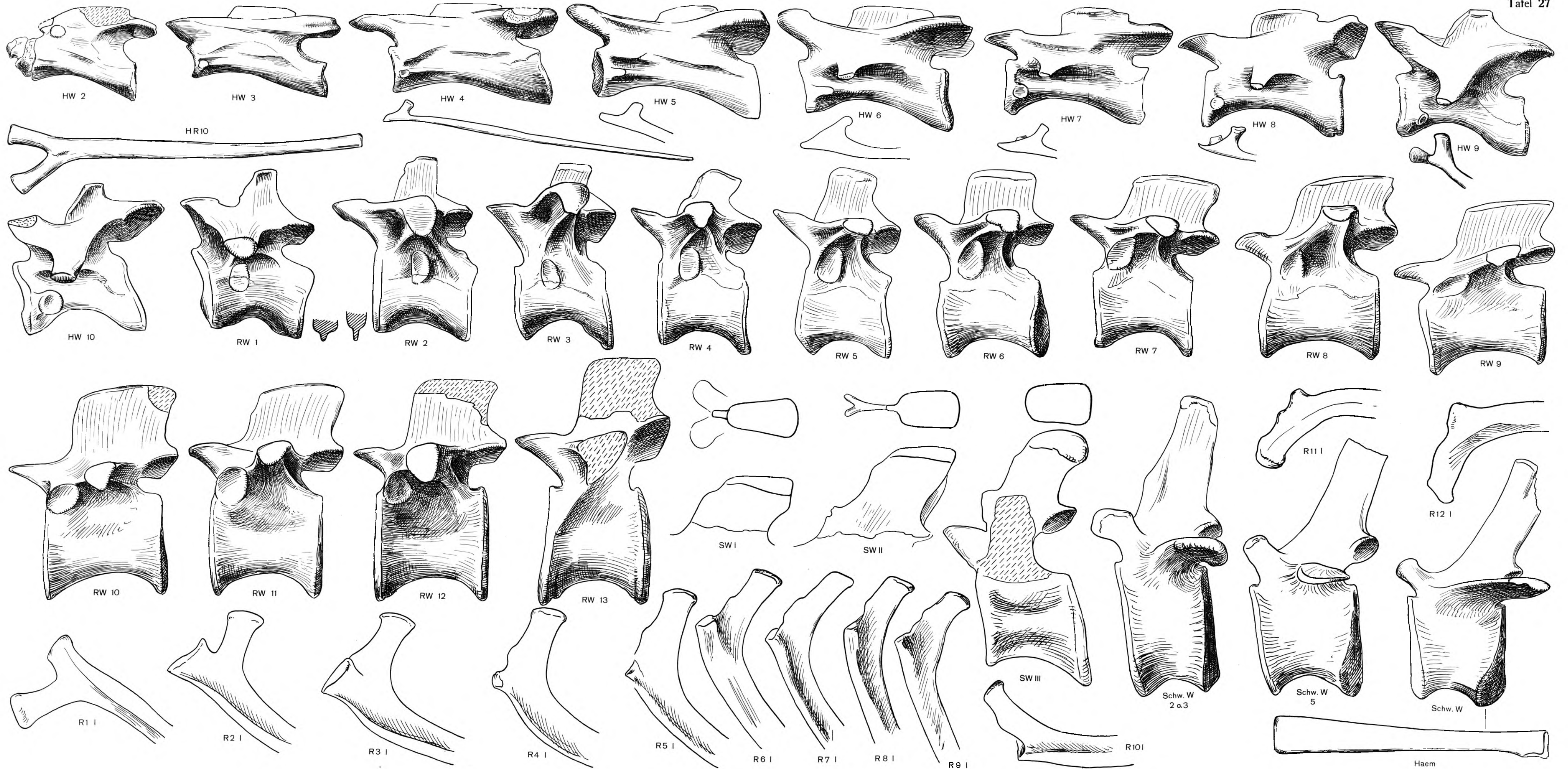


Erklärung der Tafel 27

Alle Abbildungen 1:2 nat. Größe

Art und Herkunft wie Taf. 26, Fund 25 in Berlin. S. 161

- HW 2. Halswirbel 2, von links (wie auch alle folgenden Wirbel).
- HW 3. Halswirbel 3 usw. bis Halswirbel 10, z. T. mit Halsrippen.
- RW 1. Rückenwirbel 1.
- RW 2. Rückenwirbel 2 usw. bis Rückenwirbel „13 oder 14“.
- SW I und II. Neuralbogenteile der beiden ersten Sacralwirbel von der Seite und oben.
- SW III. Sacralwirbel III von der Seite und Dornfortsatz von oben.
- Schw.W 2 oder 3. Vorderer Schwanzwirbel.
- Schw.W ca. 5. Etwa 5. Schwanzwirbel.
- Schw.W. Mittlerer Schwanzwirbel mit Haemapophyse (darunter).
- Hr. 10. 10. linke Halsrippe.
- R 1 bis R 12. Linke Rückenrippen 1—12.

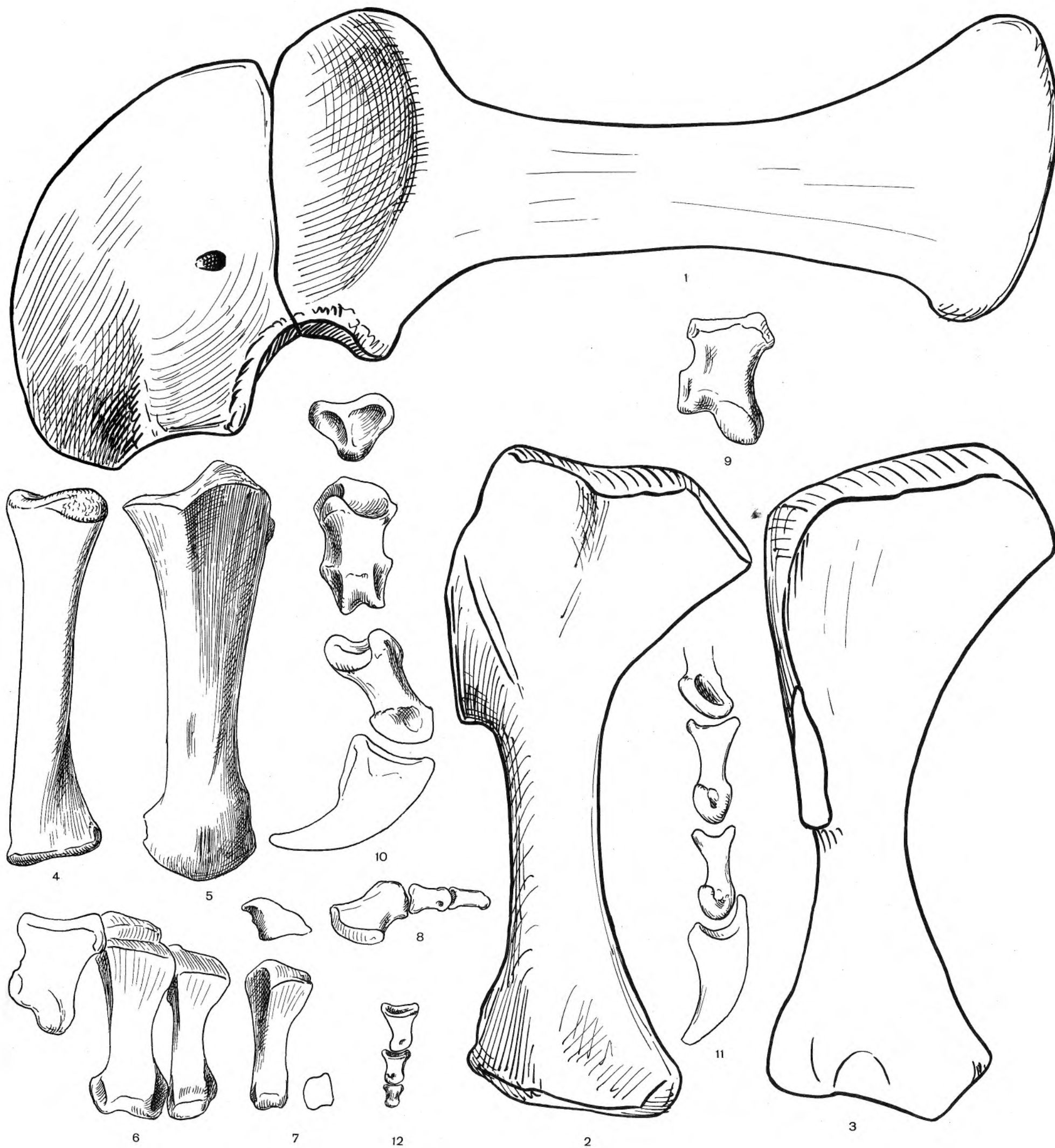


Erklärung der Tafel 28

Alle Abbildungen 1 : 2 nat. Größe

Gleicher Fund wie Taf. 27.

- Fig. 1. Linke Scapula mit Coracoid von der Seite.
- Fig. 2. Linker Humerus von hinten.
- Fig. 3. Rechter Humerus von vorn.
- Fig. 4. Linker Radius.
- Fig. 5. Linke Ulna.
- Fig. 6. Linkes Metacarpale I—III von vorn im Zusammenhang mit Trapezoid.
- Fig. 7. Linkes Metacarpale IV von vorn mit beiden Endflächen.
- Fig. 8. Linkes Metacarpale V mit zwei Phalangen.
- Fig. 9. Genauere Ansicht von Metacarpale I.
- Fig. 10. Die Phalangen des 1. Fingers, *a* beide Phalangen von lateral, *b* Phalange I, 1 von vorn, *c* Phalange I, 1 von oben.
- Fig. 11. Die Phalangen des 3. Fingers mit Ende des Metacarpale von lateral.
- Fig. 12. Die drei ersten Phalangen des 4. Fingers von lateral.

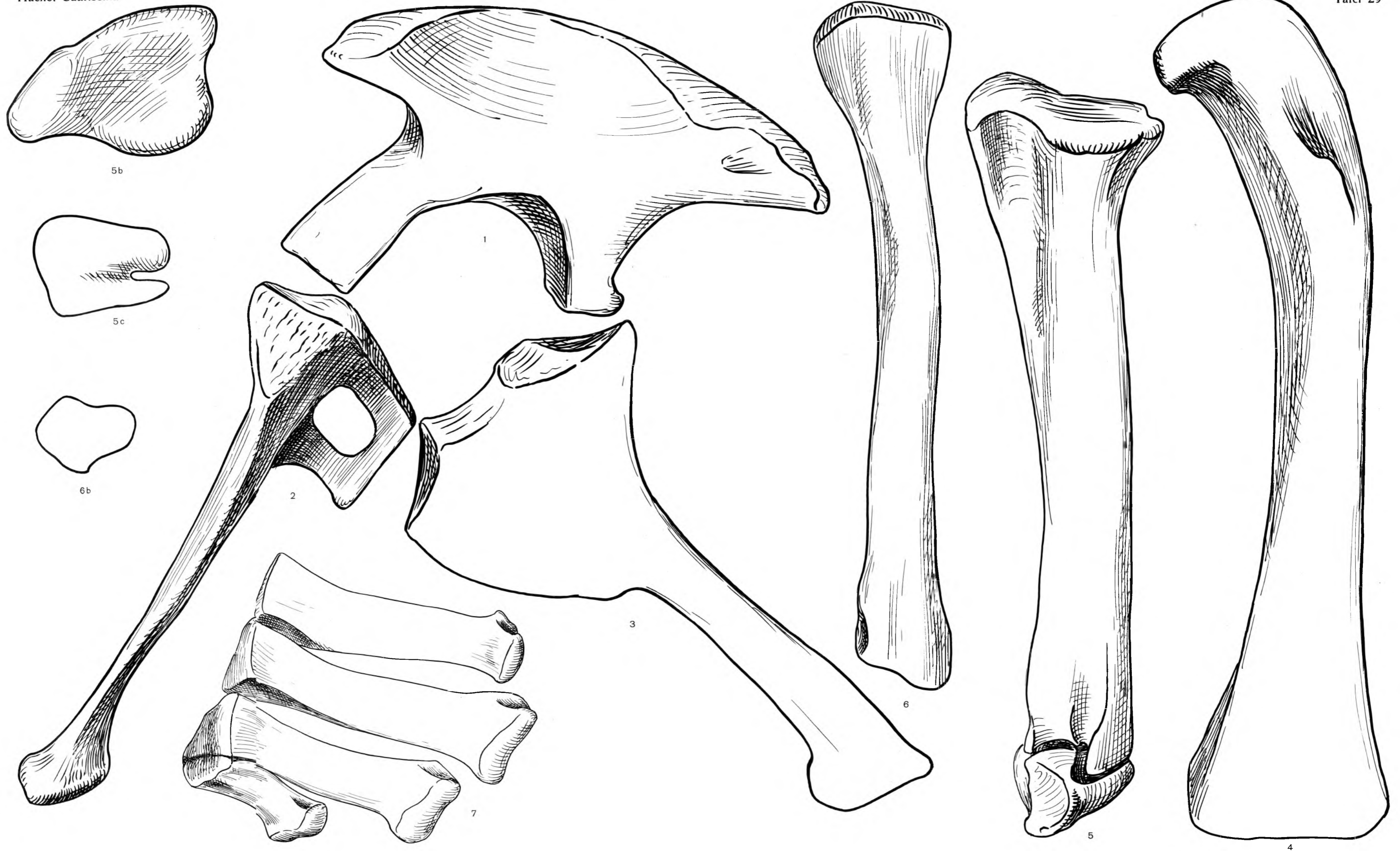


Erklärung der Tafel 29

Alle Abbildungen 1 : 2 nat. Größe

Art und Fund wie Taf. 27 und 28

- Fig. 1. Linkes Ilium von lateral.
- Fig. 2. Linkes Pubis von lateral.
- Fig. 3. Linkes Ischium von lateral.
- Fig. 4. Linkes Femur von vorn.
- Fig. 5. Linke Tibia, *a* von lateral mit Astragalus, *b* von oben, *c* von unten.
- Fig. 6. Linke Fibula, *a* von lateral, *b* distale Fläche.
- Fig. 7. Linke Metatarsalia I—IV von vorn.

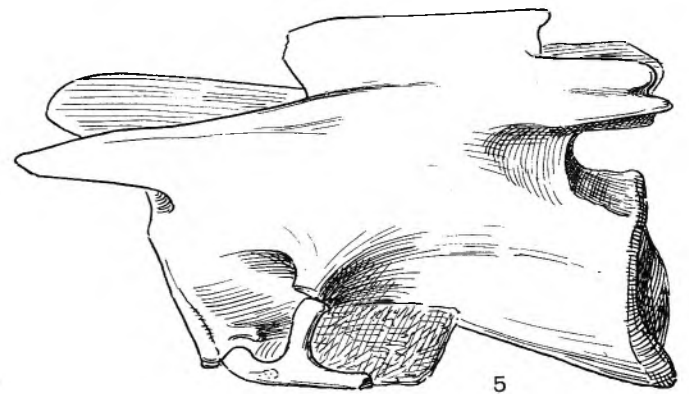
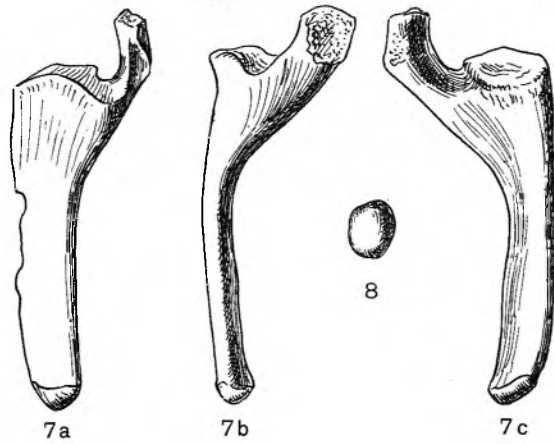
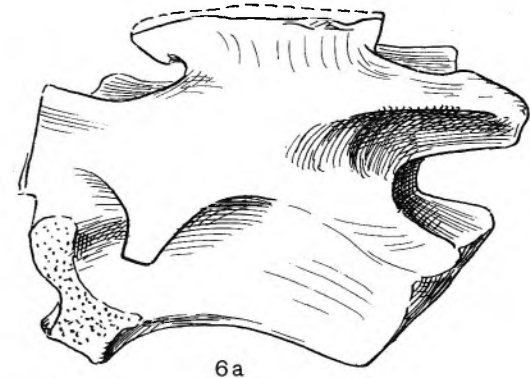
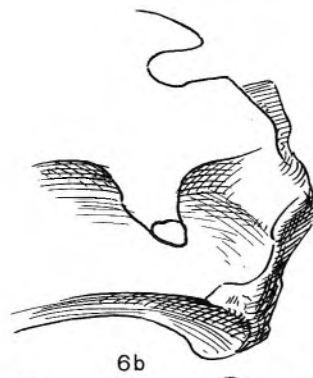
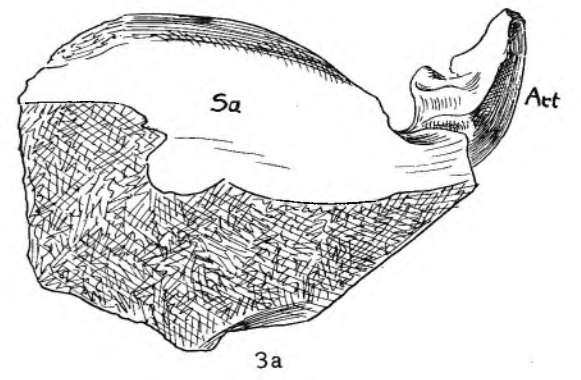
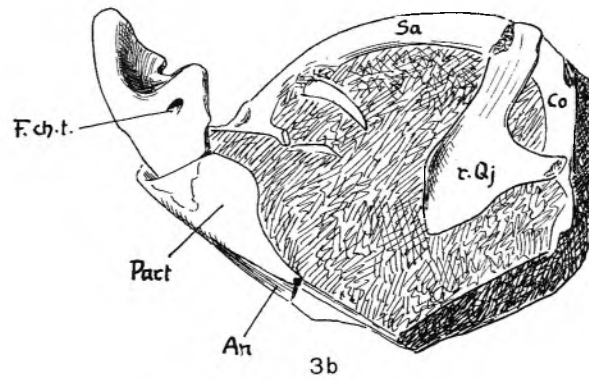
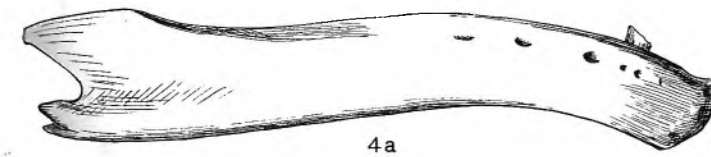
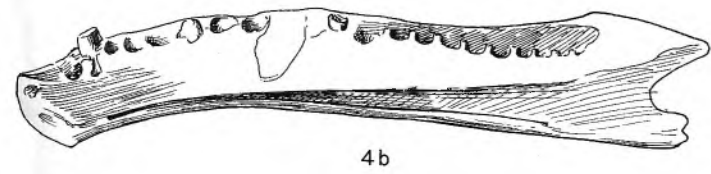
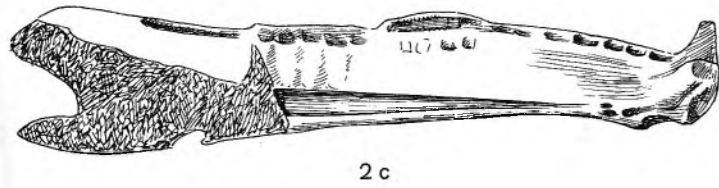
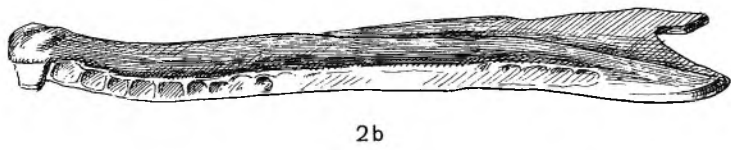
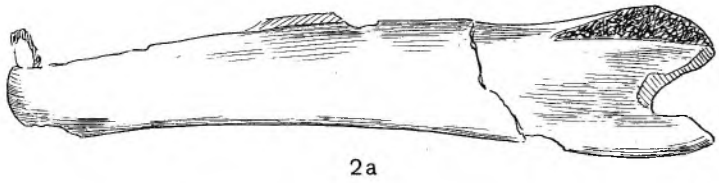
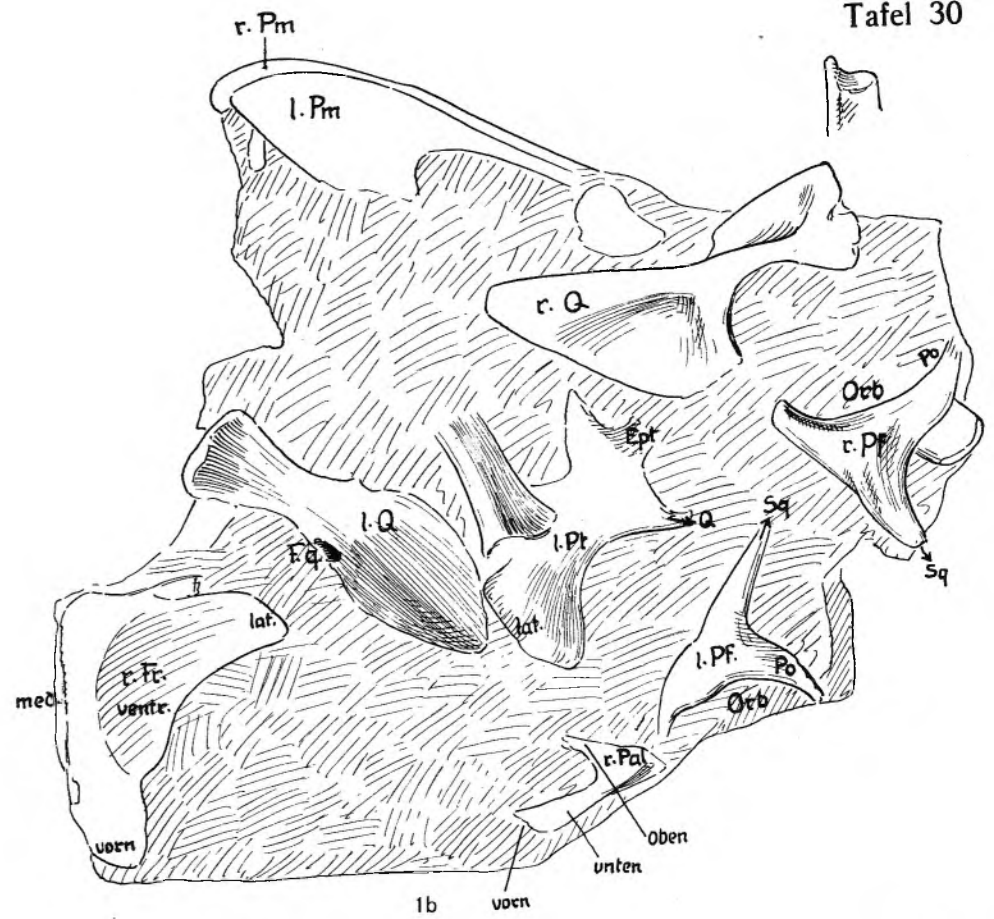
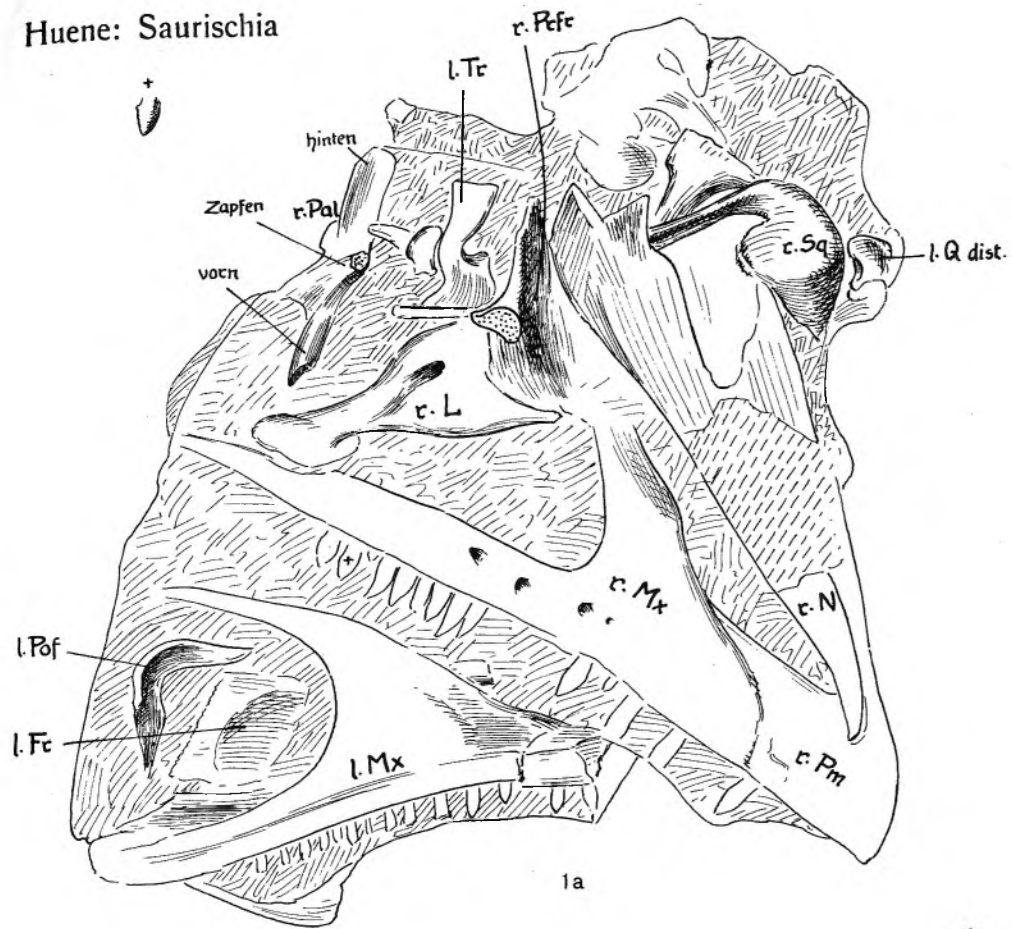


Erklärung der Tafel 30

Alle Abbildungen 1 : 2 nat. Größe

Plateosaurus erlenbergiensis HUENE aus den Knollenmergeln des oberen Keupers der Oberen Mühle von Trossingen (Fund 12950 der Naturaliensammlung, Stuttgart). S. 176.

- Fig. 1. Macerierter Schädel von zwei Seiten (*a* und *b*), *c* einzelner Zahn, mit + bezeichnet, *d* Gelenkrolle des rechten Quadratus.
- Fig. 2. Linkes Dentale, *a* von lateral, *b* von oben, *c* von medial.
- Fig. 3. Hintere Hälfte des linken Unterkiefers, *a* von lateral, *b* von medial.
- Fig. 4. Rechtes Dentale, *a* von lateral, *b* von medial.
- Fig. 5. Halswirbel 5 von links.
- Fig. 6. Halswirbel 6, *a* von links, *b* von rechts.
- Fig. 7. Rechte 15. Dorsalrippe, *a* von oben, *b* von vorn, *c* von unten.
- Fig. 8. Fuß-Phalange V, 3 (Endphalange) rechts.

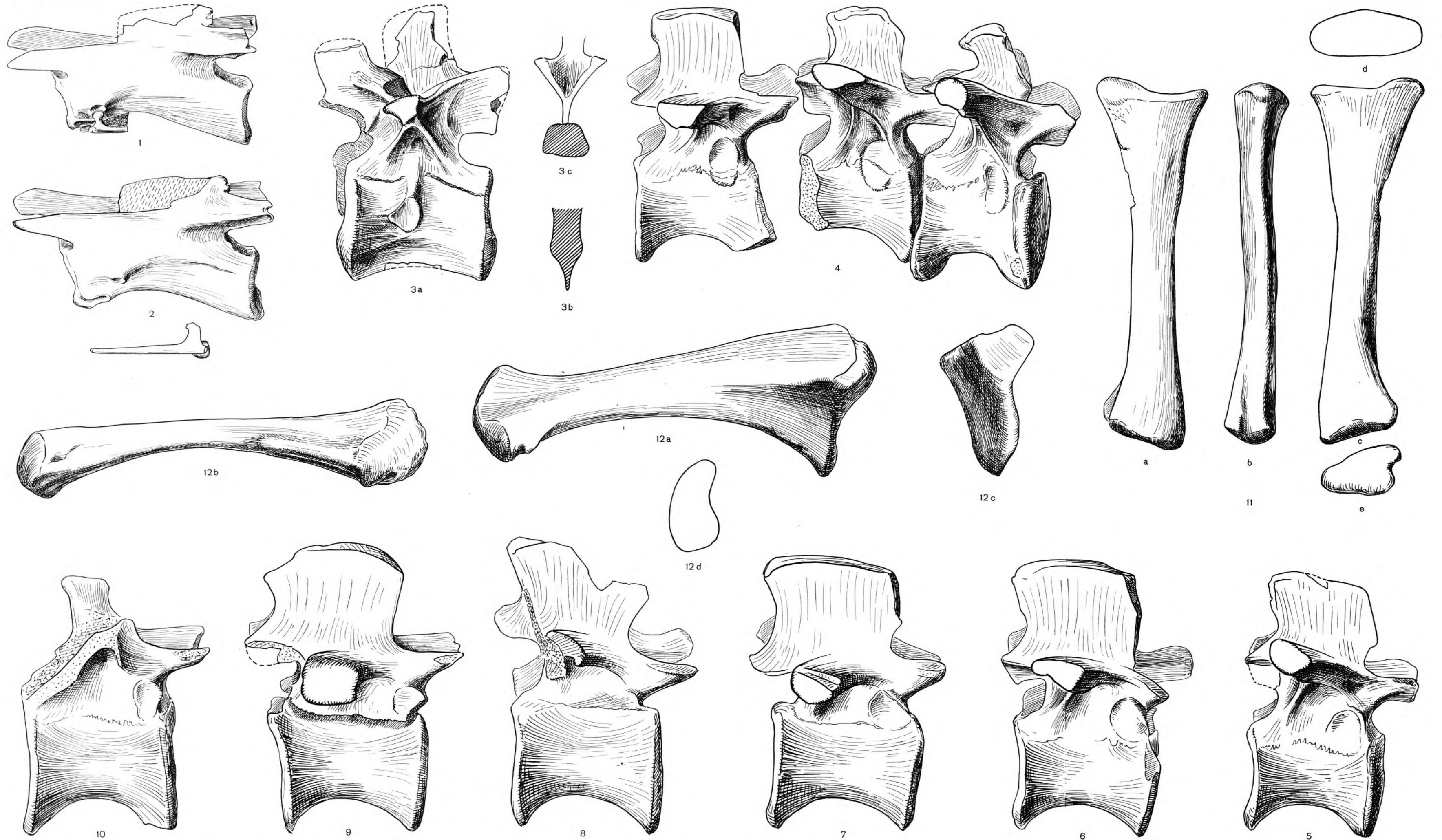


Erklärung der Tafel 31

Alle Abbildungen 1:2 nat. Größe

Gleicher Fund wie Taf. 30

- Fig. 1. Halswirbel 3 von links.
- Fig. 2. Halswirbel 4 von links mit rechter Halsrippe.
- Fig. 3. Rückenwirbel 1, *a* von links, *b* Querschnitt in der Mitte des Centrums, *c* Neuralbogen von hinten.
- Fig. 4. Rückenwirbel 3—5 von rechts.
- Fig. 5. Rückenwirbel 6 von rechts.
- Fig. 6. Rückenwirbel 7 von rechts.
- Fig. 7. Rückenwirbel 8 von rechts.
- Fig. 8. Rückenwirbel 9 von rechts.
- Fig. 9. Rückenwirbel 10 von rechts.
- Fig. 10. Rückenwirbel 11 von rechts.
- Fig. 11. Rechter Radius, *a* von lateral, *b* von hinten, *c* von medial, *d* proximale Fläche, *e* distale Fläche.
- Fig. 12. Rechte Ulna, *a* von lateral, *b* von vorn, *c* proximale Fläche, *d* distale Fläche.

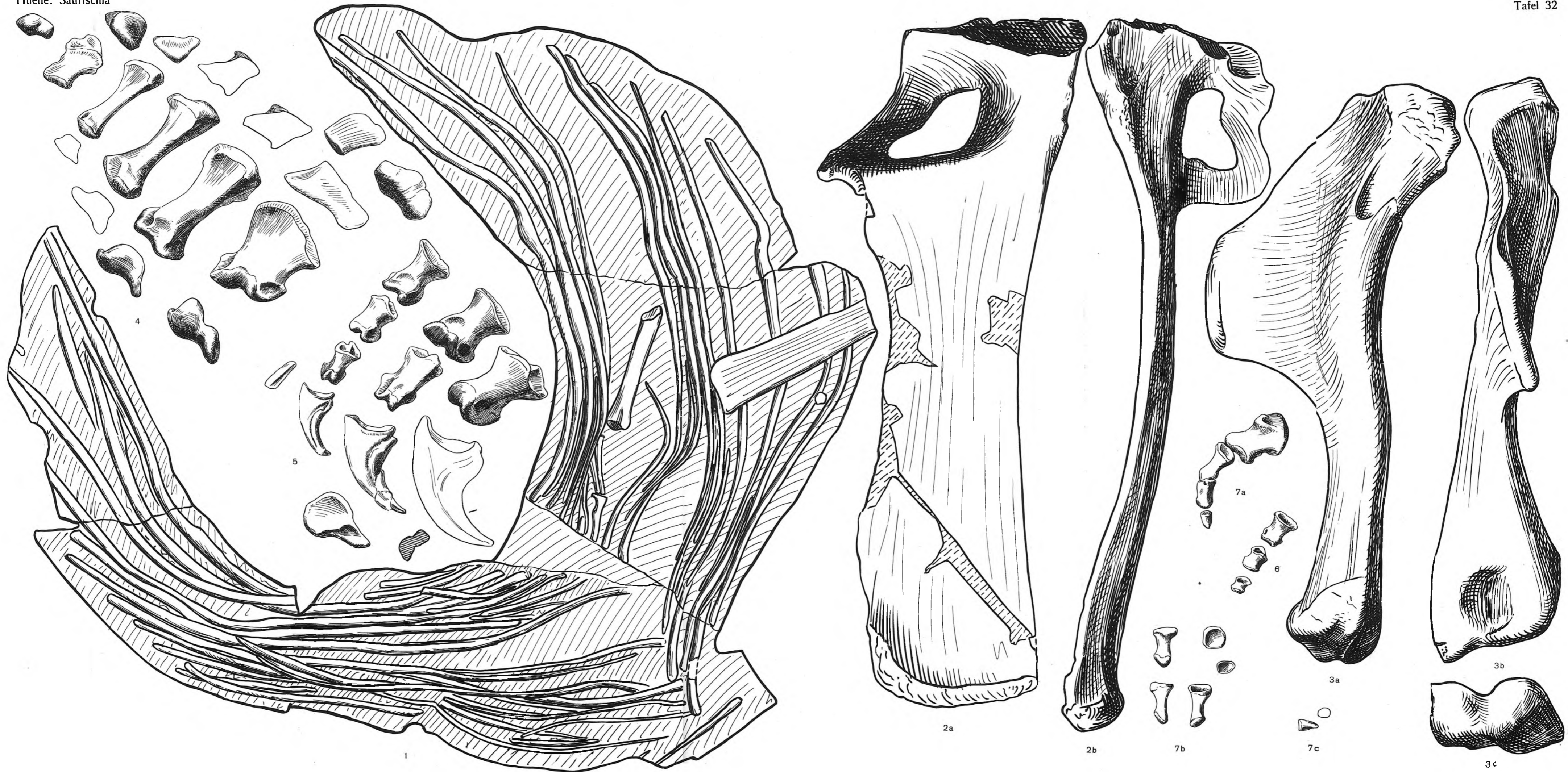


Erklärung der Tafel 32

Alle Abbildungen 1:2 nat. Größe

Gleicher Fund wie Taf. 30 und 31

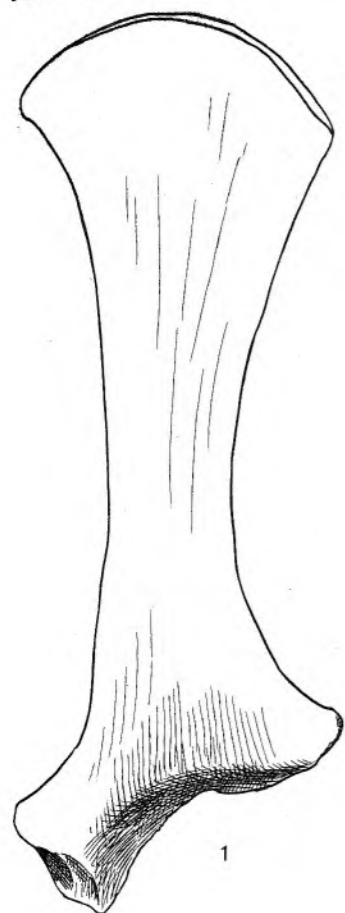
- Fig. 1. Gastralia.
- Fig. 2. Linkes Pubis, *a* von dorsal, *b* von lateral.
- Fig. 3. Rechter Humerus, *a* von medial, *b* von lateral, *c* distale Fläche.
- Fig. 4. Die Metacarpalia der rechten Hand mit Ober- und Unteransichten, sowie die beiden ersten Carpalia auf Metacarpale I und II.
- Fig. 5. Die Phalangen der drei ersten Finger der rechten Hand.
- Fig. 6. Die drei ersten Phalangen des 4. Fingers der rechten Hand.
- Fig. 7. *a* 5. Finger der rechten Hand mit allen Phalangen, *b* Phalange V, 1 von oben, unten und seitlich, und proximale Gelenkfläche, sowie proximale Gelenkfläche der Phalange V, 2, *c* Endphalange des 5. Fingers von der Seite und von proximal.



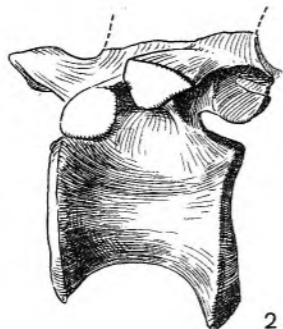
Erklärung der Tafel 33

Alle Abbildungen 1:4 nat. Größe

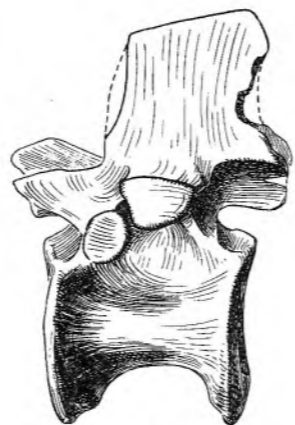
- Fig. 1. Gleicher Fund wie Taf. 30—32, rechte Scapula.
- Fig. 2—10. *Plateosaurus erlenbergiensis* HUENE aus den Knollenmergeln der Oberen Mühle bei Trossingen (Fund 13200b in der Naturaliensammlung, Stuttgart). S. 181.
- Fig. 2. Rückenwirbel 11 von links mit Hinteransicht des Zygosphens.
- Fig. 3. Rückenwirbel 12 von links.
- Fig. 4. Rückenwirbel 13 von links.
- Fig. 5. Rückenwirbel 14, *a* von links, *b* Dornfortsatz von oben, *c* Dornfortsatz von hinten, *d* linke Praezygapophyse von vorn, *e* Dorsalansicht der linken 14. Dorsalrippe, *f* dieselbe von hinten, *g* proximale Ansicht derselben.
- Fig. 6. Rückenwirbel 15 von links mit Hinteransicht des Zygosphens und Oberende des Dornfortsatzes.
- Fig. 7. Sacrum mit beiden Iliä, *a* von links mit Querschnitt des Sacralwirbel III in der Mitte, *b* linkes Illium von oben, *c* von vorn, *d* von oben.
- Fig. 8. Schwanzwirbel 1 und 2 mit 1. vollständigem Intercentrum (= Haemapophyse), *a* von links, *b* von unten.
- Fig. 9. Linker Humerus, *a* von medial, *b* von lateral, *c* distale Fläche.
- Fig. 10. Linke Tibia von lateral.



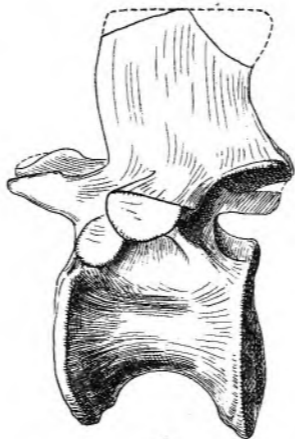
1



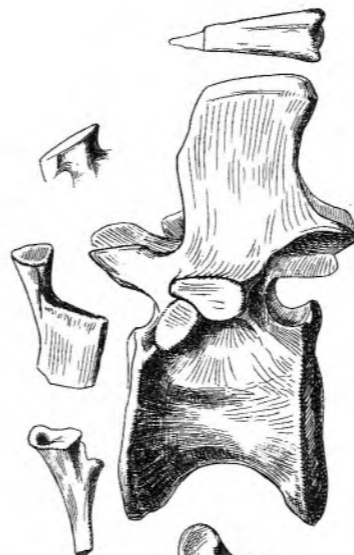
2



3



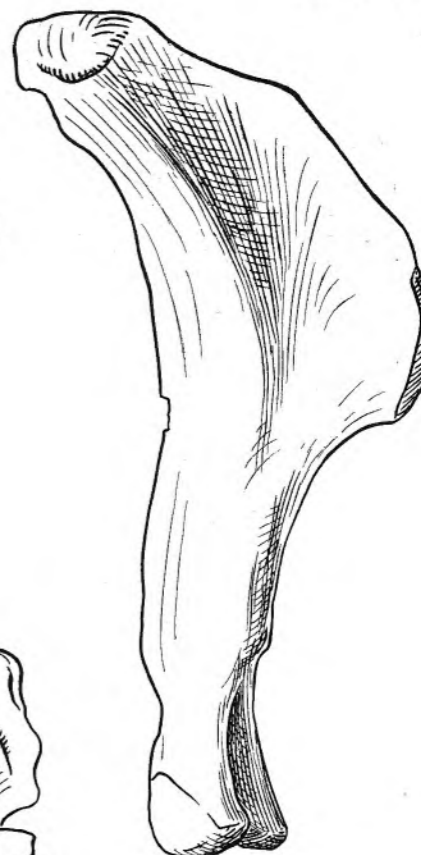
4



5



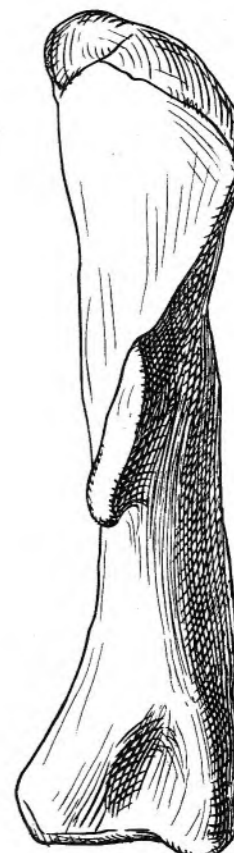
6



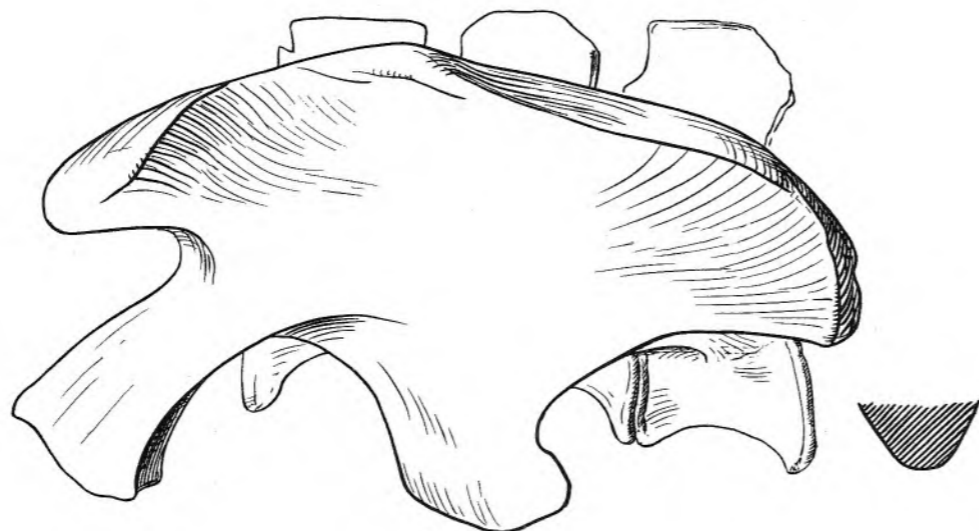
9a



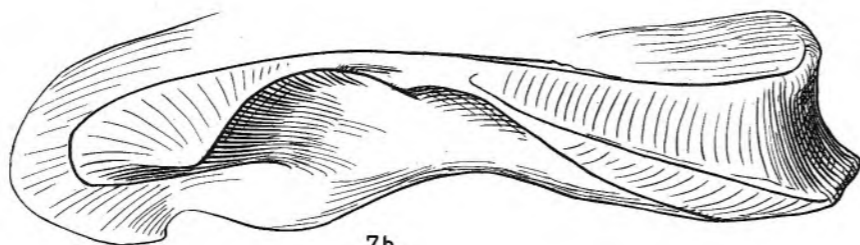
9c



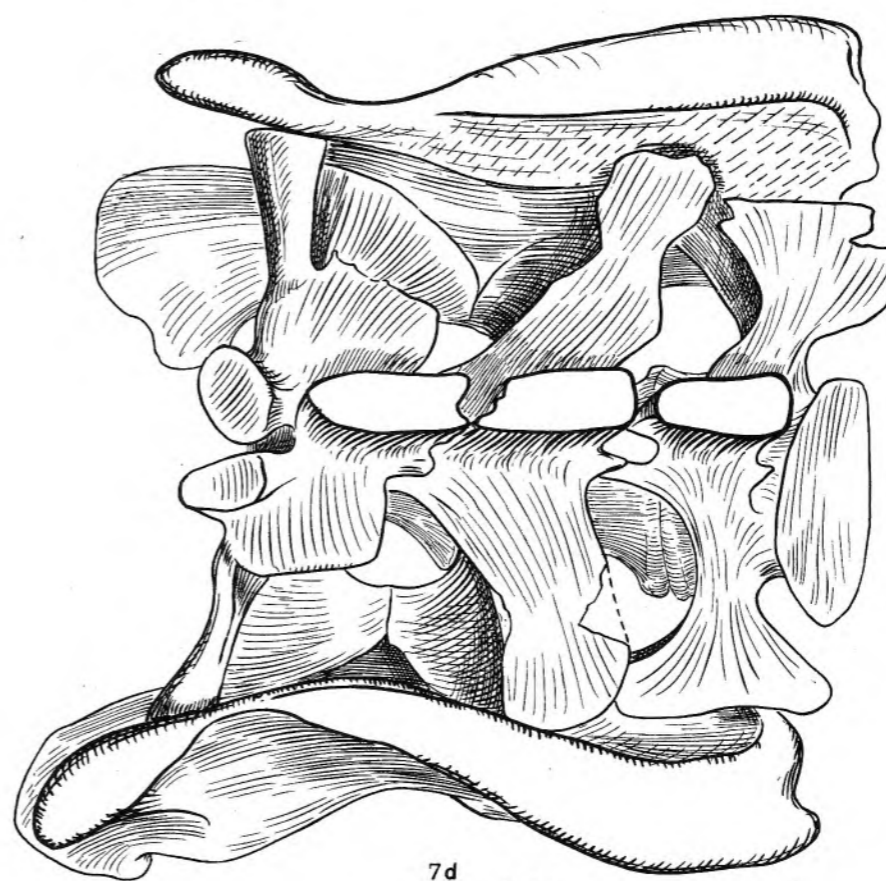
9b



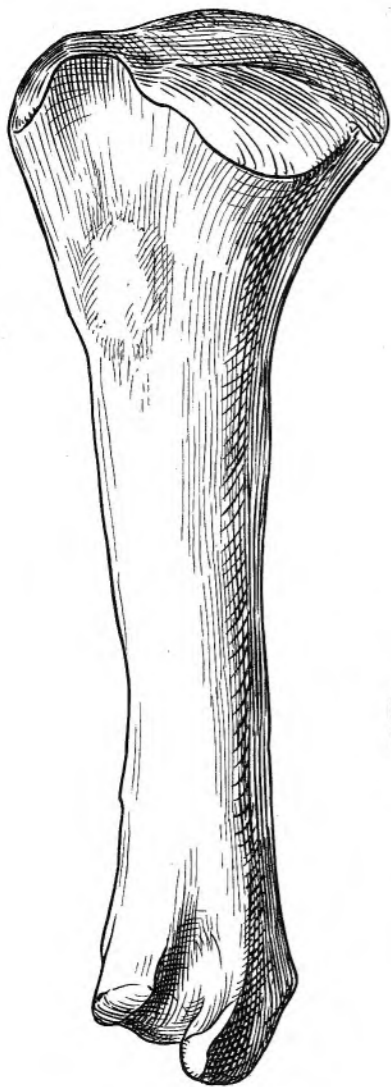
7a



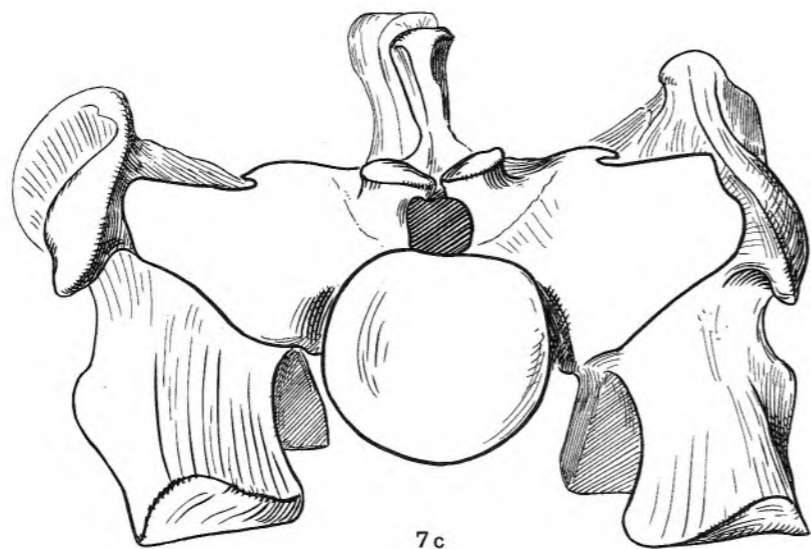
7b



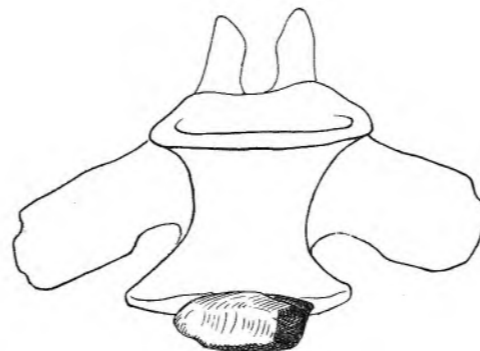
7d



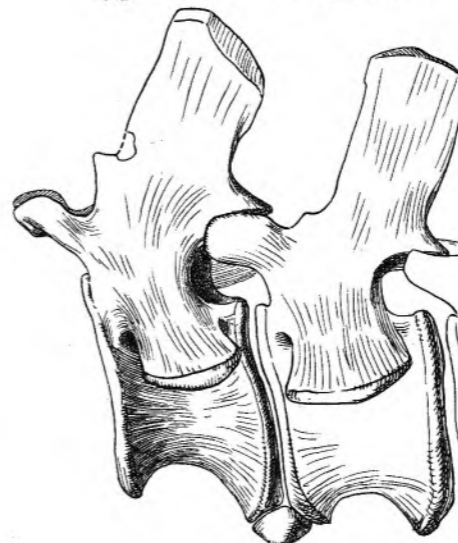
10



7c



8b



8a

Erklärung der Tafel 34

Alle Abbildungen 1:4 nat. Größe

- Fig. 1—7. *Plateosaurus erlenbergiensis* HUENE aus den Knollenmergeln des oberen Keupers von Halberstadt, Fund 45 (zwei Individuen). S. 183.
- Fig. 1. Rechtes Femur (groß), *a* von medial mit distaler Fläche, *b* von lateral mit proximaler Fläche.
 - Fig. 2. Rechte Fibula (groß), *a* von medial mit distaler Fläche, *b* von lateral mit proximaler Fläche.
 - Fig. 3. Rechte Tibia (klein) von lateral.
 - Fig. 4. Rechte Fibula (klein) *a* von medial, *b* von vorn.
 - Fig. 5. Rechter Humerus (klein), *a* von lateral, *b* von vorn.
 - Fig. 6. Rechte Ulna von lateral mit proximaler Fläche.
 - Fig. 7. Rechter Radius, *a* von medial, *b* von lateral, *c* proximale Fläche.
- Fig. 8—11. Art (?) und Herkunft wie Fig. 1—7, Fund Nr. 27. S. 186.
- Fig. 8. Rechtes Femur von hinten.
 - Fig. 9. Rechte Tibia, *a* von lateral, *b* proximale Fläche.
 - Fig. 10. Rechtes Ilium von lateral.
 - Fig. 11. Drei Haemapophysen von links.

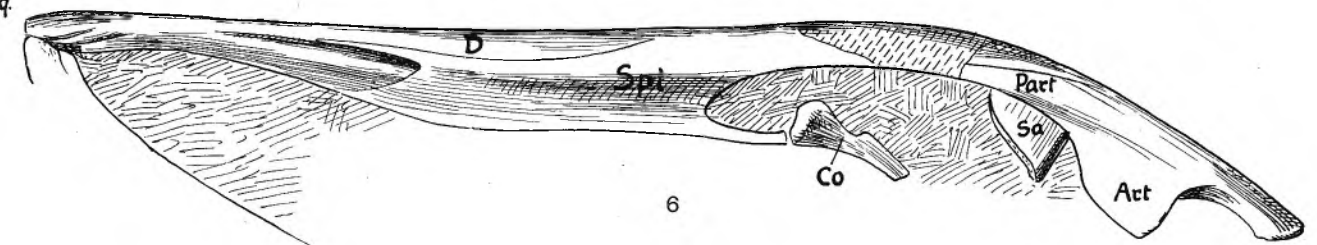
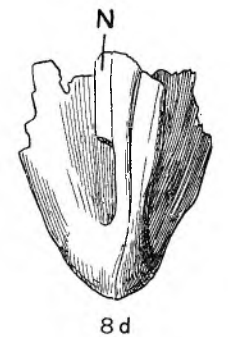
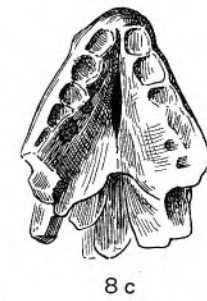
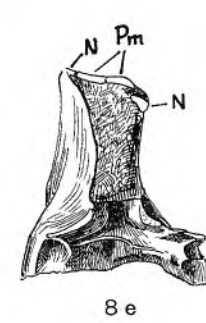
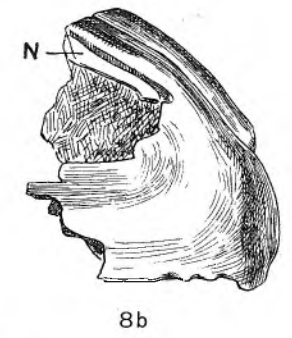
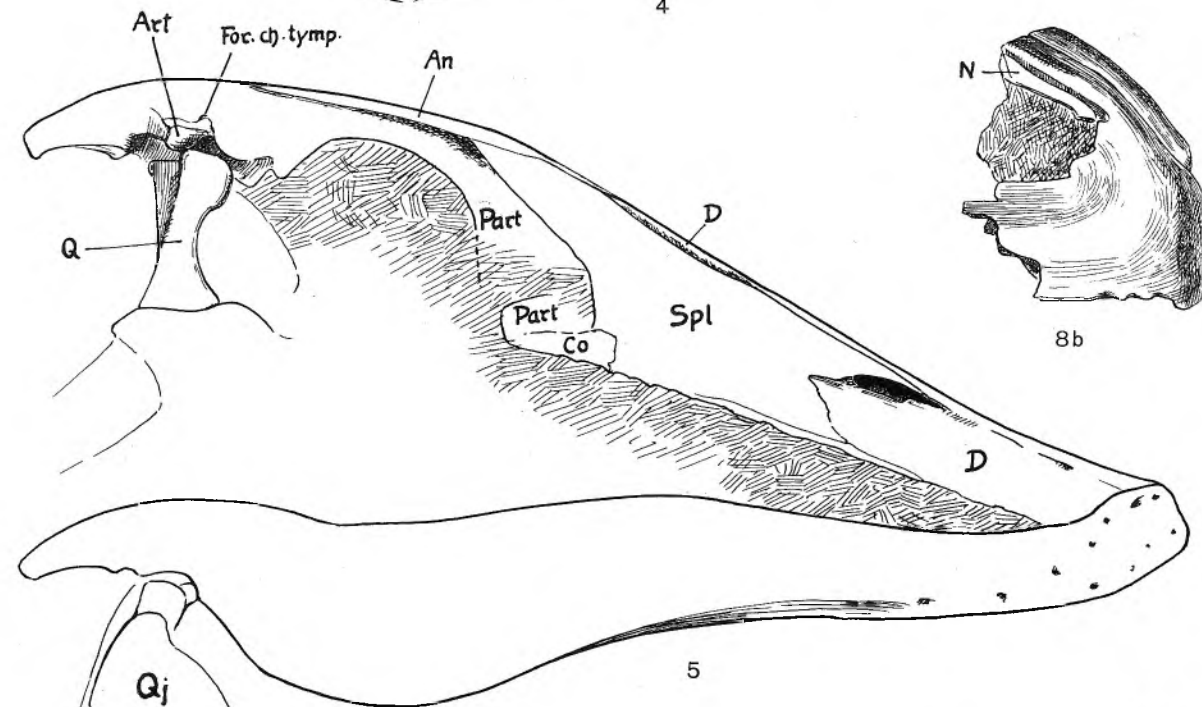
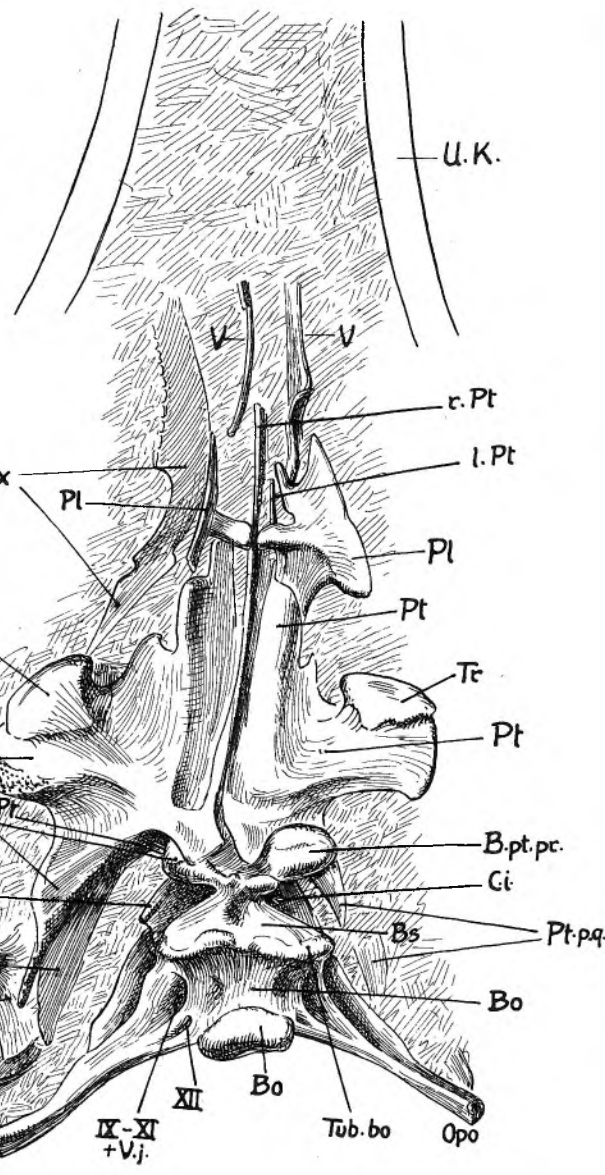
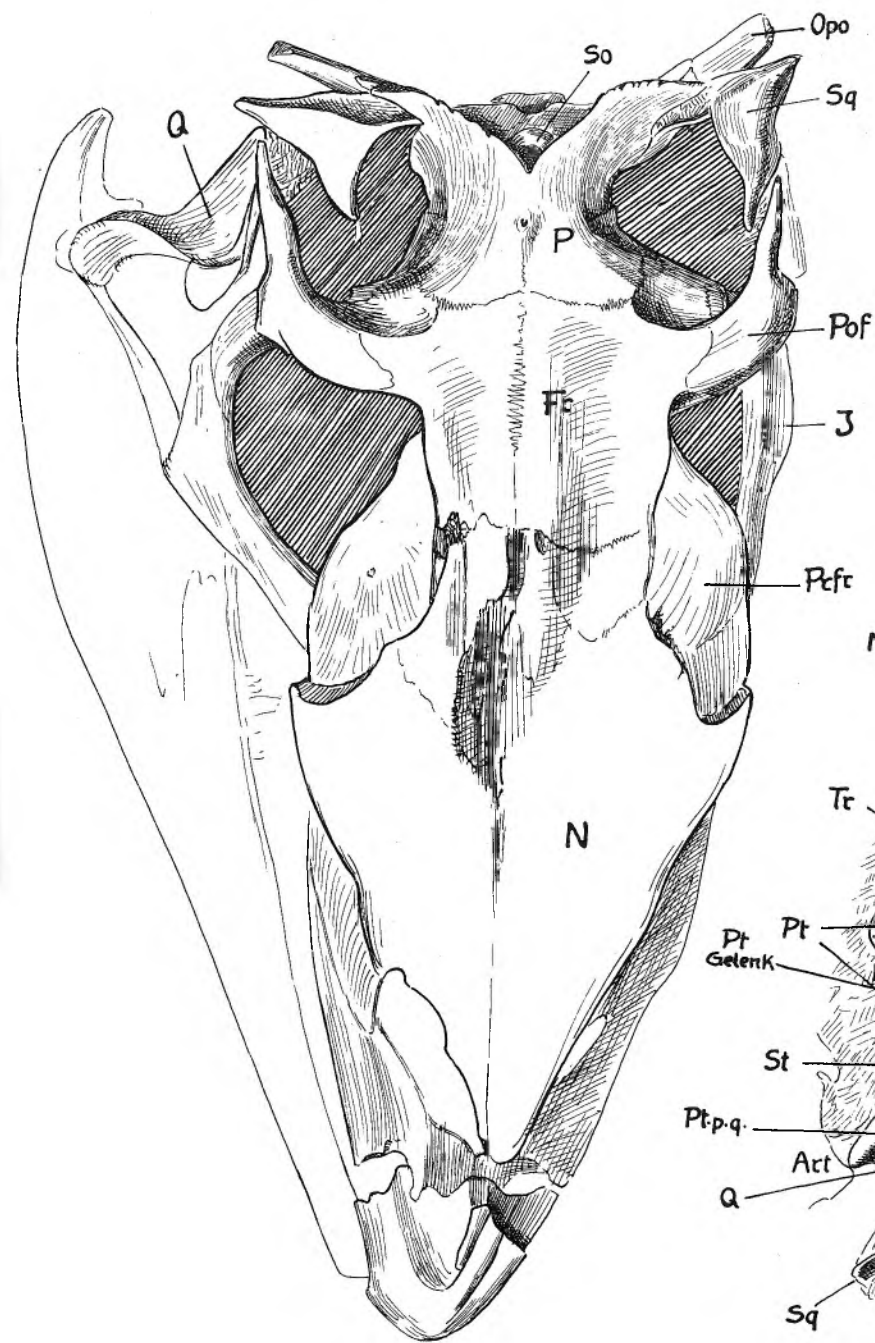
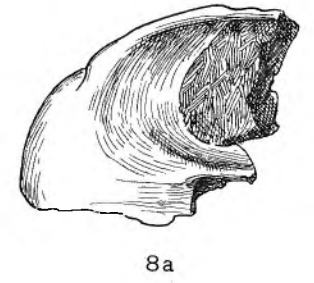
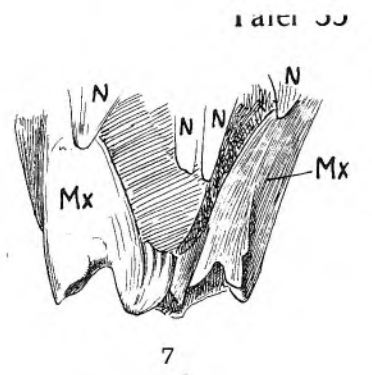
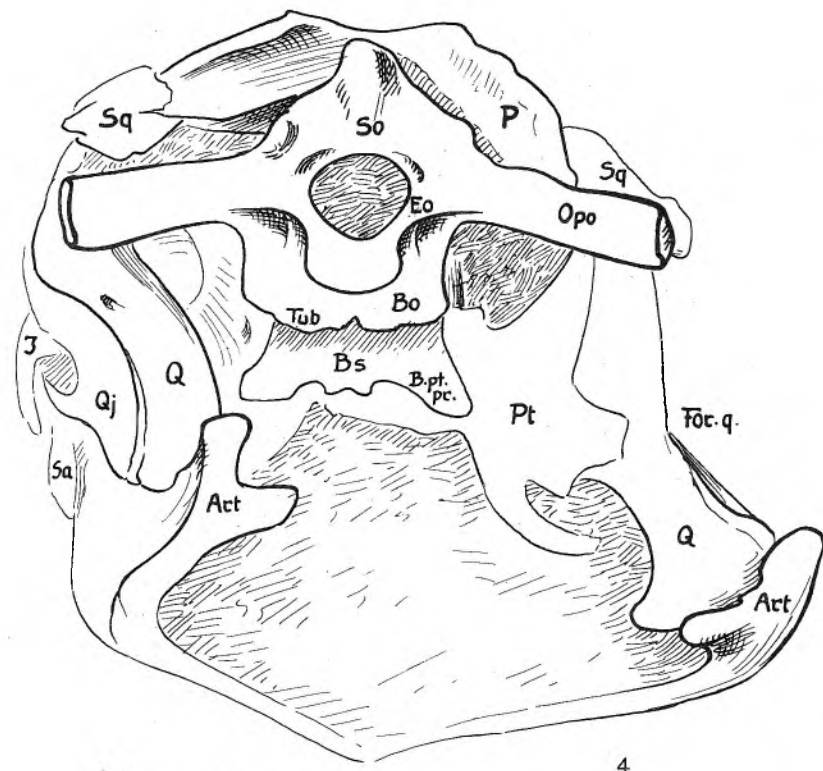
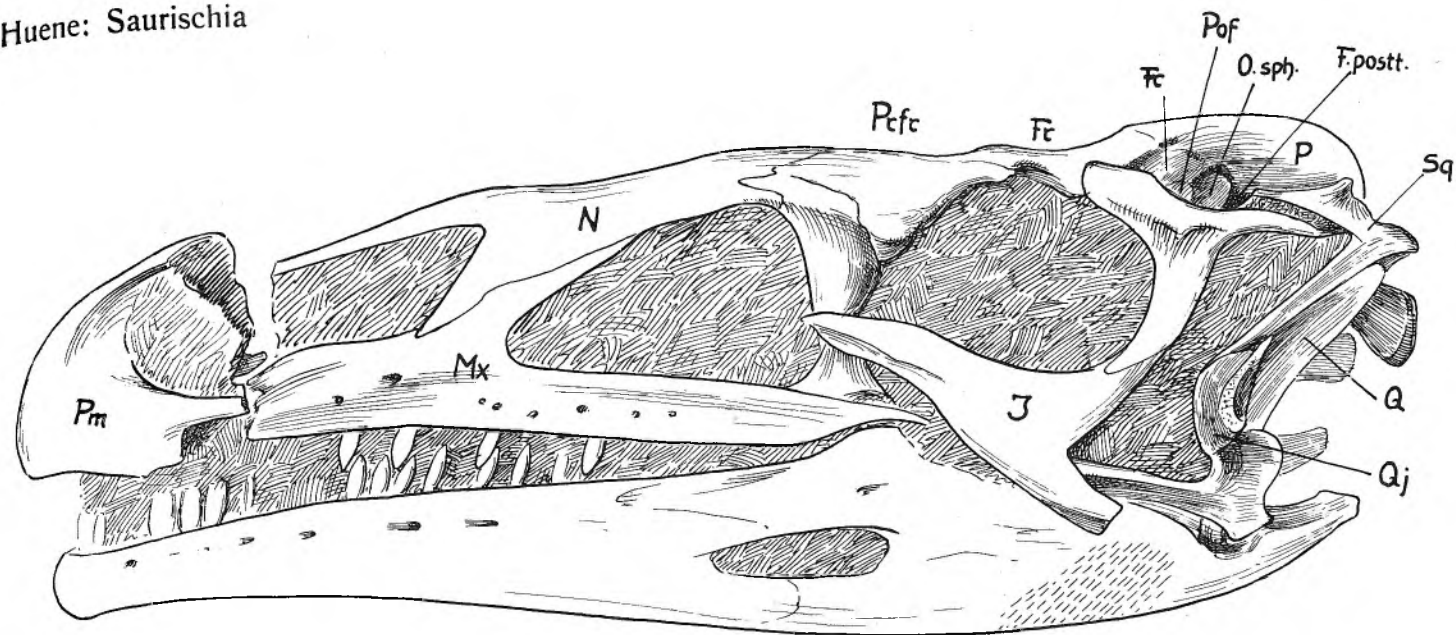


Erklärung der Tafel 35

Alle Abbildungen 1:2 nat. Größe

Plateosaurus plieningeri HUENE aus den Knollenmergeln der Oberen Mühle von Trossingen, Fund 12949 in der Naturaliensammlung, Stuttgart. S. 187.

- Fig. 1. Schädel von links.
- Fig. 2. Dorsale Schädelansicht.
- Fig. 3. Gaumenansicht.
- Fig. 4. Schädel von hinten.
- Fig. 5. Unterkiefer von unten und innen.
- Fig. 6. Linker Unterkieferast von unten.
- Fig. 7. Vorderende der Maxillen in dorsaler Ansicht.
- Fig. 8. Praemaxillen, *a* von links, *b* von rechts, *c* von ventral, *d* von dorsal, *e* von hinten (Spitzen der Nasalia sichtbar wie auf *b* und *d*).

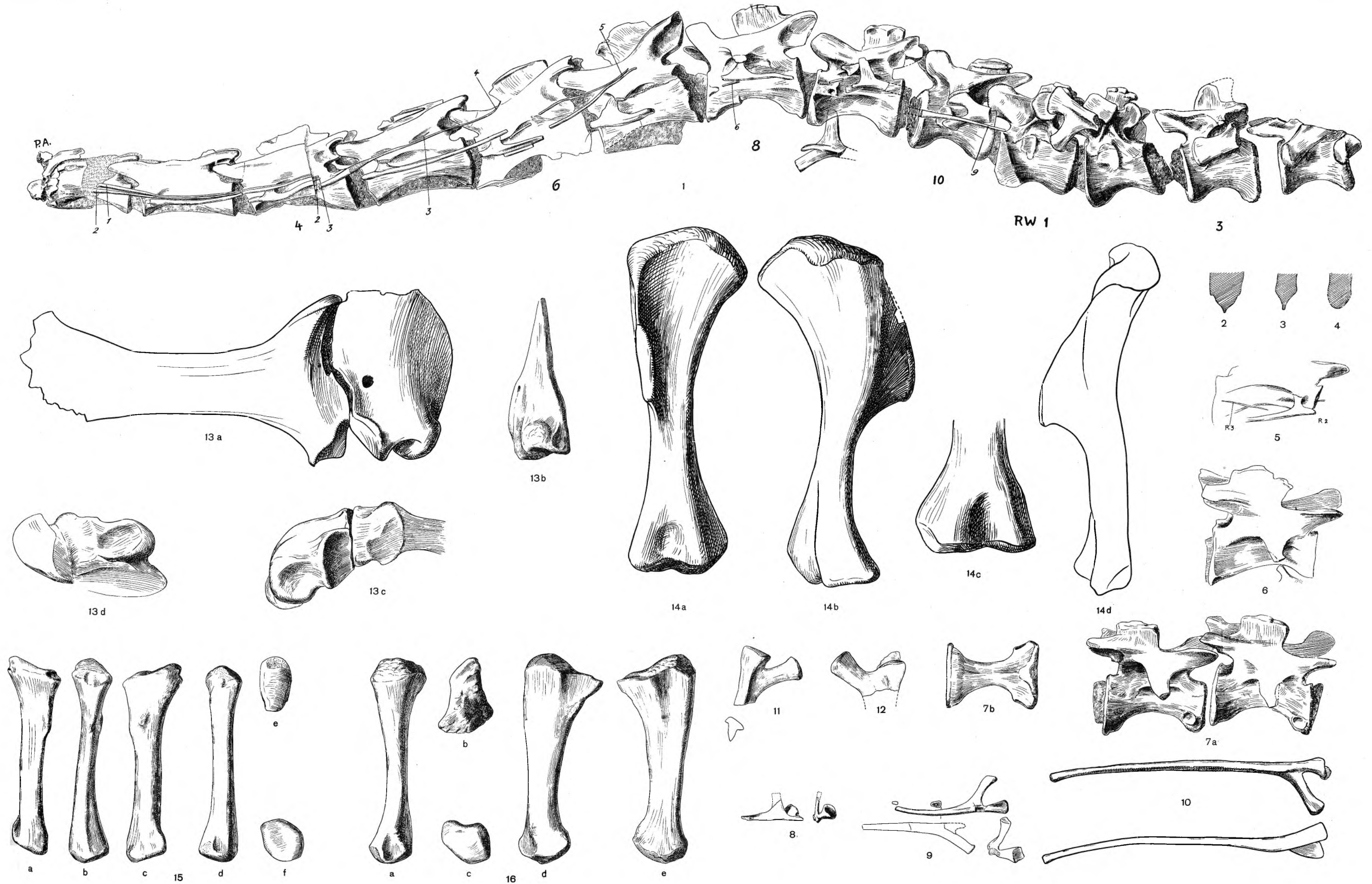


Erklärung der Tafel 36

Alle Abbildungen 1:4 nat. Größe

Gleicher Fund wie Taf. 35

- Fig. 1. Halswirbel 1 bis Rückenwirbel 4 von links. Die Halsrippen sind numeriert.
- Fig. 2. Querschnitt durch die Mitte des Halswirbelkörpers 10.
- Fig. 3. Querschnitt durch die Mitte des Rückenwirbelkörpers 1.
- Fig. 4. Querschnitt durch die Mitte des Rückenwirbelkörpers 2.
- Fig. 5. Halswirbel 5 mit Halsrippe von rechts.
- Fig. 6. Halswirbel 7 von rechts.
- Fig. 7. Halswirbel 8 und 9, *a* von rechts, *b* Halswirbel 9 von unten.
- Fig. 8. Halsrippe 8.
- Fig. 9. Halsrippe 9.
- Fig. 10. Halsrippe 10.
- Fig. 11. Dorsalrippe 1.
- Fig. 12. Dorsalrippe 2.
- Fig. 13. Rechte Scapula und Coracoid, *a* von lateral, *b* Coracoid von vorn, *c* Gelenk von unten-vorn, *d* Gelenk von unten-hinten.
- Fig. 14. Rechter Humerus in 4 Ansichten.
- Fig. 15. Rechter Radius, *a* von hinten, *b* von lateral, *c* von vorn, *d* von medial, *e* proximale Fläche, *f* distale Fläche.
- Fig. 16. Rechte Ulna, *a* von hinten, *b* proximale Fläche, *c* distale Fläche, *e* von lateral, *f* von medial.



Erklärung der Tafel 37

Alle Abbildungen 1 : 2 nat. Größe

Gleicher Fund wie Taf. 35 und 36

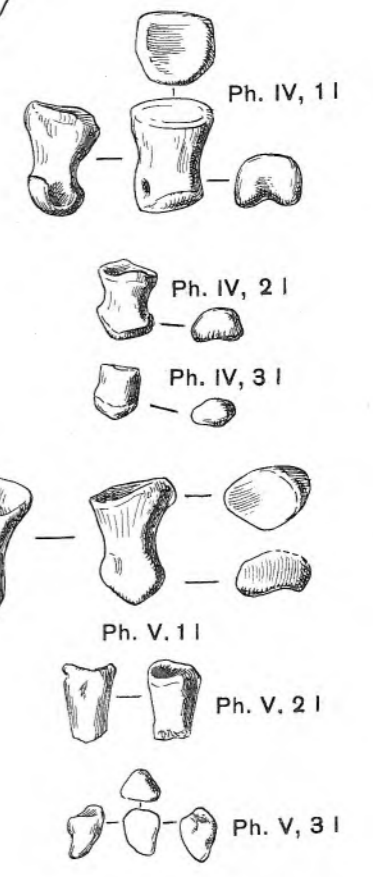
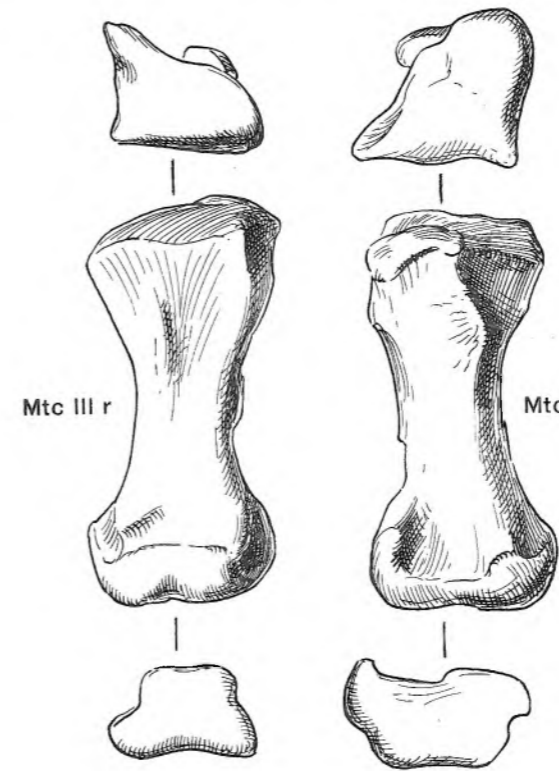
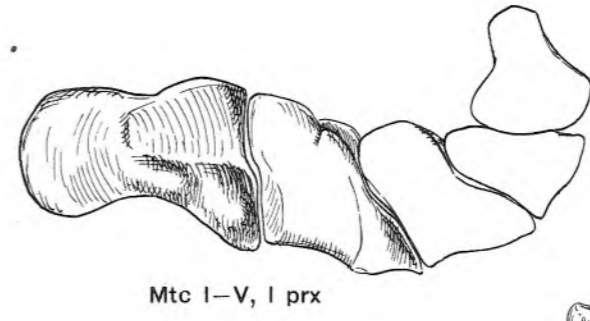
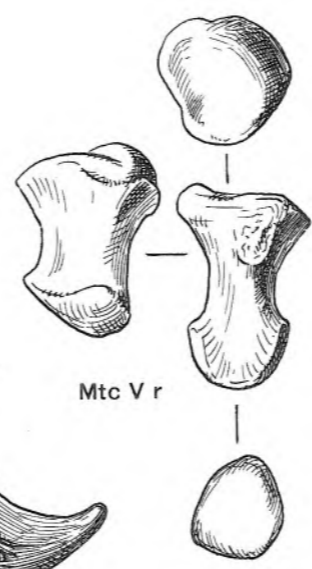
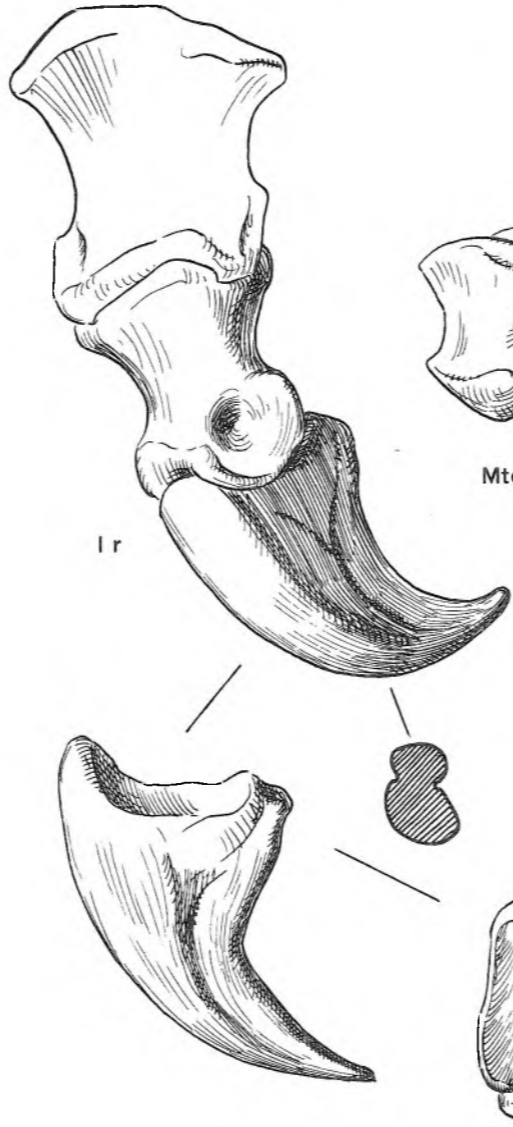
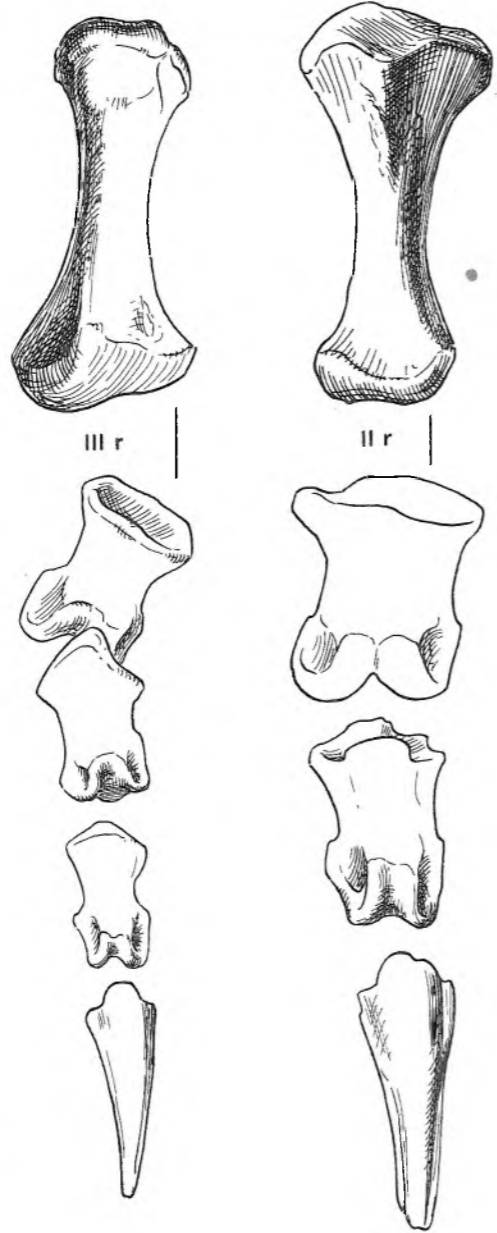
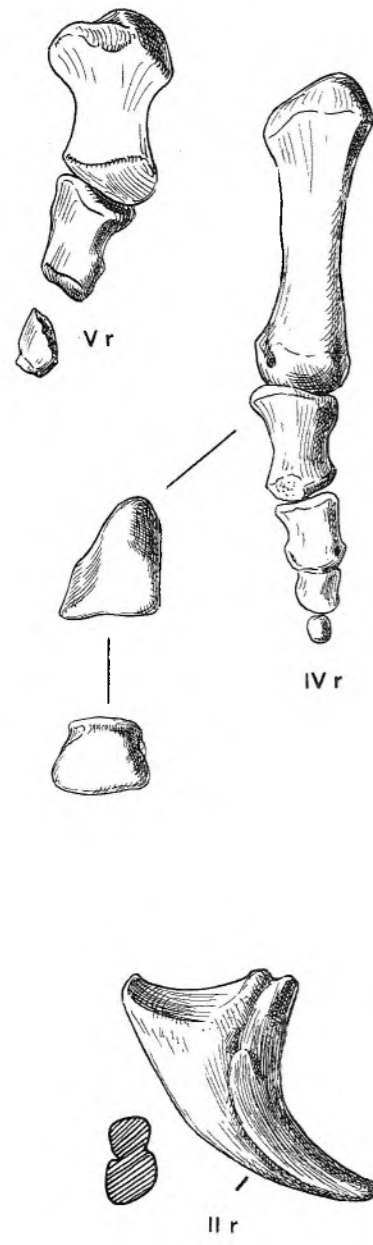
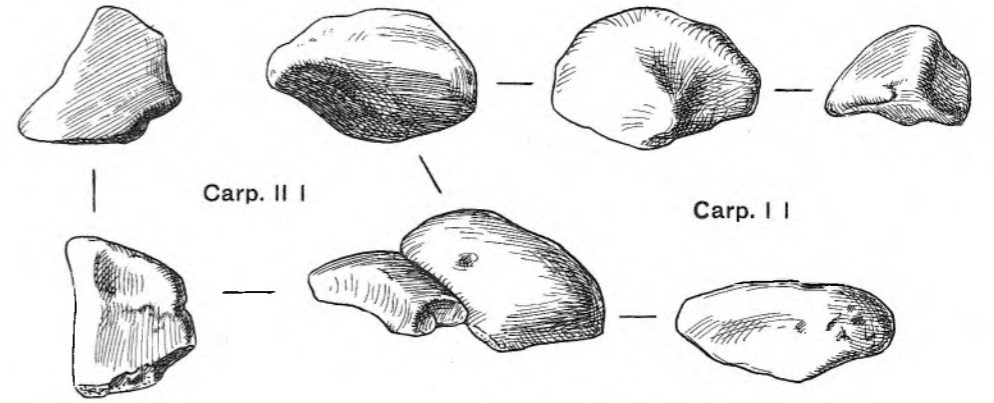
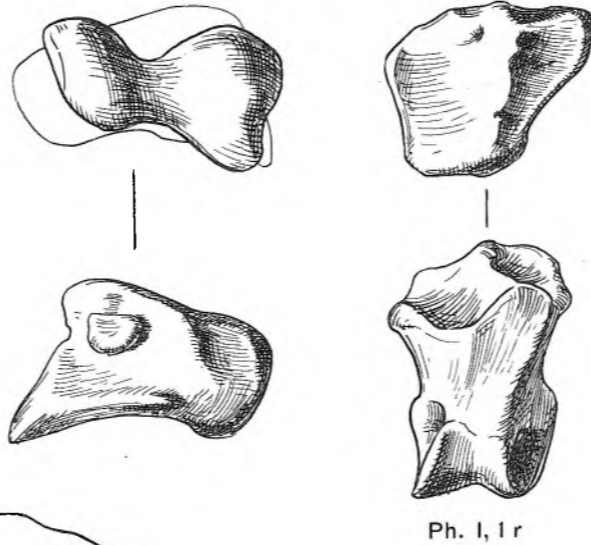
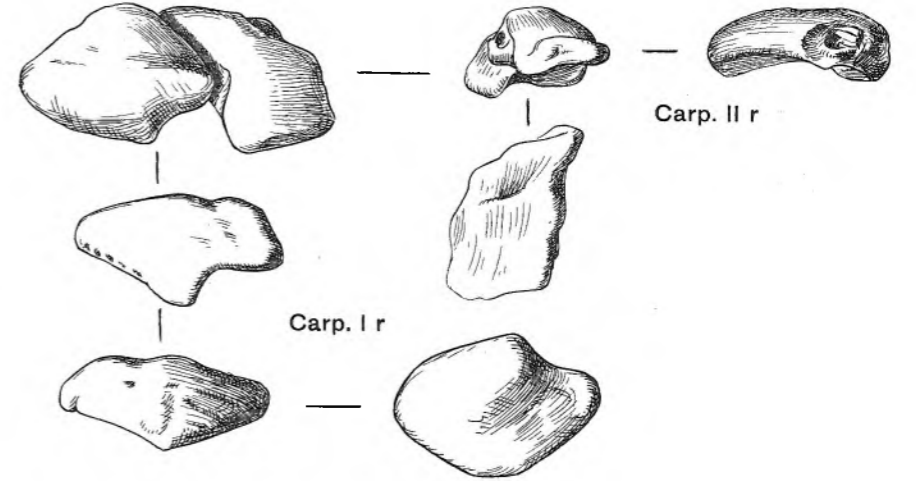
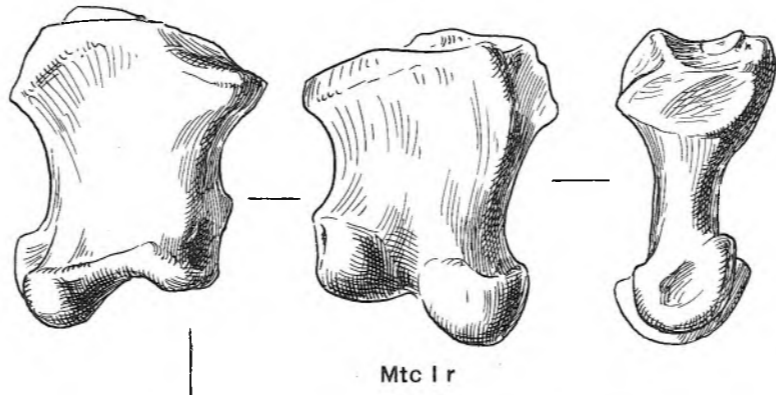
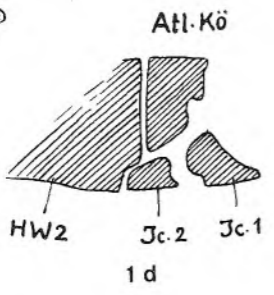
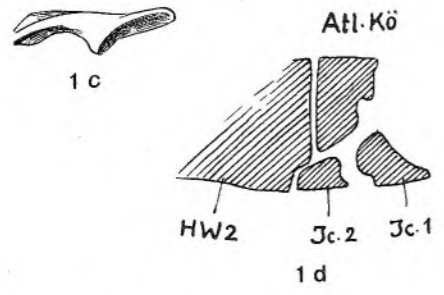
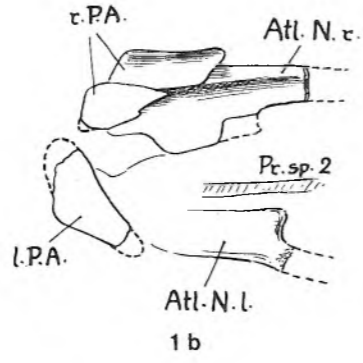
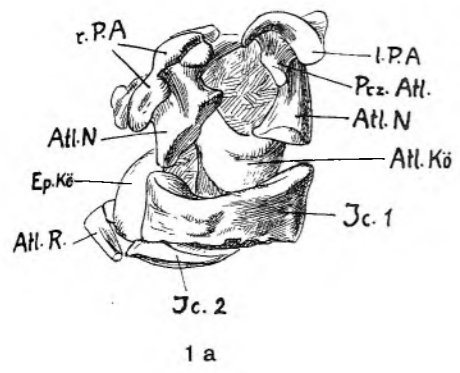
Fig. 1. Proatlas, Atlas und Epistropheus, *a* von vorn, *b* die drei Neuralbögen von oben, *c* rechter Proatlas von lateral, *d* Längsschnitt durch die basalen Teile, *e* Ventralansicht von Intercentrum 1, 2 und Halswirbel 2, *f* Querbruch durch den Körper des Epistropheus, *g* Atlaskörper von links, *h* Atlaskörper von vorn.

Fig. 2. Rechte Carpalia distalia I und II.

Fig. 3. Linke Carpalia distalia I und II.

Rechte Hand mit sachlichen Bezeichnungen der Elemente.

Linke Hand, Proximalenden der linken Metacarpalia zusammengestellt, Phalangen des 4. und 5. Fingers der linken Hand; alles mit sachlichen Bezeichnungen.

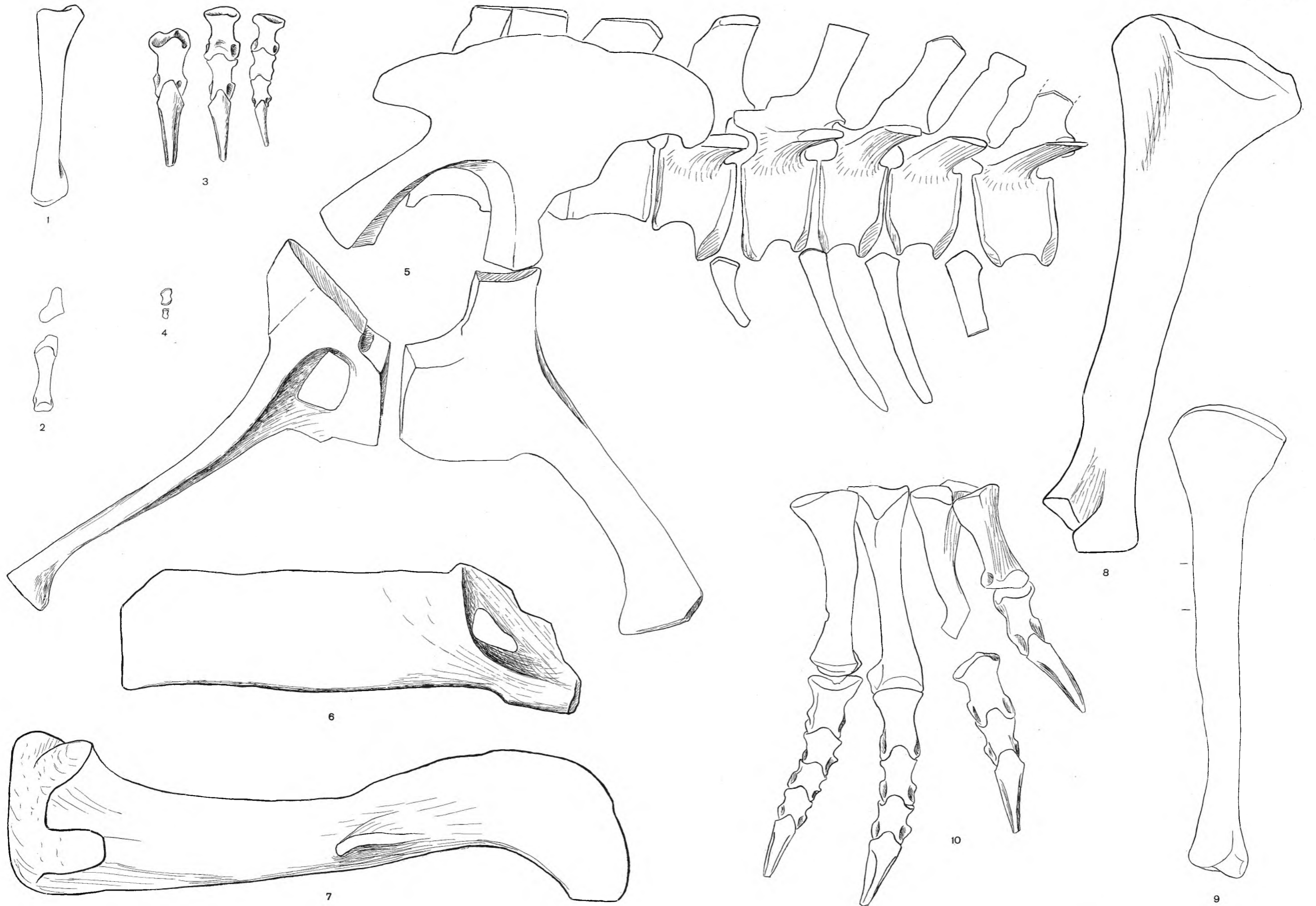


Erklärung der Tafel 38

Alle Abbildungen 1:4 nat. Größe

Art und Herkunft wie Taf. 35—37, Skelett IV in Tübingen. S. 196.

- Fig. 1. Linker Radius.
- Fig. 2. Linkes Metacarpale IV mit Oberansicht.
- Fig. 3. Phalangen des 1., 2. und 3. Fingers der linken Hand.
- Fig. 4. Die beiden ersten Phalangen des 5. Fingers der linken Hand.
- Fig. 5. Rechte Ansicht des Beckens und der 5 ersten Schwanzwirbel im Spiegel.
- Fig. 6. Dorsalansicht des linken Pubis.
- Fig. 7. Linkes Femur von hinten.
- Fig. 8. Linke Tibia von lateral.
- Fig. 9. Linke Fibula von lateral.
- Fig. 10. Linker Fuß, 5. Zehe fehlt.

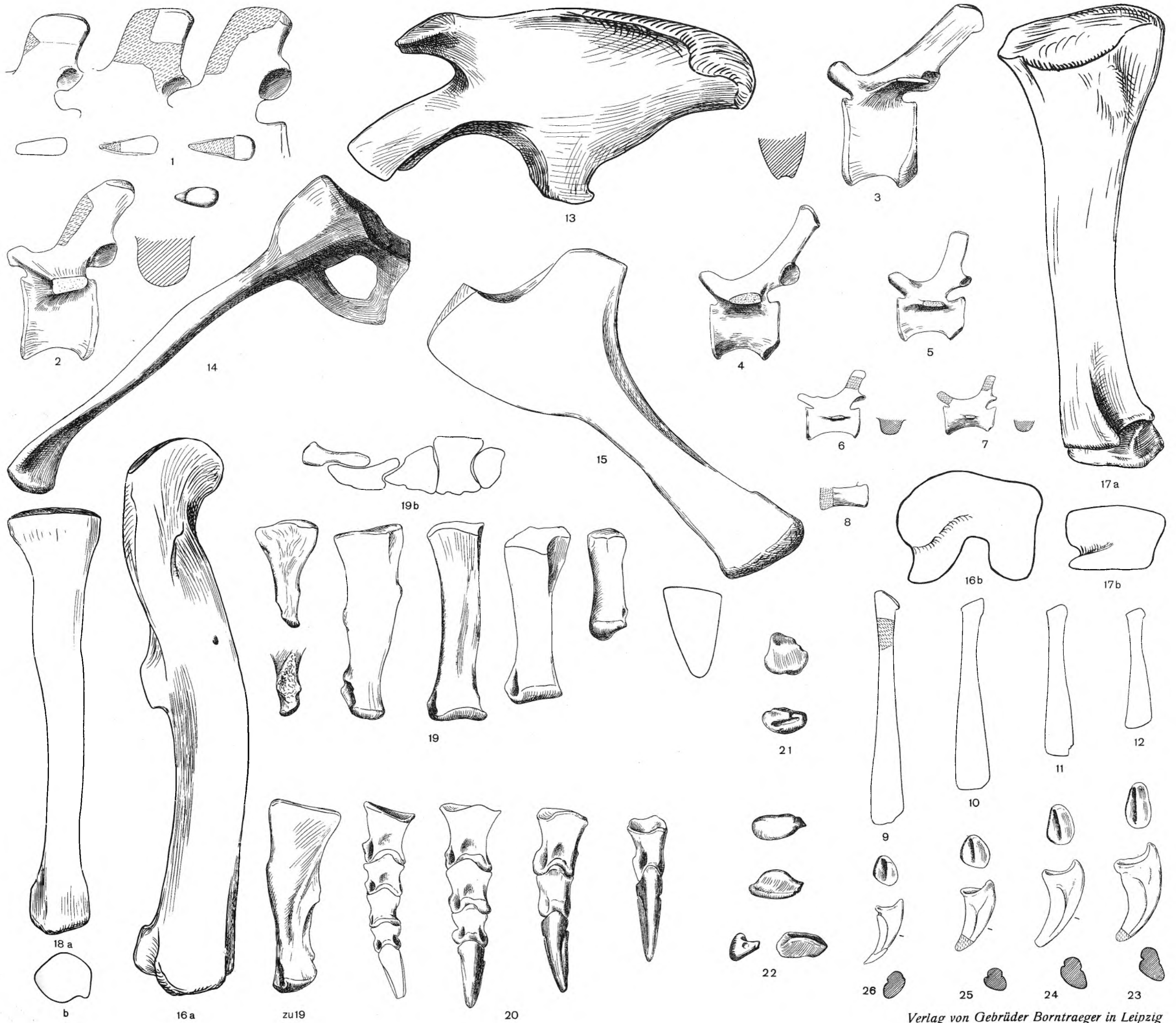


Erklärung der Tafel 39

Alle Abbildungen 1:4 nat. Größe

Plateosaurus plieningeri HUENE aus den Knollenmergeln des oberen Keupers von Halberstadt, Fund Nr. 1 (Original zu JAEKELS *Plateosaurus „torgeri“*). S. 199.

- Fig. 1. Oberteile der drei Sacralwirbel von links mit Oberenden der Dornfortsätze.
- Fig. 2. Schwanzwirbel 1 von links mit Querschnitt in der Mitte des Wirbelkörpers und Oberende des Dornfortsatzes.
- Fig. 3. Schwanzwirbel 3 von links mit Querschnitt in der Mitte des Wirbelkörpers.
- Fig. 4. Schwanzwirbel 7 von links.
- Fig. 5. Schwanzwirbel 17 von links.
- Fig. 6. Schwanzwirbel 25 von links mit Querschnitt in der Mitte des Wirbelkörpers.
- Fig. 7. Schwanzwirbel 29 von links mit Querschnitt in der Mitte des Wirbelkörpers.
- Fig. 8. Schwanzwirbel 33 von links.
- Fig. 9. Haemapophyse 4 von rechts, Proximalende verkehrt angesetzt (zeigt linke Seite).
- Fig. 10. Haemapophyse 8 von rechts.
- Fig. 11. Haemapophyse 11 von rechts.
- Fig. 12. Haemapophyse 16 von rechts.
- Fig. 13. Linkes Ilium von lateral.
- Fig. 14. Linkes Pubis von lateral.
- Fig. 15. Linkes Ischium von lateral mit distaler Endfläche.
- Fig. 16. Rechtes Femur, *a* von lateral, *b* distale Fläche.
- Fig. 17. Rechte Tibia, *a* von lateral, *b* distale Fläche.
- Fig. 18. Rechte Fibula, *a* von lateral, *b* distale Fläche.
- Fig. 19. Rechte Metatarsalia und Phalangen der 5 Zehen, *b* Proximalansicht des Metatarsus.
- Fig. 20. Phalangen der 1. bis 4. Zehe, die der 4. auch von lateral.
- Fig. 21. Rechter Calcaneus.
- Fig. 22. Cuneiforme III rechts in drei Ansichten.
- Fig. 23. Klaue der 1. Zehe rechts von lateral mit Gelenkfläche und Querschnitt.
- Fig. 24. Klaue der 2. Zehe rechts von lateral mit Gelenkfläche und Querschnitt.
- Fig. 25. Klaue der 3. Zehe rechts von lateral mit Gelenkfläche und Querschnitt.
- Fig. 26. Klaue der 4. Zehe rechts von lateral mit Gelenkfläche und Querschnitt.



Erklärung der Tafel 40

Fig. 1—3 in $\frac{1}{2}$ nat. Größe; Fig. 4—27 in 1 : 4 nat. Größe

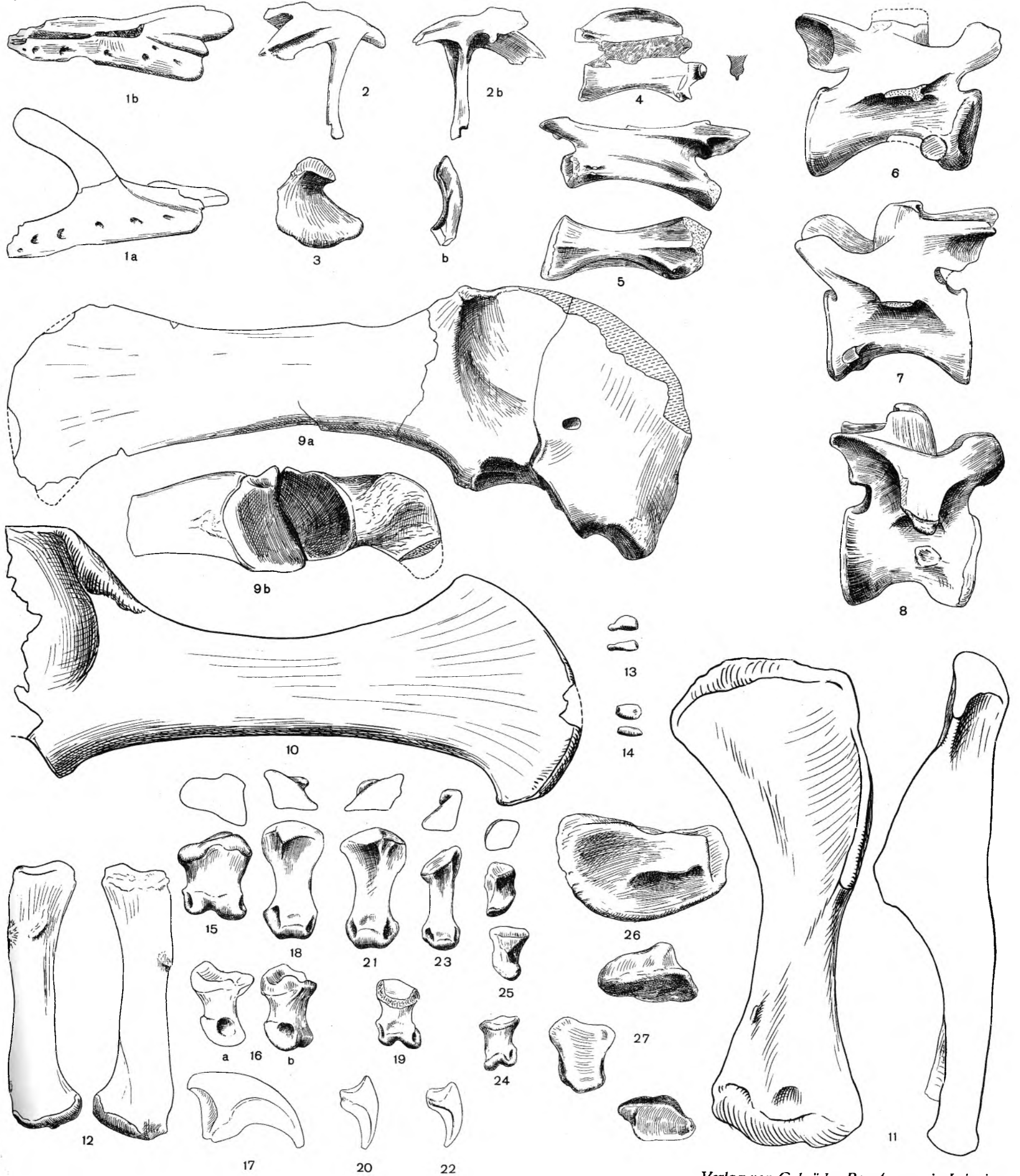
Art und Herkunft wie vorhergehende Tafel

Fig. 1—10 ist Fund Nr. 54. S. 201.

- Fig. 1. Rechte Maxilla, *a* von lateral, *b* von oben.
- Fig. 2. Linkes Squamosum, *a* von lateral, *b* von oben.
- Fig. 3. Rechtes Transversum, *a* von ventral, *b* von hinten.
- Fig. 4. Epistropheus mit Atlaskörper von rechts, *b* Querschnitt in der Mitte des Körpers.
- Fig. 5. Halswirbel 3, *a* von links, *b* von unten.
- Fig. 6. Halswirbel 8 von rechts.
- Fig. 7. Halswirbel 9 von rechts.
- Fig. 8. Halswirbel 10 von rechts.
- Fig. 9. Rechte Scapula mit Coracoid, *a* von lateral, *b* Gelenkende von unten.
- Fig. 10. Linke Scapula von lateral.

Fig. 11—27 ist Fund Nr. 53.

- Fig. 11. Linker Humerus, *a* von vorn, *b* von lateral.
- Fig. 12. Linker Radius in zwei Ansichten.
- Fig. 13. Carpalverknöcherung in zwei Ansichten.
- Fig. 14. Carpalverknöcherung in zwei Ansichten.
- Fig. 15. Metacarpale I links mit Oberansicht.
- Fig. 16. Phalange I, 1 links in zwei Ansichten.
- Fig. 17. Klaue I links.
- Fig. 18. Metacarpale II links mit Oberansicht.
- Fig. 19. Phalange II, 1 links.
- Fig. 20. Klaue II links.
- Fig. 21. Metacarpale II rechts mit Oberansicht.
- Fig. 22. Klaue III rechts.
- Fig. 23. Metacarpale III rechts mit Oberansicht.
- Fig. 24. Phalange IV, 1 rechts.
- Fig. 25. Metacarpale V rechts in drei Ansichten.
- Fig. 26. Rechter Astragalus von oben.
- Fig. 27. Cuneiforme IV in drei Ansichten.

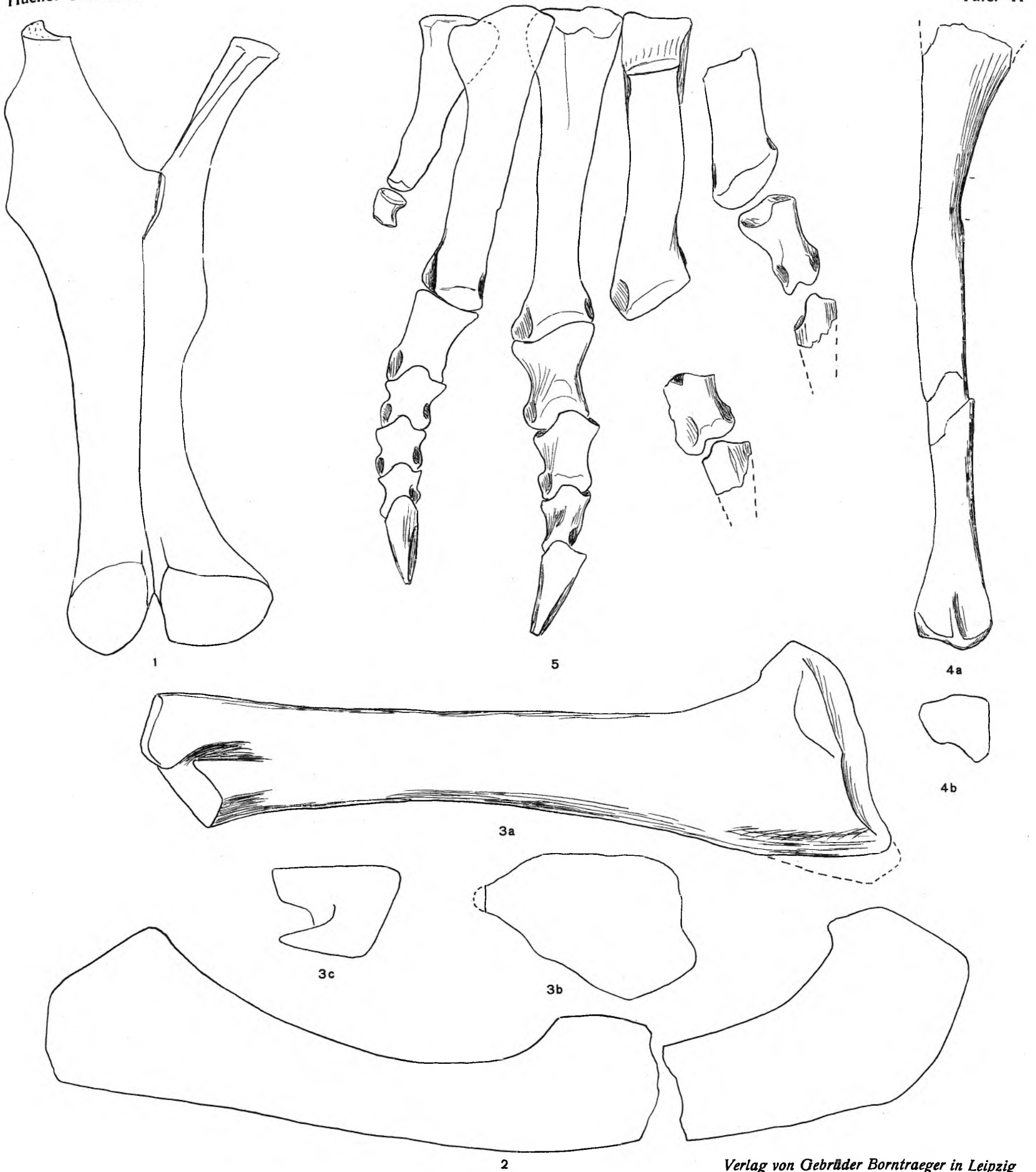


Erklärung der Tafel 41

Alle Abbildungen 1:4 nat. Größe

Plateosaurus robustus HUENE aus den Knollenmergeln der Oberen Mühle von Trossingen (Skelett III in Tübingen).
S. 204.

- Fig. 1. Beide Ischia von vorn mit unvollständigem Proximalteil.
- Fig. 2. Rechtes Femur von medial.
- Fig. 3. Rechte Tibia, *a* von lateral, *b* proximale Fläche, *c* distale Fläche.
- Fig. 4. Rechte Fibula von lateral, mit Distalansicht. Proximalende unvollständig.
- Fig. 5. Rechter Fuß.



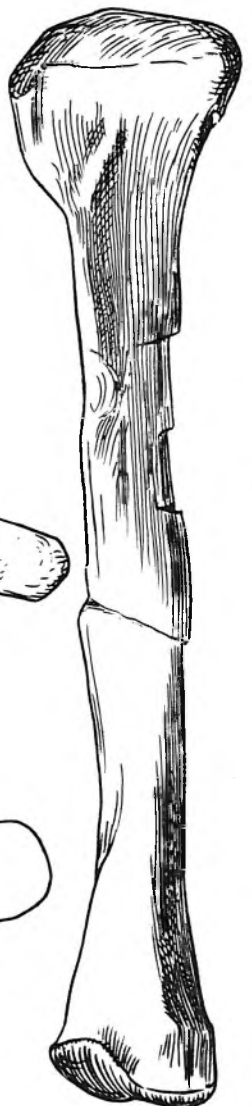
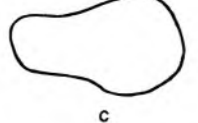
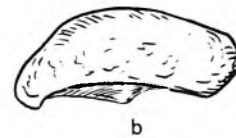
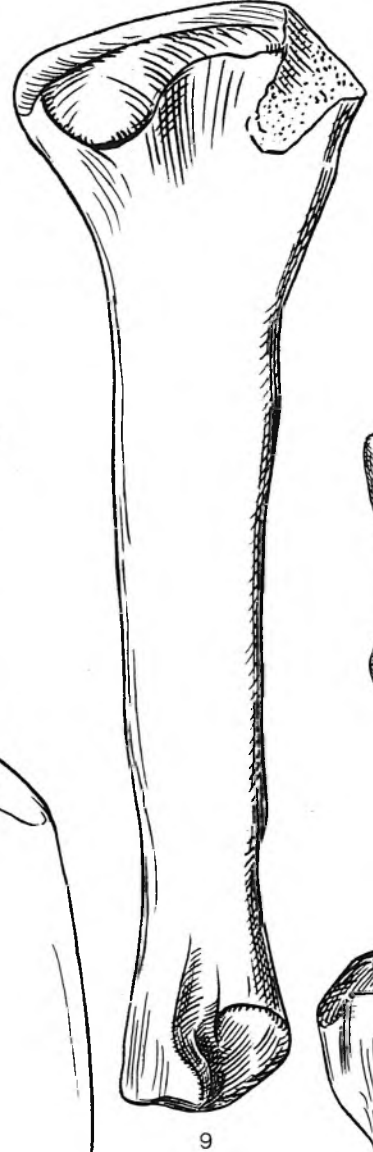
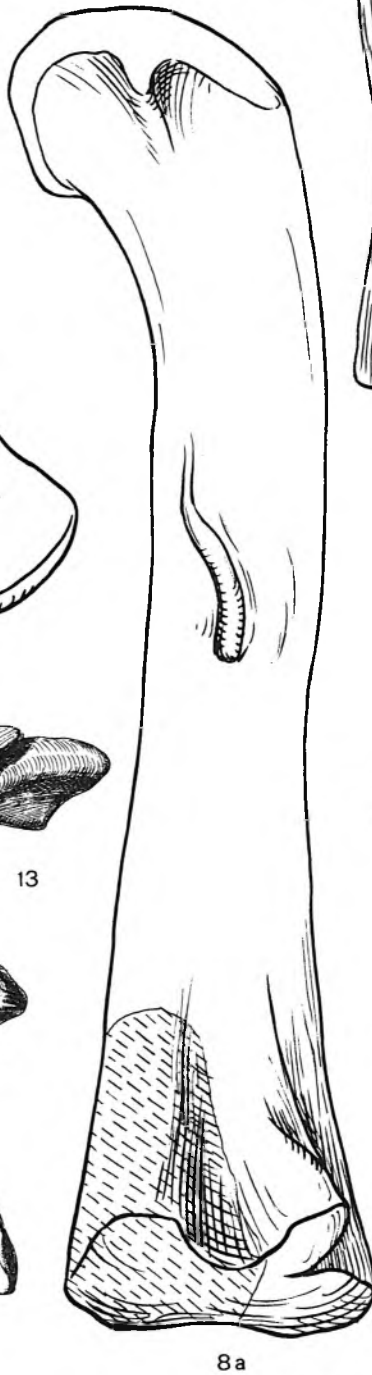
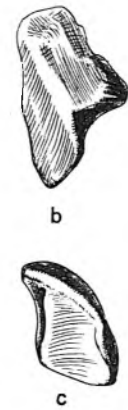
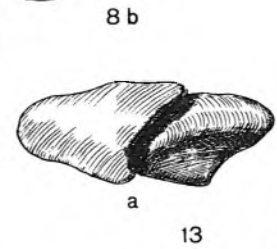
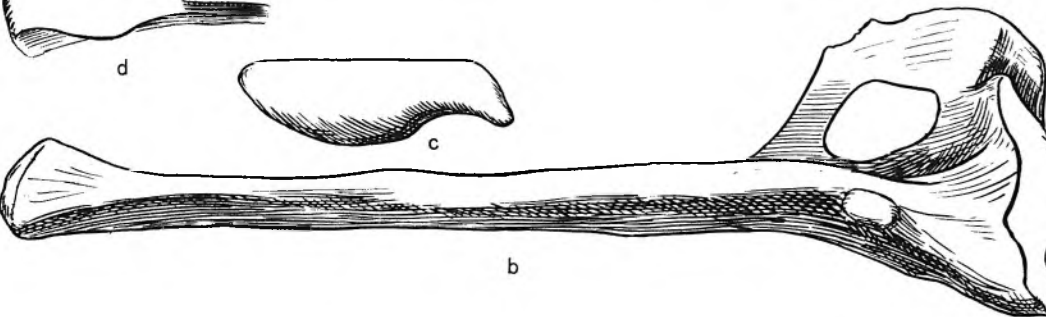
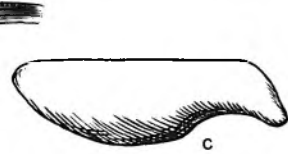
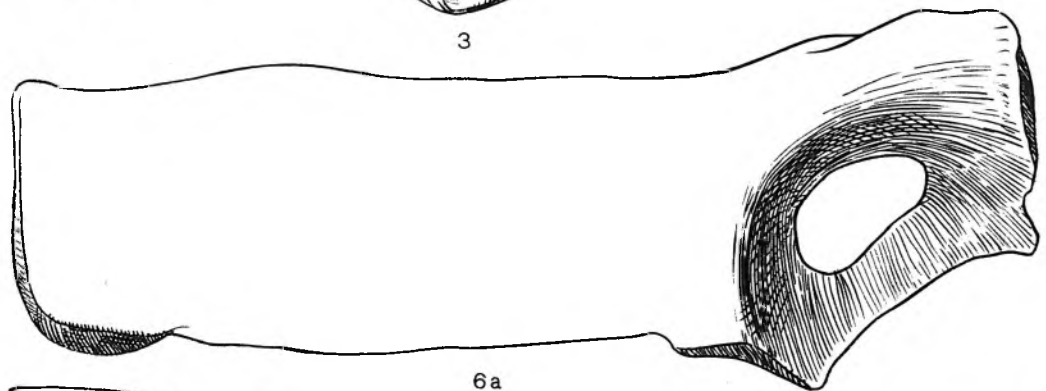
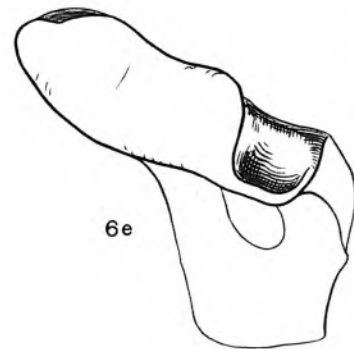
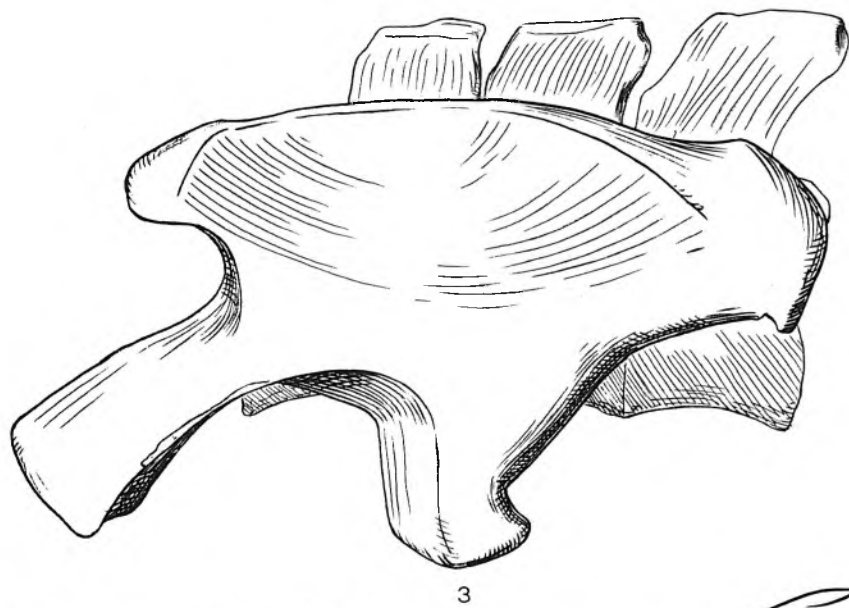
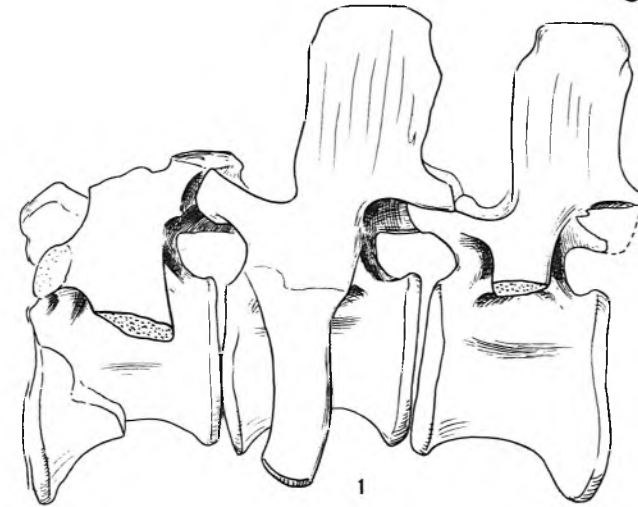
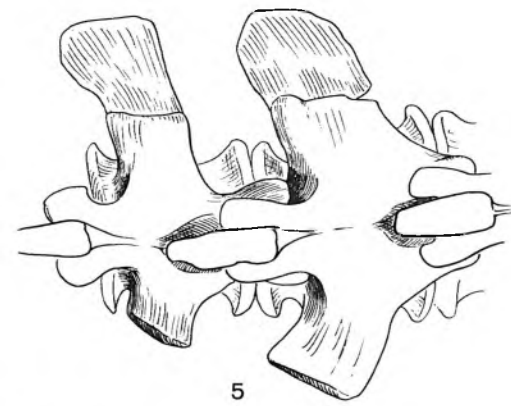
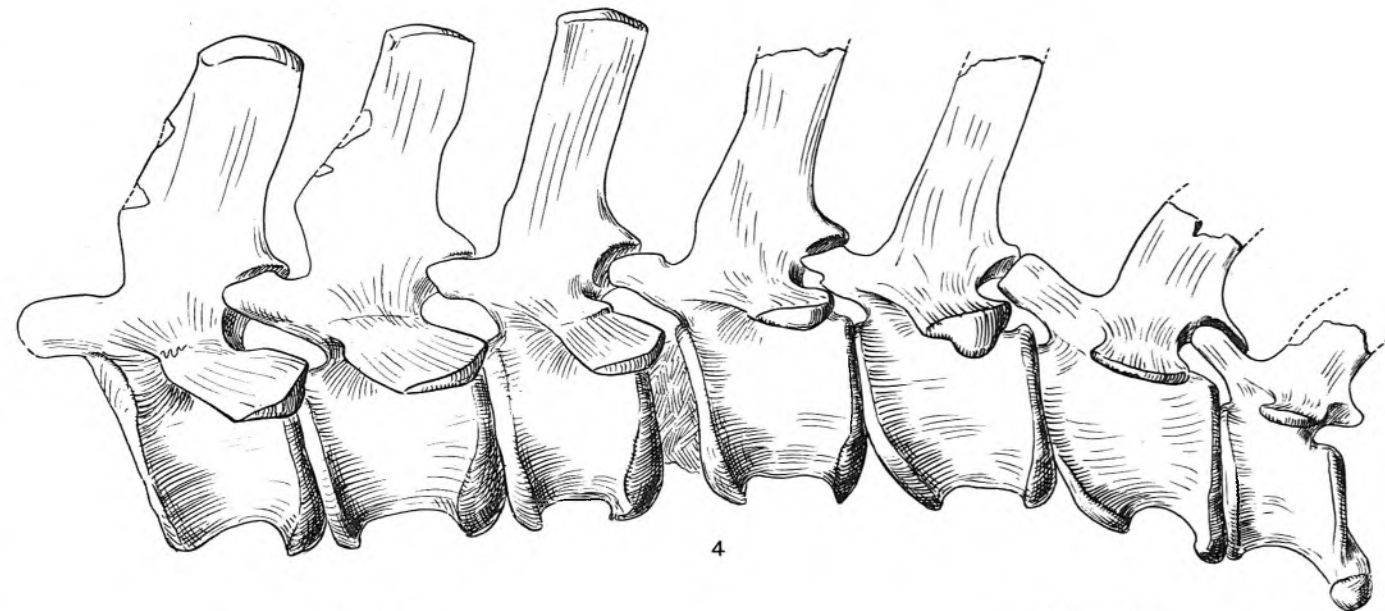
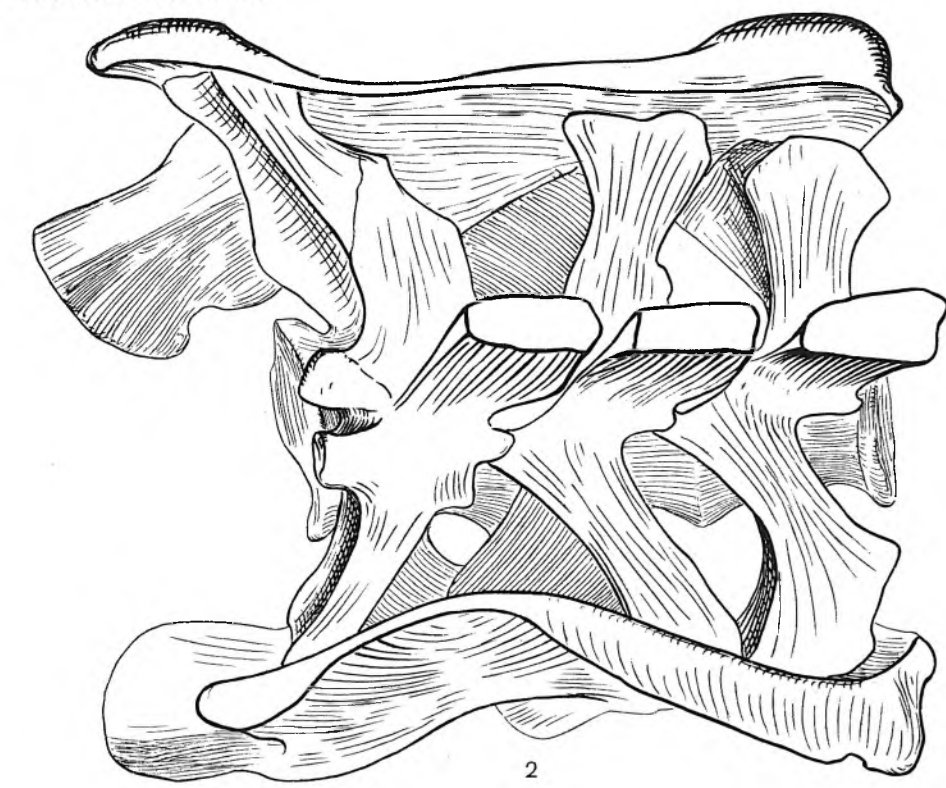
Erklärung der Tafel 42

Alle Abbildungen 1:4 nat. Größe

Art und Herkunft wie Taf. 41, Fund 13200, *a+e* in der Naturaliensammlung, Stuttgart. S. 206.

- Fig. 1. Rückenwirbel 13—15 von links.
- Fig. 2. Sacrum und beide Iliä von oben.
- Fig. 3. Dasselbe von links.
- Fig. 4. Schwanzwirbel 1—7 von links.
- Fig. 5. Schwanzwirbel 2—3 von oben.
- Fig. 6. Rechtes Pubis, *a* von dorsal, *b* von lateral, *c* distale Fläche, *d* Distalende von medial, *e* Proximalende von hinten.
- Fig. 7. Beide Ischia von rechts, *b* distale Fläche.
- Fig. 8. Rechtes Femur, *a* von hinten, *b* von lateral.
- Fig. 9. Rechte Tibia von lateral.
- Fig. 10. Rechte Fibula, *a* von medial, *b* proximale Fläche, *c* distale Fläche.
- Fig. 11. Rechter Astragalus, *a* von hinten, *b* von unten.
- Fig. 12. Rechter Calcaneus, *a* von oben, *b* von unten, *c* von lateral.
- Fig. 13. Cuneiformis III und IV rechts, *a* von oben, *b* IV von unten, *c* III von unten.
- Fig. 14. Rechter Fuß.

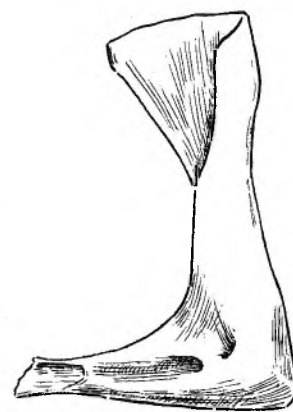
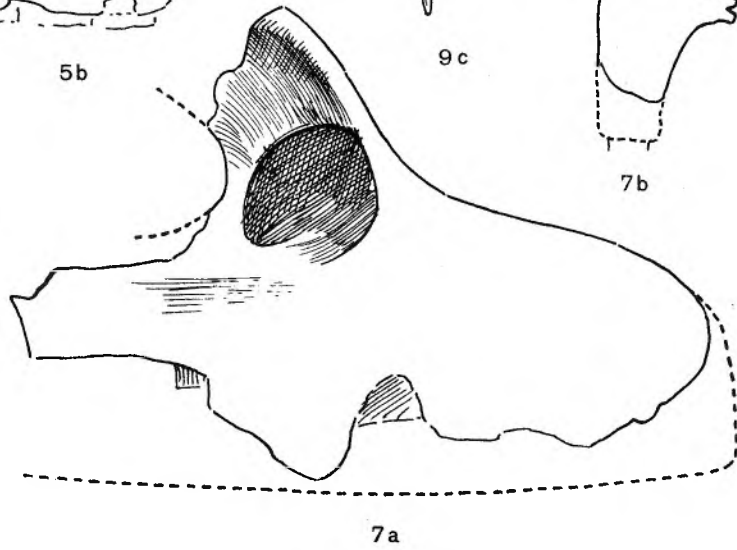
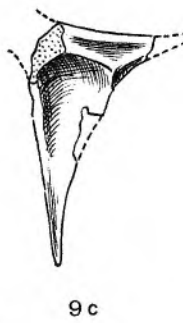
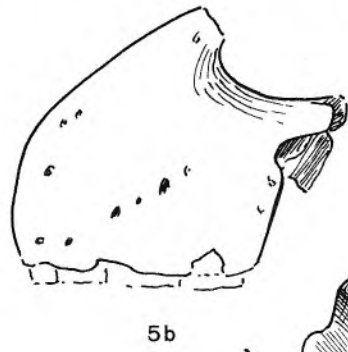
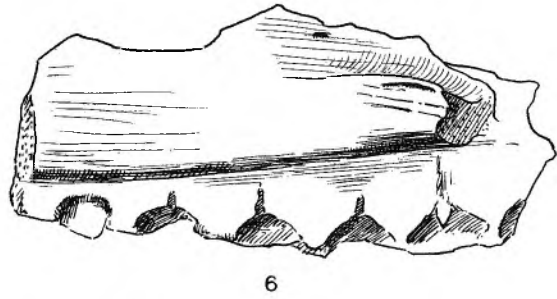
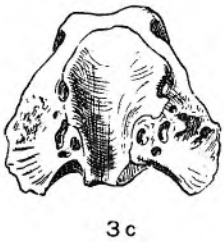
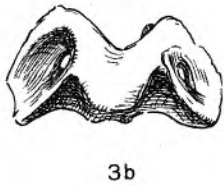
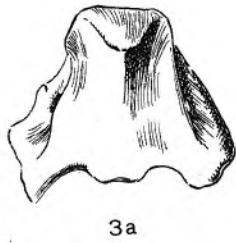
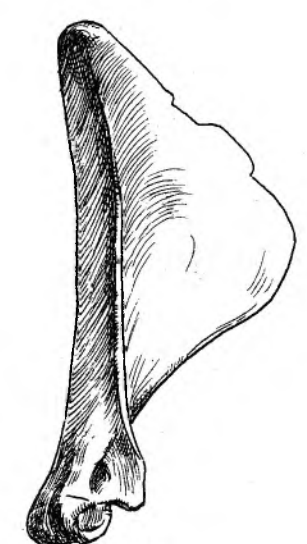
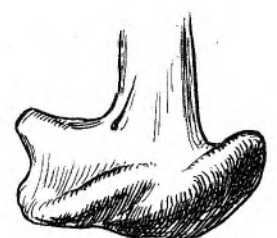
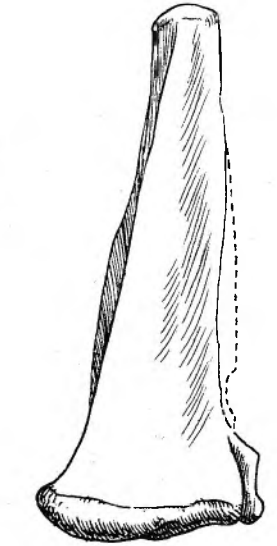
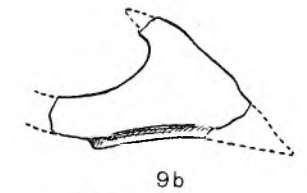
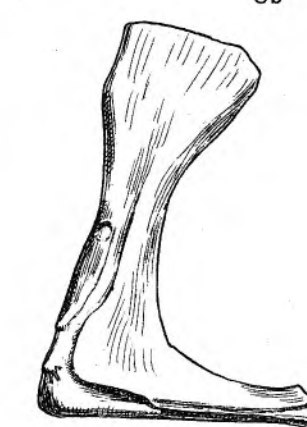
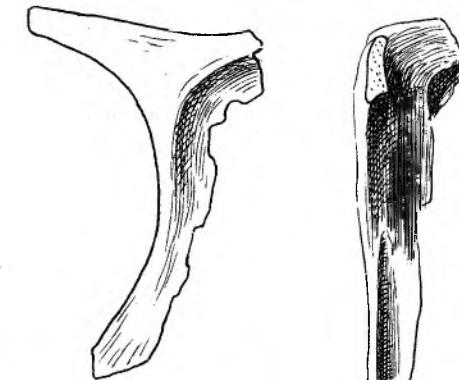
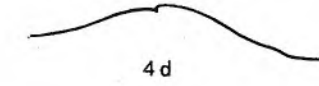
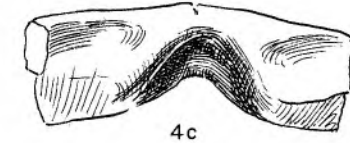
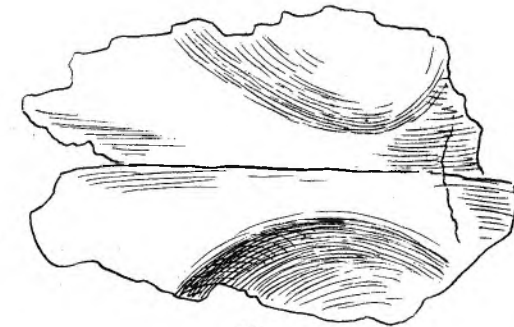
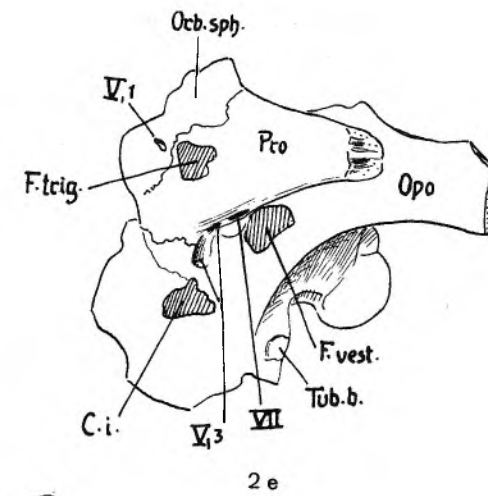
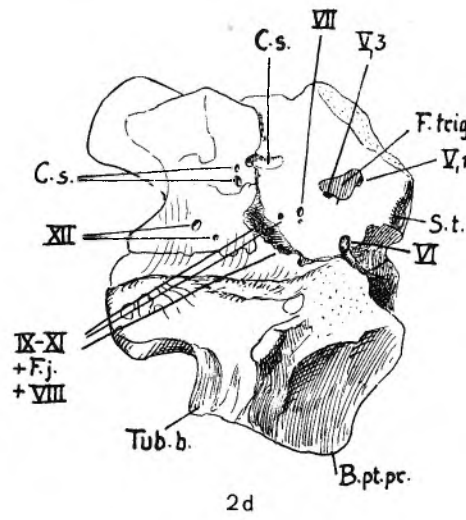
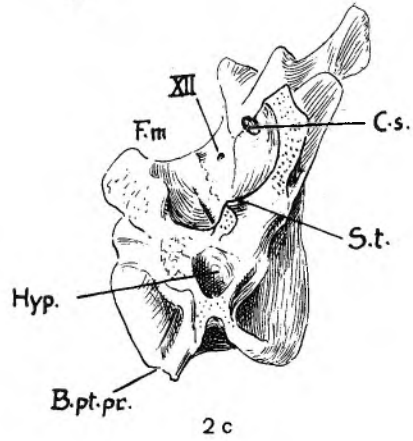
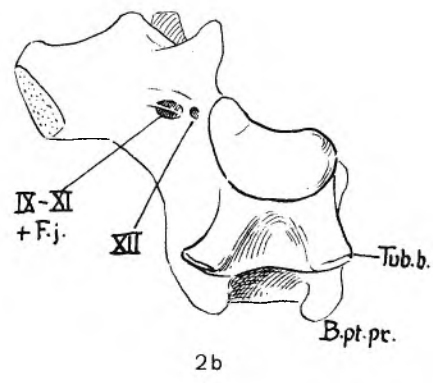
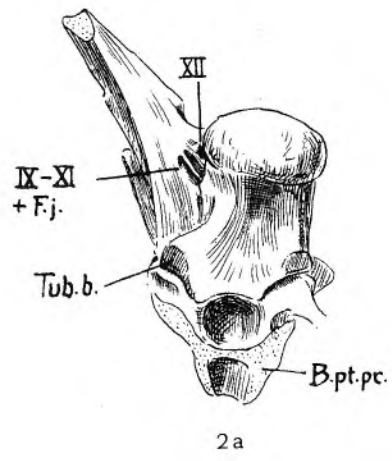
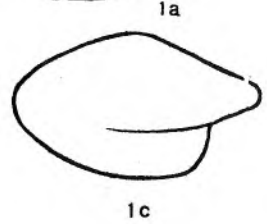
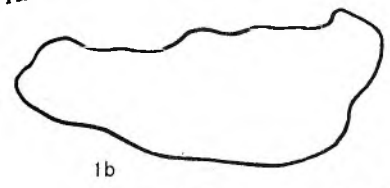
Huene: Saurischia



Erklärung der Tafel 43

Alle Abbildungen 1:2 nat. Größe

- Fig. 1. *Magnosaurus woodwardi* n. g. n. sp. aus der Angulaten-Zone des unteren Lias von Wilmcote, Warwickshire. Rechte Tibia (Brit. Mus. R. 3542), *a* von lateral, *b* proximale Fläche, *c* distale Fläche. S. 219.
- Fig. 2—11. *Megalosaurus cuvieri* OWEN aus dem unteren Oxfordton des untersten Malm von Somertown Pit bei Wolvercot, Dorsetshire (Coll. Parker im University Museum, Oxford). Schädel. S. 222.
- Fig. 2. Hirnschädel, *a* von unten, *b* von hinten, *c* von oben, *d* von innen, *e* von lateral. Die Bezeichnungen verstehen sich von selbst.
- Fig. 3. Supraoccipitale, *a* von hinten, *b* von oben, *c* von vorn, *d* von lateral.
- Fig. 4. Parietalia und Frontalia mit linkem Postfrontale, *a* von oben, *b* von unten.
- Fig. 5. Beide Praemaxillen, *a* von dorsal, *b* von links.
- Fig. 6. Fragment der linken Maxilla von medial.
- Fig. 7. Rechte Maxilla, *a* von lateral, *b* Querschnitt in der Vorderhälfte.
- Fig. 8. Linkes Postfrontale + Postorbitale, *a* von lateral, *b* von hinten.
- Fig. 9. Linkes Squamosum, *a* von lateral, *b* von dorsal.
- Fig. 10. Linkes Quadratojugale, *a* von lateral, *b* von medial.
- Fig. 11. Rechtes Quadratum, *a* von lateral, *b* von unten, *c* von hinten.



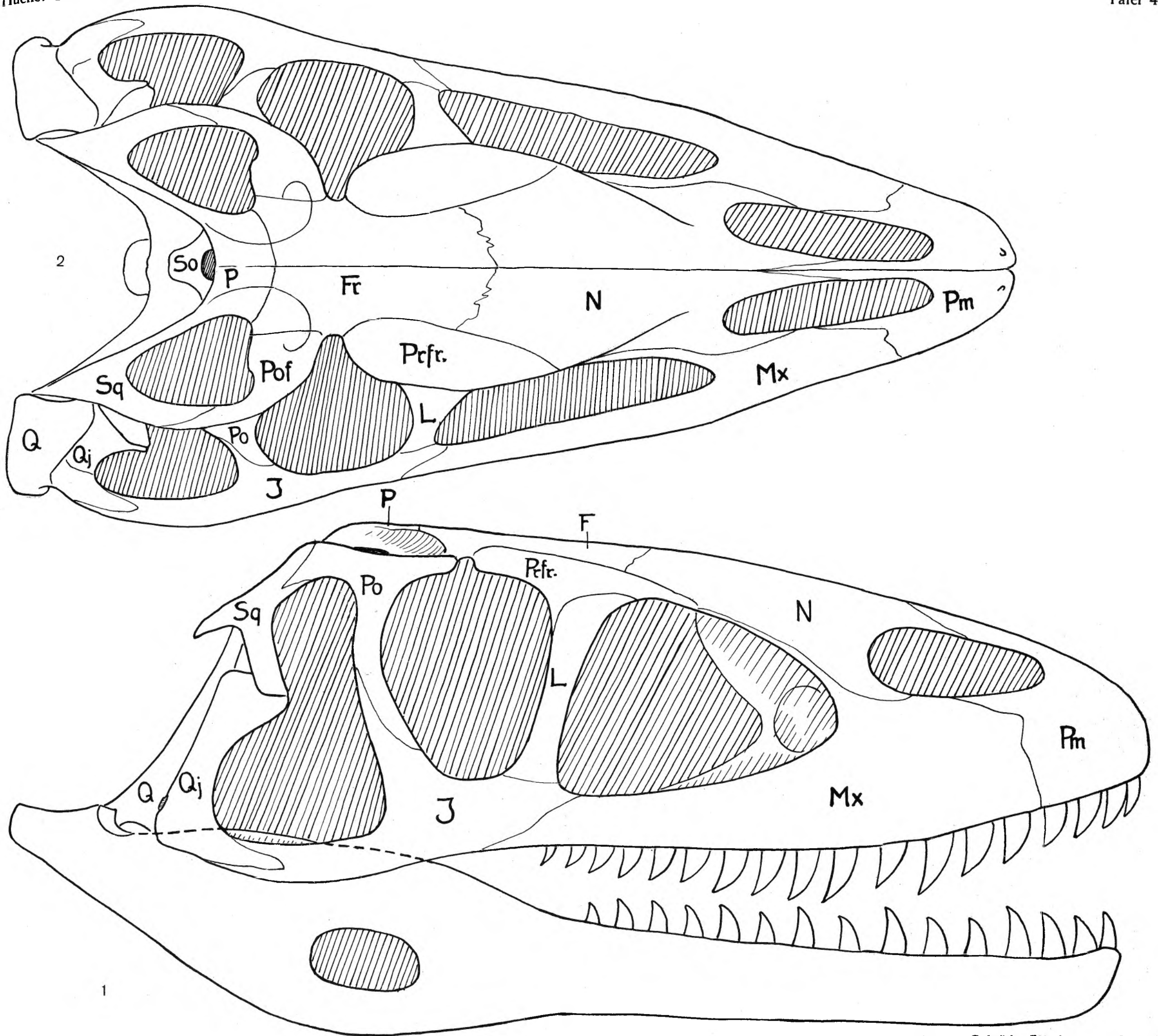
Erklärung der Tafel 44

Die Abbildungen 1 : 2 nat. Größe

Gleicher Fund wie Taf. 43, Fig. 2 ff.

Fig. 1. Rekonstruktion des Schädels von rechts. S. 230.

Fig. 2. Rekonstruktion des Schädels von oben.

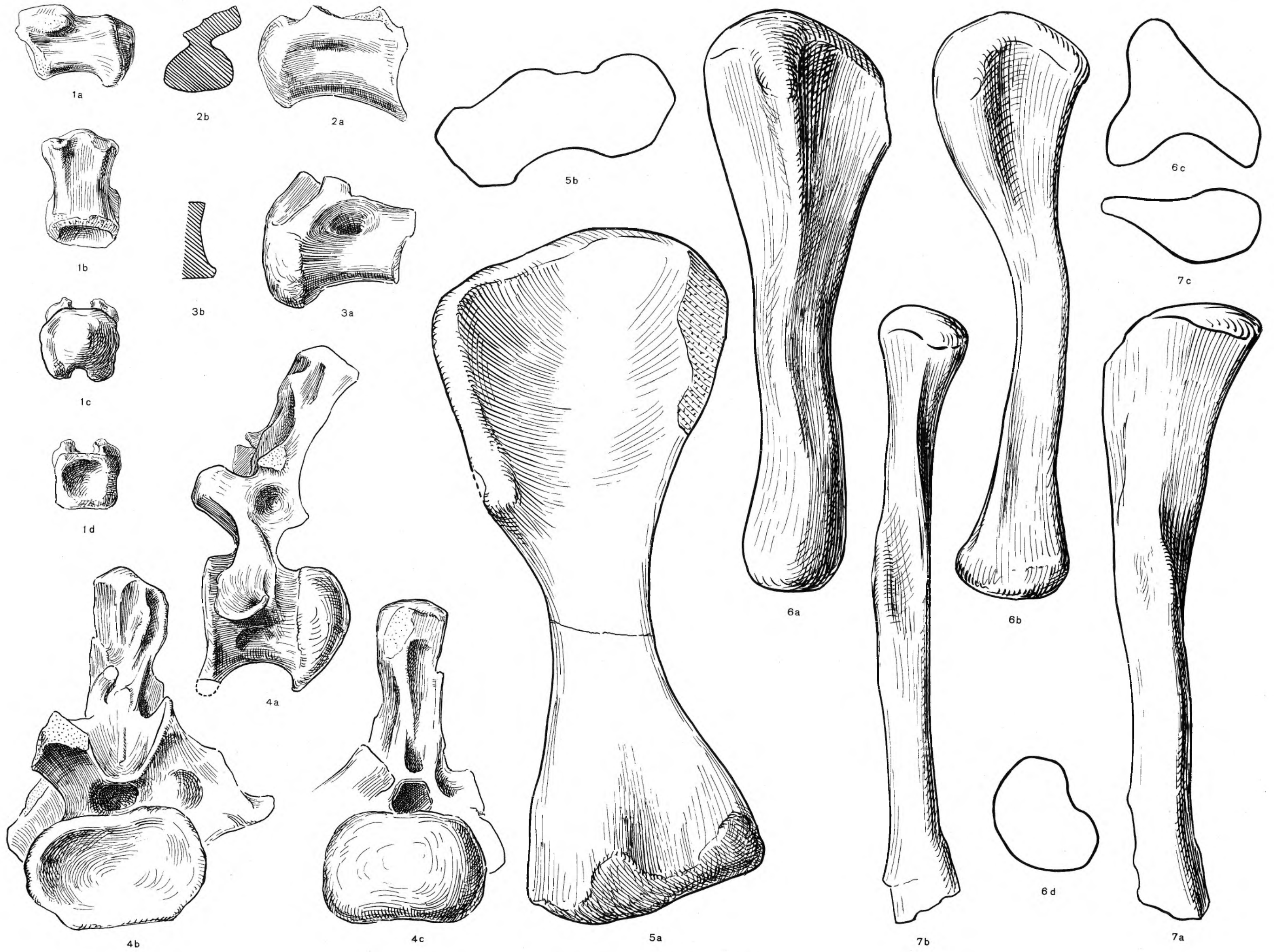


Erklärung der Tafel 45

Alle Abbildungen 1:2 nat. Größe

Magyarosaurus (n. g.) *dacus* NÖRCSA aus der Dänischen Stufe der Oberkreide von Szentpeterfalva bei Hatszeg (im Britischen Museum, London) und von Valiora im Kreise Hunyad, Transsylvanien (im Museum der Ungarischen geologischen Reichsanstalt, Budapest (S. 264).

- Fig. 1. Schwanzwirbel von Valiora, *a* von links, *b* von unten, *c* von hinten, *d* von vorn.
Fig. 2. Rückenwirbelkörper von Szentpeterfalva (Brit. Mus. R. 3861, a), *a* von rechts, *b* Querschnitt.
Fig. 3. dito (R. 3861, b), *a* von rechts, *b* Längsschnitt hinten.
Fig. 4. Vorderer Schwanzwirbel von Szentpeterfalva (Brit. Mus. R. 3851), *a* von links, *b* von vorn, *c* von hinten.
Fig. 5. Rechter Humerus von Szentpeterfalva (Brit. Mus. R. 3849), *a* von vorn, *b* distale Fläche.
Fig. 6. Rechte Ulna von Valiora (10), *a* von vorn-lateral, *b* von medial, *c* proximale Fläche, *d* distale Fläche.
Fig. 7. Linke Fibula von Valiora (14) *a* von lateral, *b* von hinten, *c* proximale Fläche.

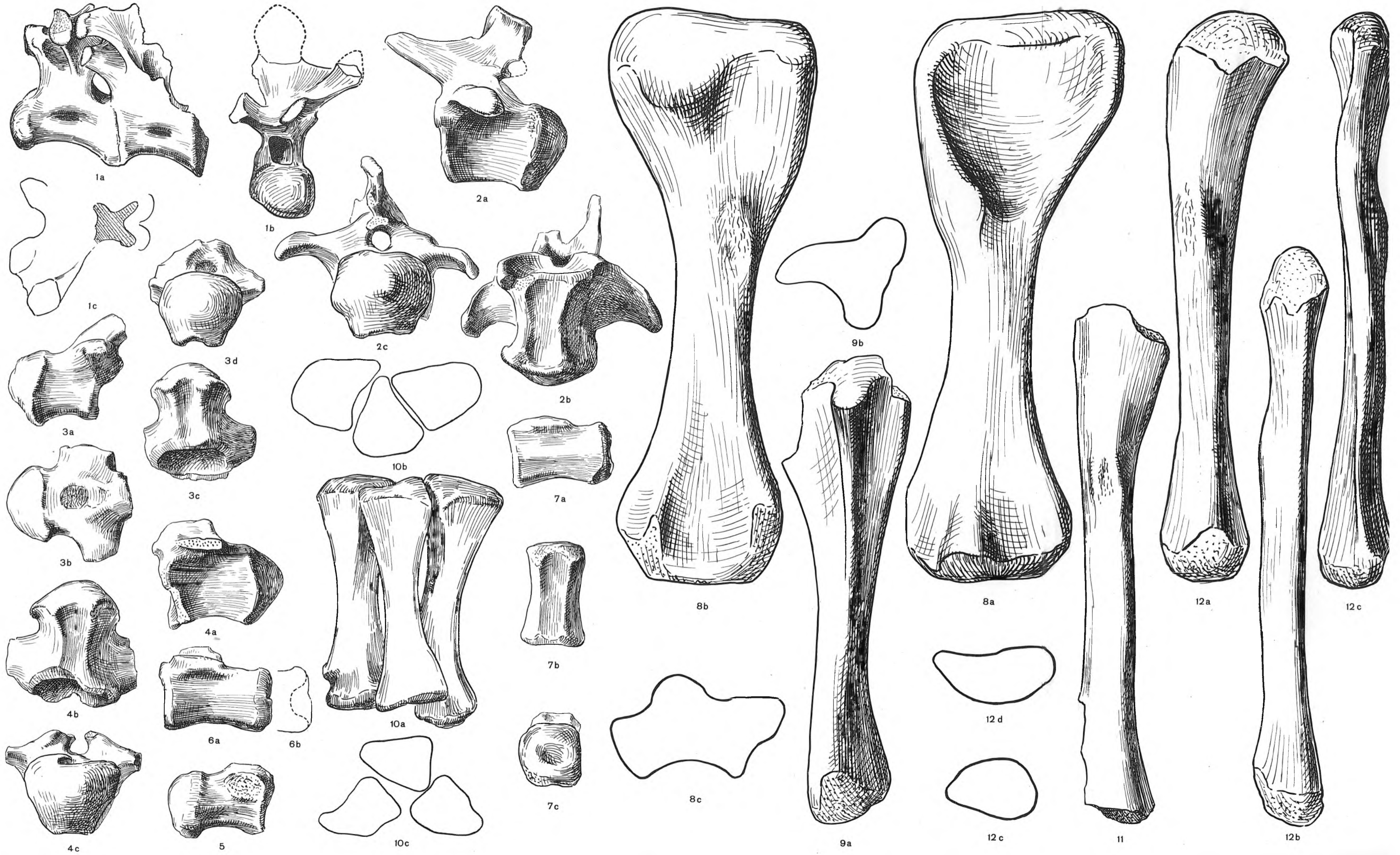


Erklärung der Tafel 46

Alle Abbildungen 1:2 nat. Größe

Magyarosaurus transsylvanicus n. sp., Herkunft wie Taf. 45, S. 266.

- Fig. 1. Zwei zusammenhängende Rückenwirbel von Szentpeterfalva (Brit. Mus. R. 3896), *a* von rechts, *b* von vorn, *c* von oben (vorderer Wirbel, Dornfortsatz schraffiert, außer beiden Zygapophysenpaaren noch die linke Diapophyse).
- Fig. 2. Vollständiger Schwanzwirbel (♀) von Valiora (6), *a* von links *b* von unten, *c* von hinten.
- Fig. 3. Schwanzwirbel (♂) von Valiora (4), *a* von rechts *b* von oben *c* von unten, *d* von hinten.
- Fig. 4. Schwanzwirbel (♀) von Valiora (16), *a* von links, *b* von unten, *c* von hinten.
- Fig. 5. Schwanzwirbel (♂) von Valiora (3) von rechts.
- Fig. 6. Schwanzwirbel (♀) von Valiora (2), *a* von links, *b* Längsschnitt hinten.
- Fig. 7. Schwanzwirbel (♂) von Valiora (12), *a* von links, *b* von unten, *c* von hinten.
- Fig. 8. Rechter Humerus von Valiora (19), *a* von vorn, *b* von hinten, *c* Distalende.
- Fig. 9. Linke Ulna von Valiora (15), *a* von lateral, *b* proximale Fläche.
- Fig. 10. Metacarpalia I, II, III von Szentpeterfalva (Brit. Mus. 4891), *a* von vorn, *b* proximale Flächen, *c* distale Flächen.
- Fig. 11. Linke Fibula von Valiora (13) von lateral.
- Fig. 12. Linke Fibula von Valiora (11), *a* von lateral, *b* von hinten, *c* von vorn, *d* proximale Fläche, *e* distale Fläche.

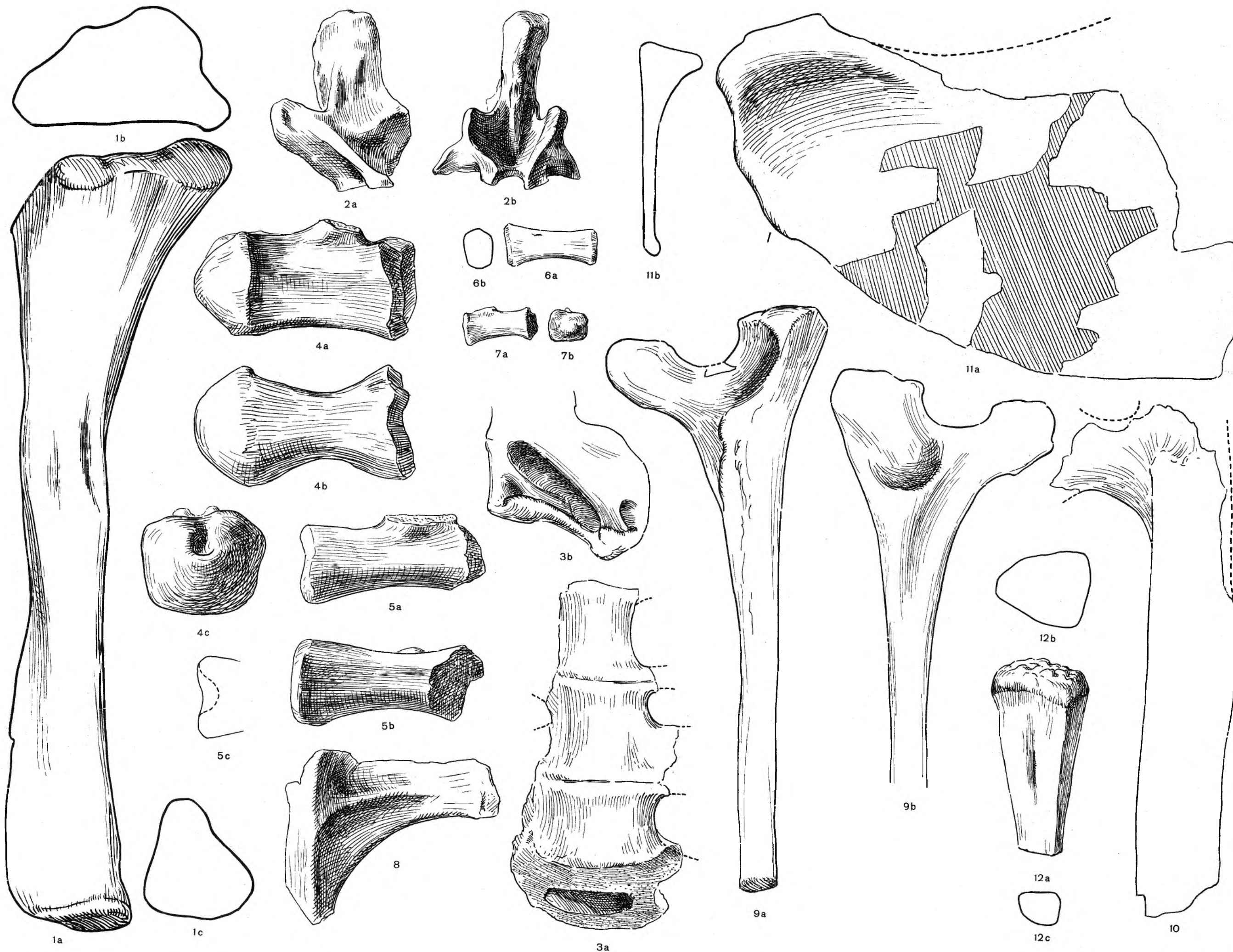


Erklärung der Tafel 47

Alle Abbildungen 1:2 nat. Größe

Herkunft wie Taf. 45 und 46

- Fig. 1. *Magyarosaurus hungaricus* n. sp., linke Fibula von Szentpeterfalva (Brit. Mus. R. 3833), *a* von lateral, *b* proximale Fläche, *c* distale Fläche. S. 269.
- Fig. 2. Neuralbogen eines hinteren Halswirbels von Valiora (7), wahrscheinlich *Magyarosaurus dacus*, *a* von links, *b* von vorn. S. 270.
- Fig. 3. Drei vordere Sacralwirbel von Szentpeterfalva (Brit. Mus. R. 3898) von *Magyarosaurus dacus* oder *transsylvanicus*, *a* von unten. *b* 1. Sacralwirbel von rechts, wobei „vorne“ nach unten gerichtet ist. S. 271.
- Fig. 4. Schwanzwirbel von Valiora (18), wahrscheinlich *Magyarosaurus hungaricus*, *a* von rechts, *b* von unten, *c* von hinten. S. 271.
- Fig. 5. Distaler Schwanzwirbel von Valiora (1), wahrscheinlich *Magyarosaurus hungaricus*, *a* von rechts, *b* von unten, *c* Längsschnitt hinten. S. 271.
- Fig. 6. Distaler Schwanzwirbel von Szentpeterfalva (Brit. Mus. R. 3858), *Magyarosaurus* sp., von der Seite und vorderer Umriß. S. 272.
- Fig. 7. Distaler Schwanzwirbel von Valiora (8), vielleicht *Magyarosaurus dacus*, *a* von links, *b* von hinten. S. 272.
- Fig. 8. Mittlere rechte Dorsalrippe von Valiora (17), wahrscheinlich *Magyarosaurus hungaricus*.
- Fig. 9. Linke 1. Dorsalrippe von Szentpeterfalva (Brit. Mus. 4891), wahrscheinlich *Magyarosaurus hungaricus*, *a* von oben, *b* von unten. S. 270.
- Fig. 10. Linke 2. Dorsalrippe von Szentpeterfalva (Brit. Mus. 4891), wahrscheinlich *Magyarosaurus hungaricus*, von oben. S. 270.
- Fig. 11. Linke Sternalplatte von Szentpeterfalva (Brit. Mus. 4891), wahrscheinlich *Magyarosaurus hungaricus*, *a* ventrale Ansicht, *b* Querschnitt durch das Vorderende. S. 272.
- Fig. 12. Oberende des linken Metacarpale III von Szentpeterfalva (Brit. Mus. ohne Nr.) mit Oberansicht, wahrscheinlich *Magyarosaurus hungaricus*. S. 273.

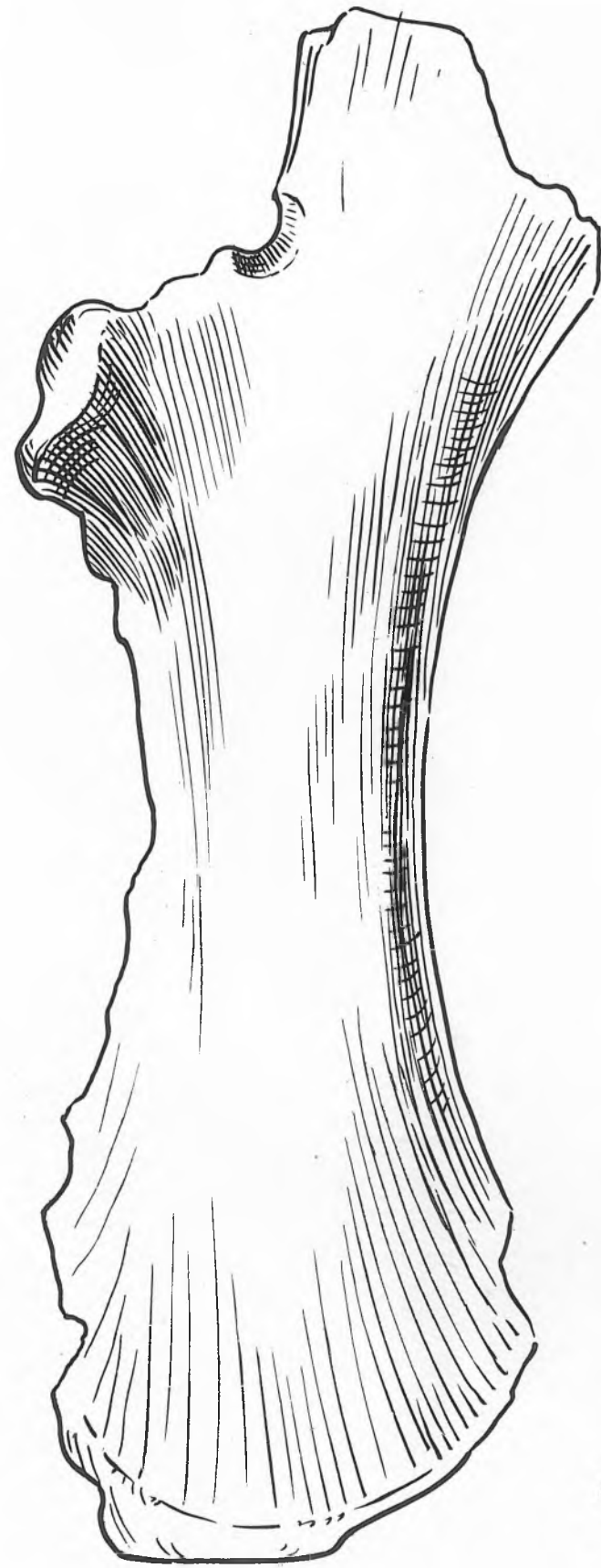


Erklärung der Tafel 48

Alle Abbildungen 1:2 nat. Größe

Herkunft wie Taf. 45—47

- Fig. 1. Rechtes Pubis von Szentpeterfalva (Brit. Mus. R. 3852), wahrscheinlich *Magyarosaurus hungaricus*, von ventral. S. 273.
- Fig. 2. Rechtes Femur von Szentpeterfalva (Brit. Mus. R. 3856), *Magyarosaurus* sp., *a* von hinten, *b* von medial, *c* von distal. S. 273.
- Fig. 3. Linke Tibia von Szentpeterfalva (Brit. Mus. R. 3853), vielleicht *Magyarosaurus hungaricus*, *a* von lateral, *b* von vorn, *c* proximale Fläche. S. 273.
- Fig. 4. Linkes Coracoid von Szentpeterfalva (Brit. Mus. ohne Nr.), wahrscheinlich *Magyarosaurus hungaricus*, *a* von lateral, *b* von hinten, *c* von unten. S. 272.



1



2b



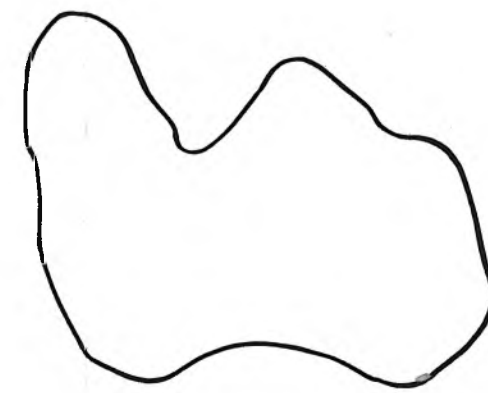
2a



3a



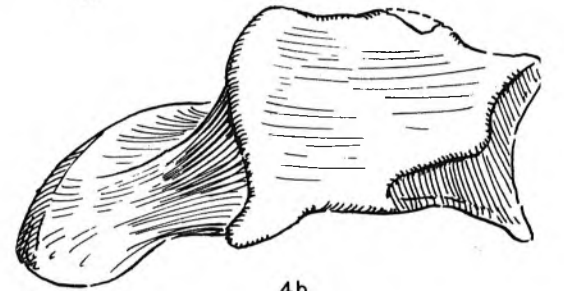
3b



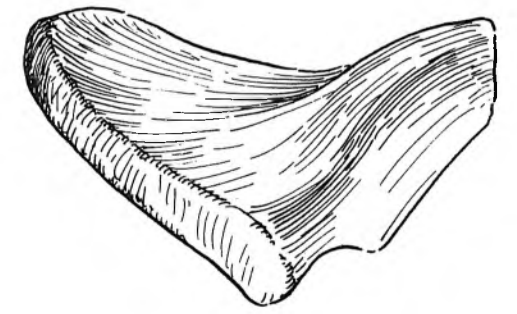
2c



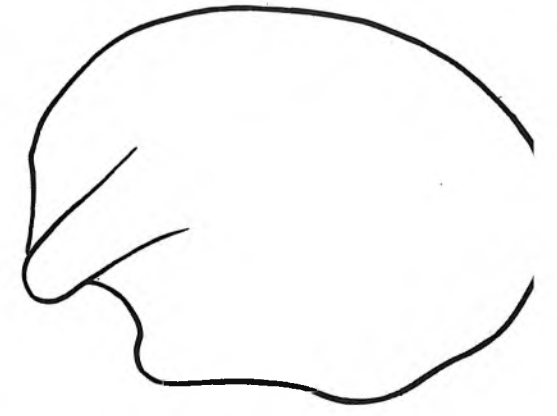
4a



4b



4c

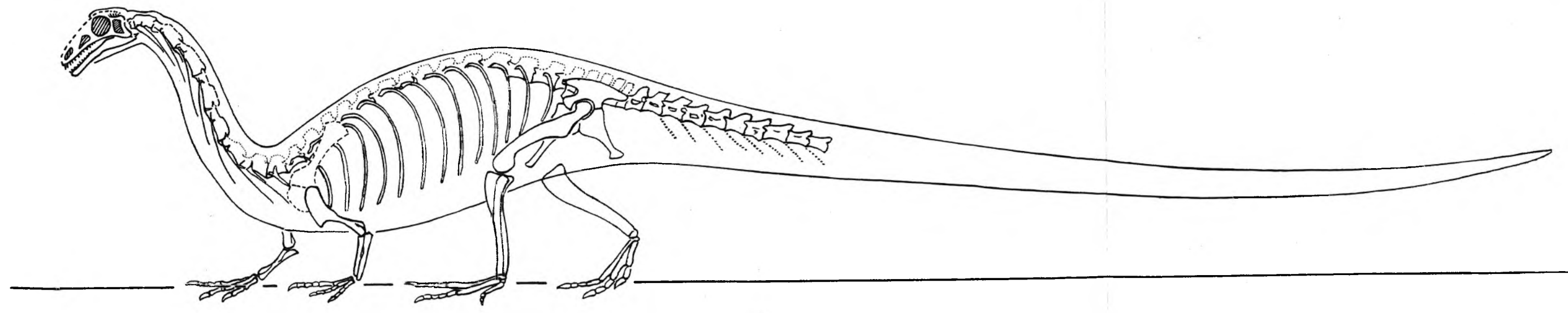


3c

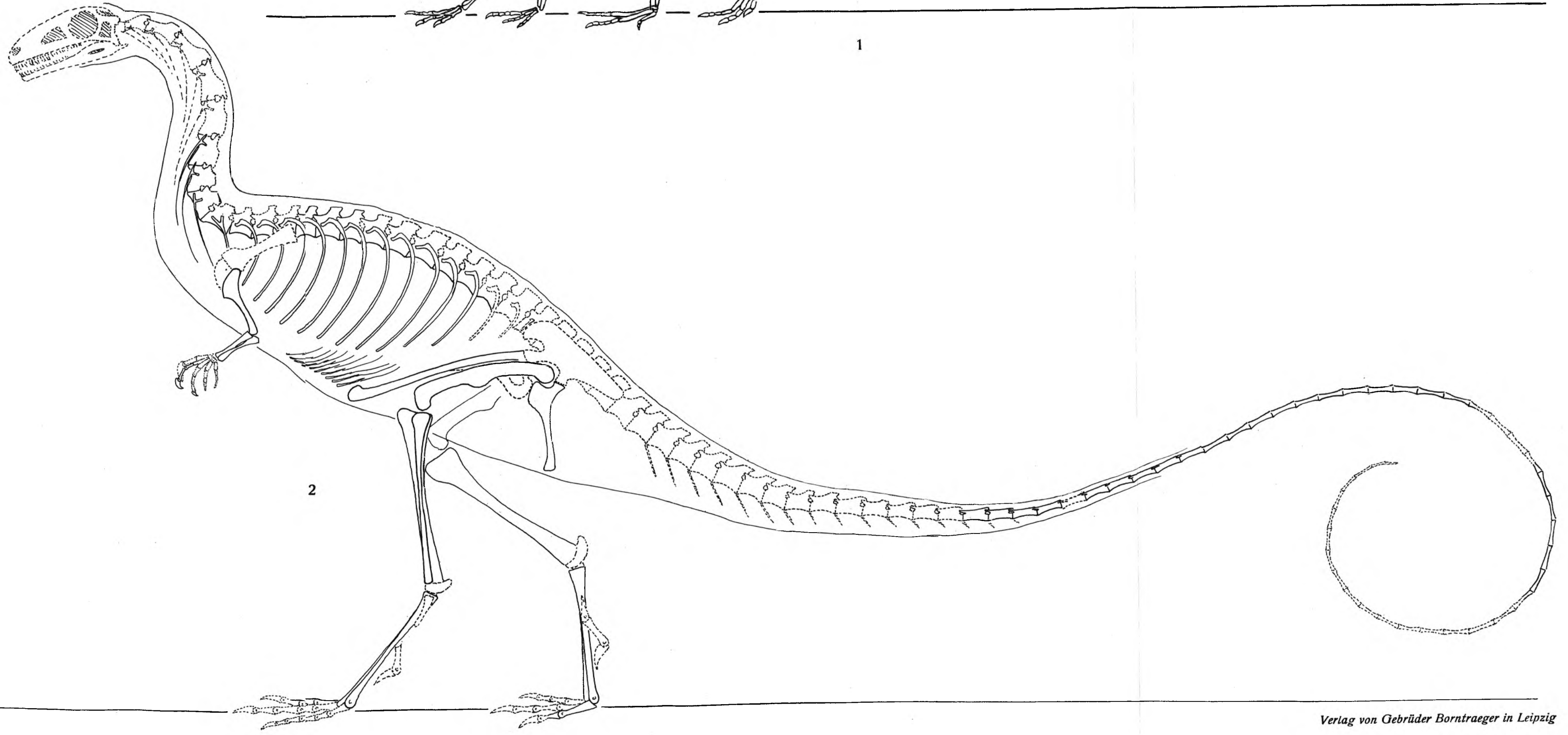
Erklärung der Tafel 49

Fig. 1. Rekonstruktion von *Ammosaurus solus*, 1:4 nat. Größe. S. 27.

Fig. 2. Rekonstruktion von *Podokesaurus holyokensis*, 1:2 nat. Größe. Schwanz in Fundlage, Schädel unbekannt.
S. 35.



1



2

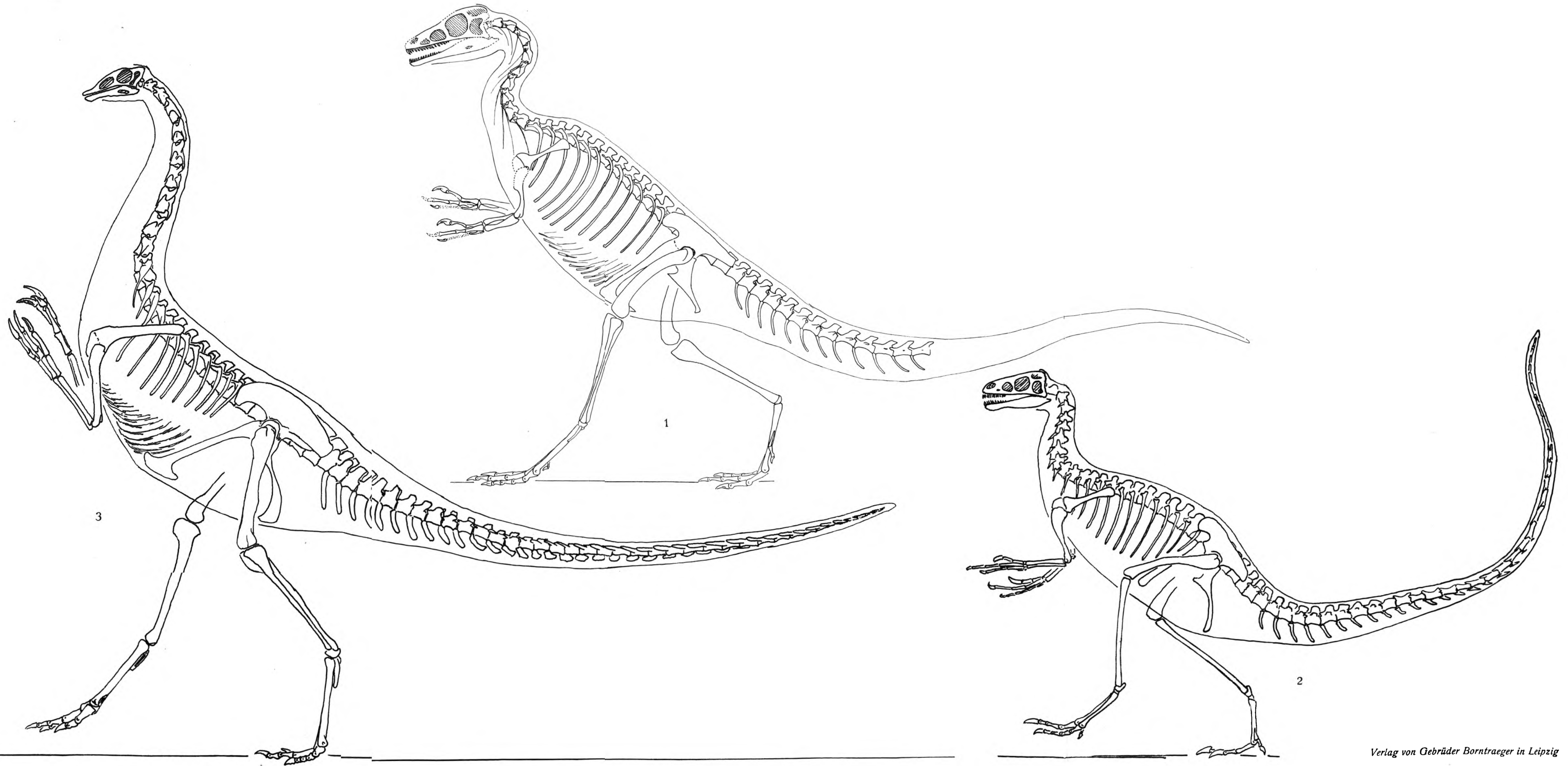
Erklärung der Tafel 50

- Fig. 1. Rekonstruktion von *Saltopus elginensis*, 1 : 2 nat. Größe. Schädel unbekannt. S. 35.
Fig. 2. Rekonstruktion von *Procompsognathus triassicus*, 1 : 2 nat. Größe. S. 32.



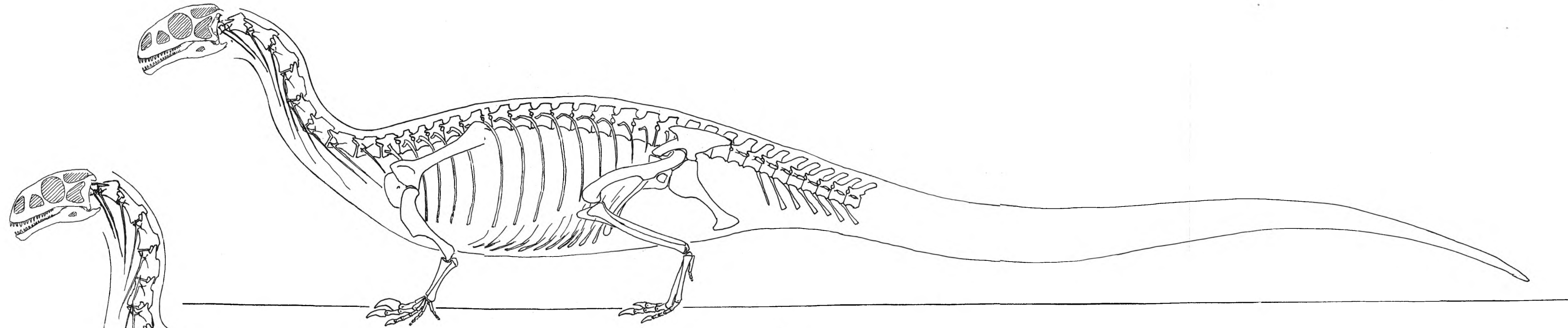
Erklärung der Tafel 51

- Fig. 1. Rekonstruktion von *Compsognathus longipes*, 1:2 nat. Größe. S. 59.
Fig. 2. Rekonstruktion von *Ornitholestes hermanni*, 1:6 nat. Größe, Unterschenkel, dessen Länge unbekannt, hier länger als Femur ergänzt. S. 59.
Fig. 3. Rekonstruktion von *Struthiomimus altus*, 1:10 nat. Größe. Nach OSBORN. S. 66.

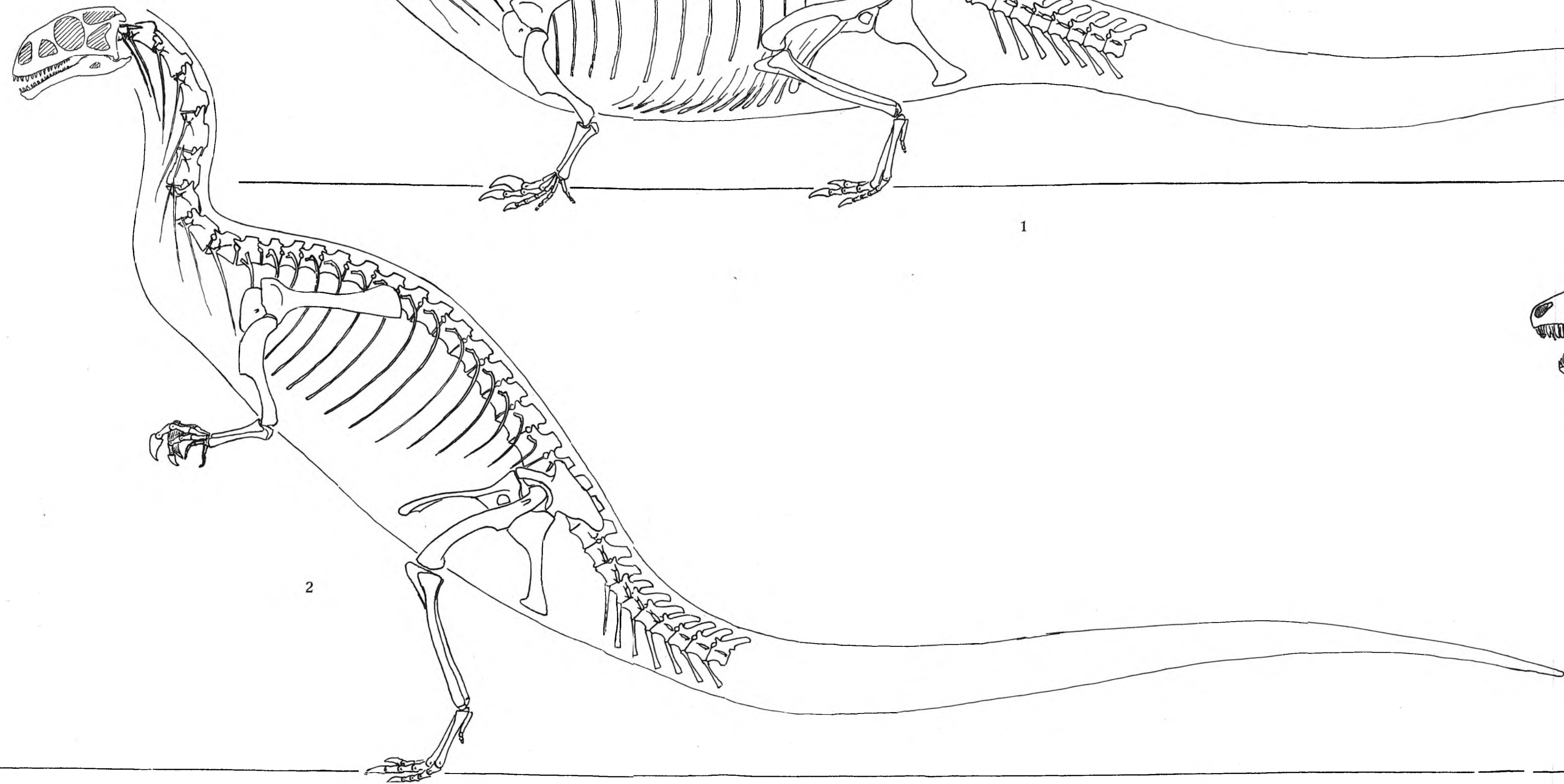


Erklärung der Tafel 52

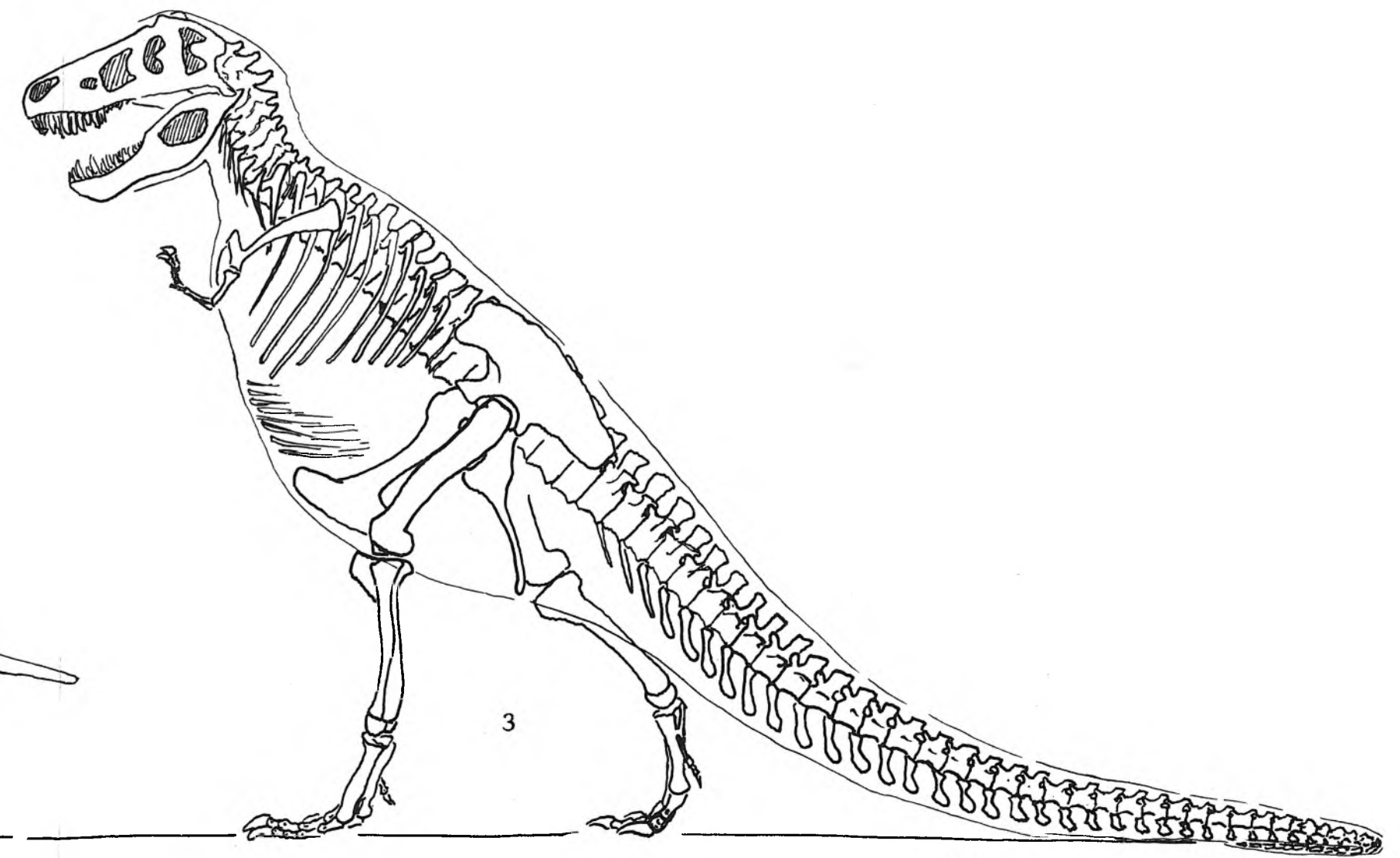
- Fig. 1. Rekonstruktion von *Palaeosaurus* (?) *diagnosticus*, 1 : 6 nat. Größe. In quadrupeder Stellung. Nur kleine Teile des Schädels bekannt. S. 73.
- Fig. 2. Derselbe in bipeder Stellung.
- Fig. 3. Rekonstruktion von *Tyrannosaurus rex*, 1 : 40 nat. Größe. Nach OSBORN. S. 242.



1



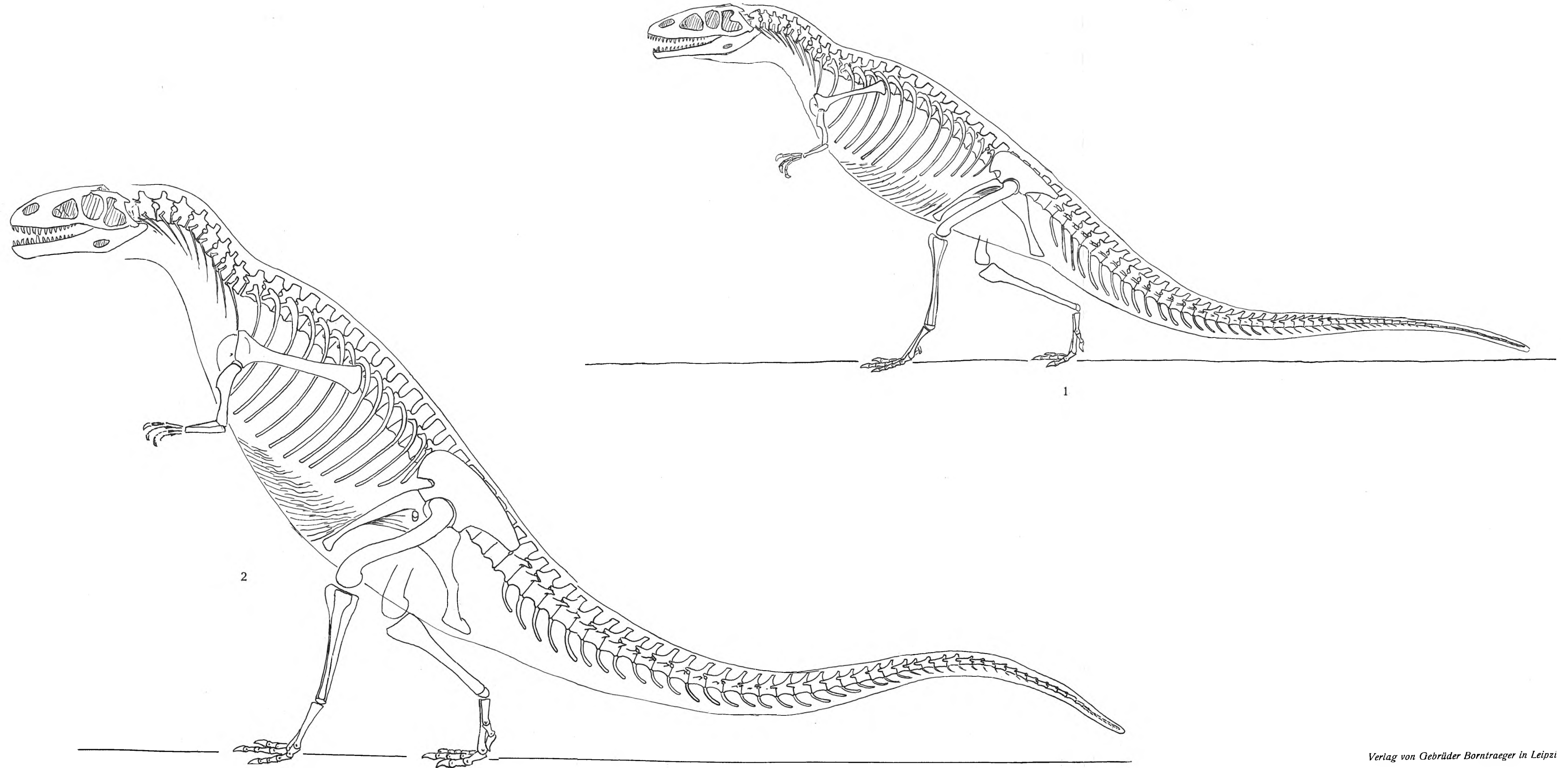
2



3

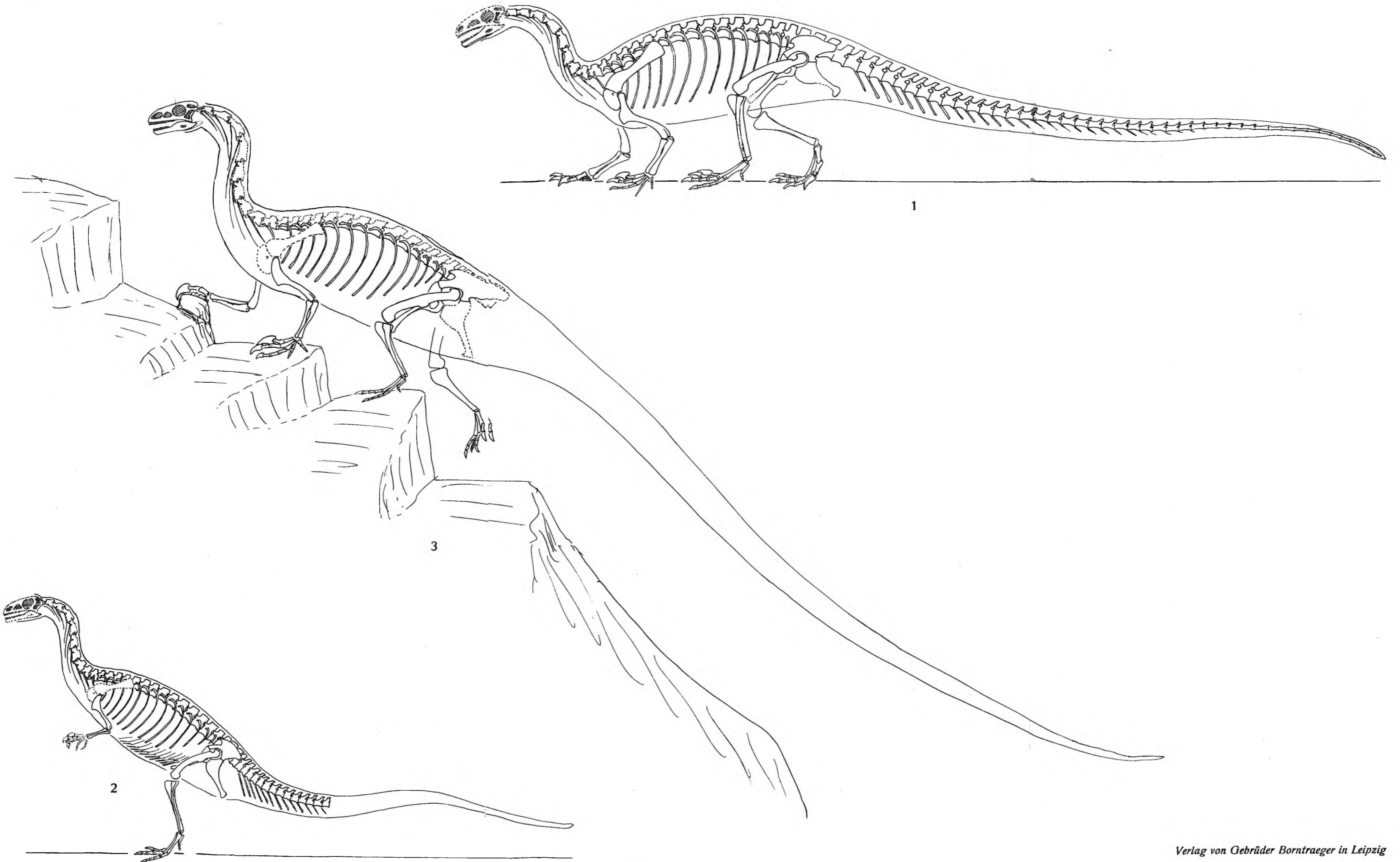
Erklärung der Tafel 53

- Fig. 1. Rekonstruktion von *Megalosaurus cuvieri*, 1 : 15 nat. Größe. S. 222.
Fig. 2. Rekonstruktion von *Megalosaurus bucklandi*, 1 : 15 nat. Größe. S. 220.



Erklärung der Tafel 54

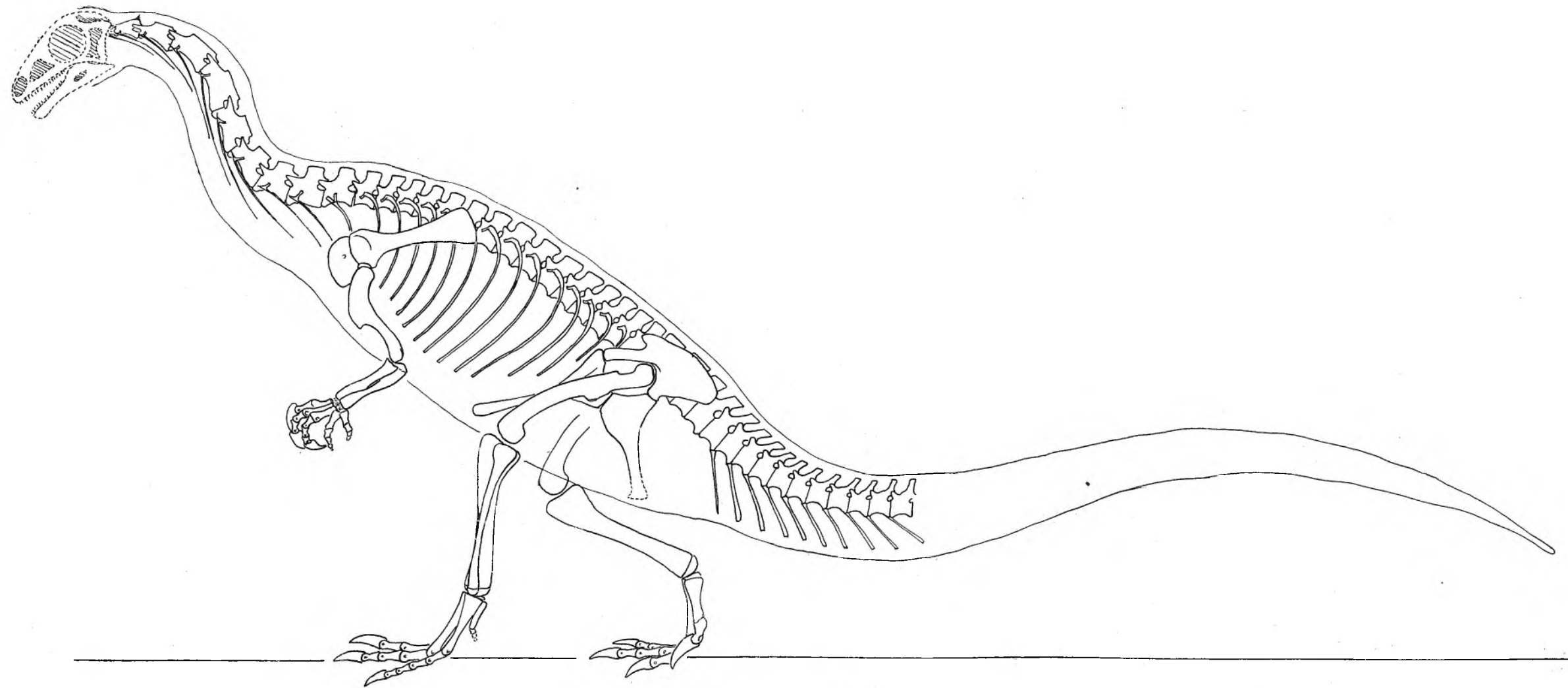
- Fig. 1. Rekonstruktion von *Thecodontosaurus antiquus*, 1 : 8 nat. Größe. S. 116.
Fig. 2. Rekonstruktion von *Gyposaurus capensis* (Original zu VAN HOEPENS „*Aristosaurus erectus*“), 1 : 8 nat. Größe.
Schädel nicht bekannt. S. 123.
Fig. 3. Rekonstruktion von *Yaleosaurus colurus*, 1 : 8 nat. Größe. S. 119.



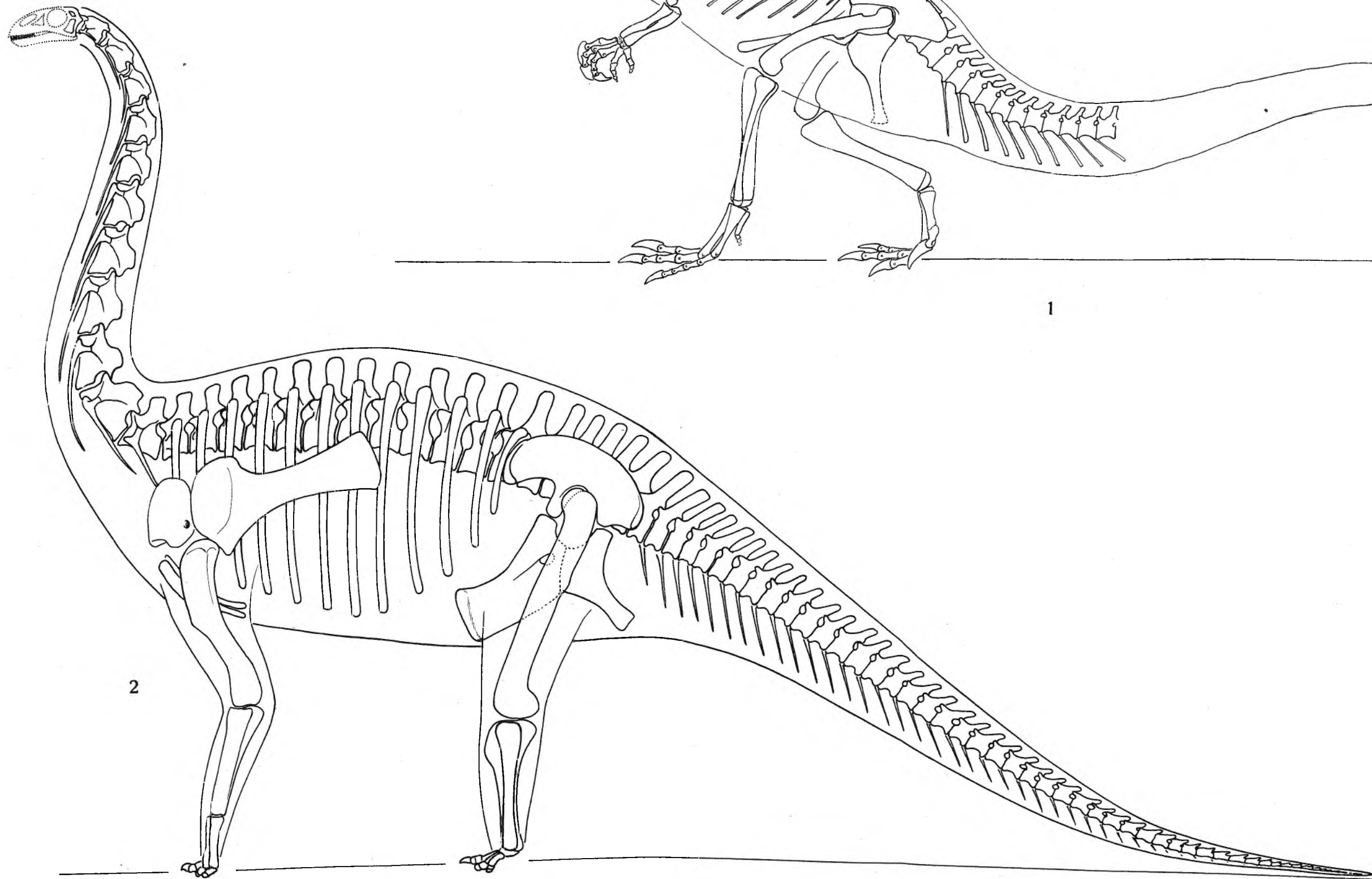
Erklärung der Tafel 55

Fig. 1. Rekonstruktion von *Thecodontosaurus browni*, 1:10 nat. Größe. S. 118.

Fig. 2. Rekonstruktion von *Cetiosaurus oxoniensis*, 1:30 nat. Größe. Vom Schädel nur Zähne und Hinterhaupt bekannt; Wirbelformel unbekannt, aber recht möglicherweise wie hier dargestellt. S. 252.



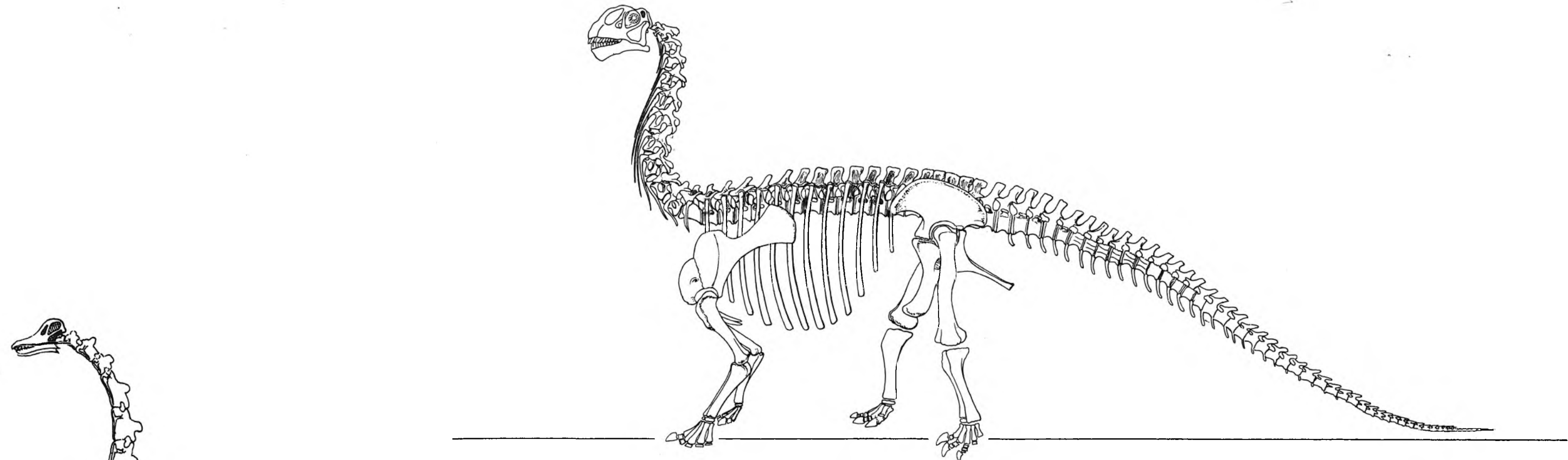
1



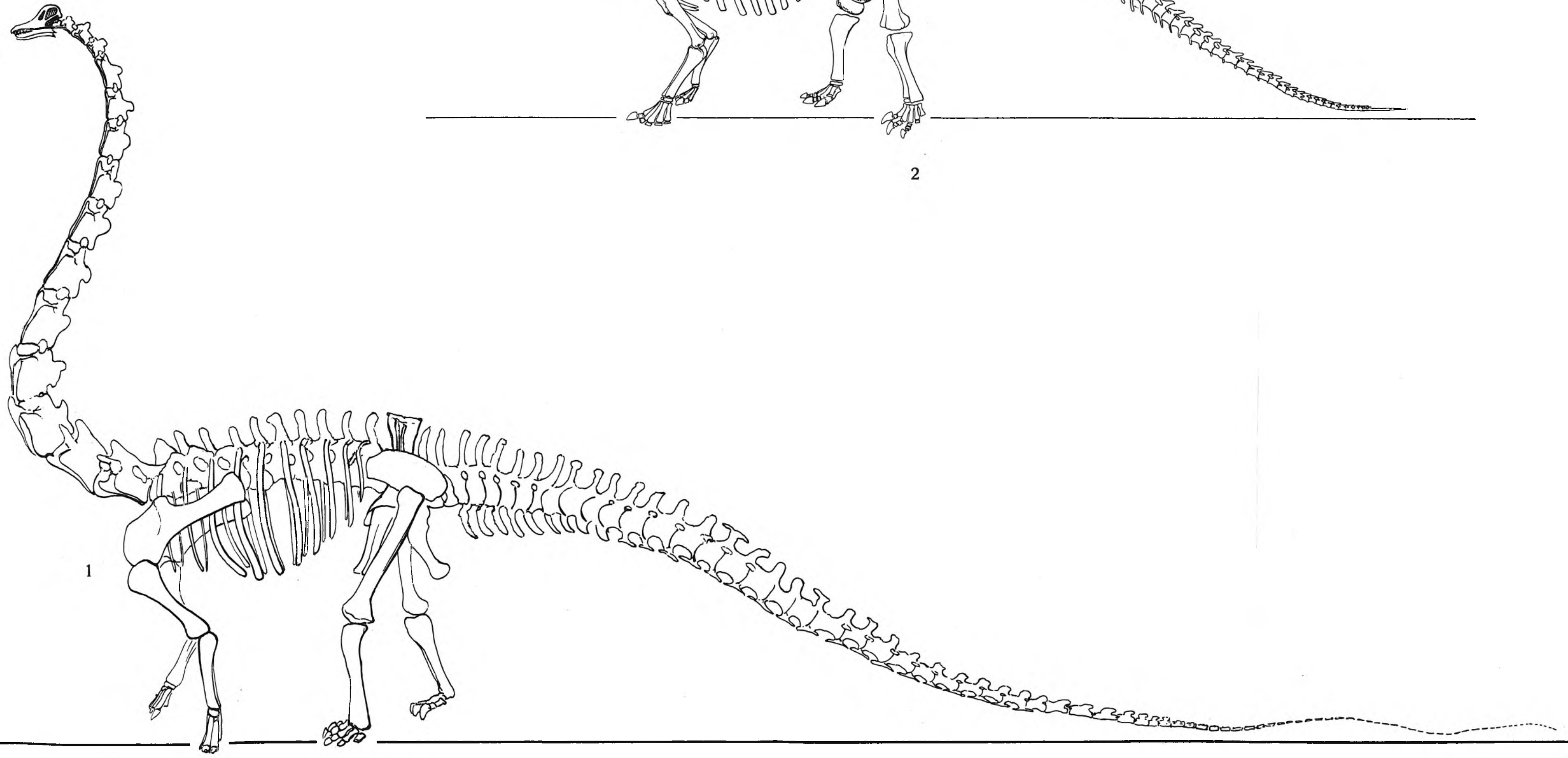
2

Erklärung der Tafel 56

- Fig. 1. Rekonstruktion von *Diplodocus* sp., etwa 1:40 nat. Größe. Mit Hilfe eines von Mr. C. W. GILMORE in Washington erhaltenen Photogrammes (September 1931) eines neu montierten Skelettes ausgeführt, aber Stellung des Halses verändert. S. 278.
- Fig. 2. Rekonstruktion von *Camarasaurus lentus*, 1:20 nat. Größe. Nach GILMORE, aber Stellung des Halses verändert. S. 286.



2



1